

# GLQ3205

# Géophysique appliquée 2

## Introduction

---

Ahmed Mhenni  
[ahmed.mhenni@polymtl.ca](mailto:ahmed.mhenni@polymtl.ca)

Été 2024

### Plan du cours

1. Revue géophysique appliquée 1
2. Propriétés géophysiques
3. Méthodologie géophysique

# 1. Géophysique et géologie

# Que veut-on savoir?

---

- Exploration: détecter un gisement/réservoir
- Minier: déterminer la teneur
- Contamination: déterminer les volumes de sol contaminé
- Hydrogéologie: Estimer la vulnérabilité d'un aquifère
- Géotechnique: Mesurer les modules élastiques des sols et des roches
- ...





# Que veut-on savoir?

---

- Exploration: détecter un gisement/réservoir
- Minier: déterminer la teneur
- Contamination: déterminer les volumes de sol contaminé
- Hydrogéologie: Estimer la vulnérabilité d'un aquifère
- Géotechnique: Mesurer les modules élastiques des sols et des roches
- ...



# Que veut-on savoir?

---

- Exploration: détecter un gisement/réservoir
- Minier: déterminer la teneur
- Contamination: déterminer les volumes de sol contaminé
- Hydrogéologie: Estimer la vulnérabilité d'un aquifère
- Géotechnique: Mesurer les modules élastiques des sols et des roches
- ...





# Que veut-on savoir?

---

- Exploration: détecter un gisement/réservoir
- Minier: déterminer la teneur
- Contamination: déterminer les volumes de sol contaminé
- Hydrogéologie: Estimer la vulnérabilité d'un aquifère
- Géotechnique: Mesurer les modules élastiques des sols et des roches
- ...





# Que veut-on savoir?

---

- Exploration: détecter un gisement/réservoir
- Minier: déterminer la teneur
- Contamination: déterminer les volumes de sol contaminé
- Hydrogéologie: Estimer la vulnérabilité d'un aquifère
- Géotechnique: Mesurer les modules élastiques des sols et des roches
- ...



# Mesures directes

---

**Propriété géologique:** Une propriété physique ou chimique qui a une interprétation directe pour une problématique géologique donnée. On l'appelle souvent aussi mesure directe.

*Ex: La teneur pour l'exploitation d'une mine*

La plupart des problématiques en génie géologique requière l'estimation d'au moins une propriété géologique de la sous-surface. Leur mesure directe comporte des avantages et inconvénients:

## Avantages

- Directement exploitable
- Souvent précises
- Méthodes éprouvées dont on connaît bien la réponse

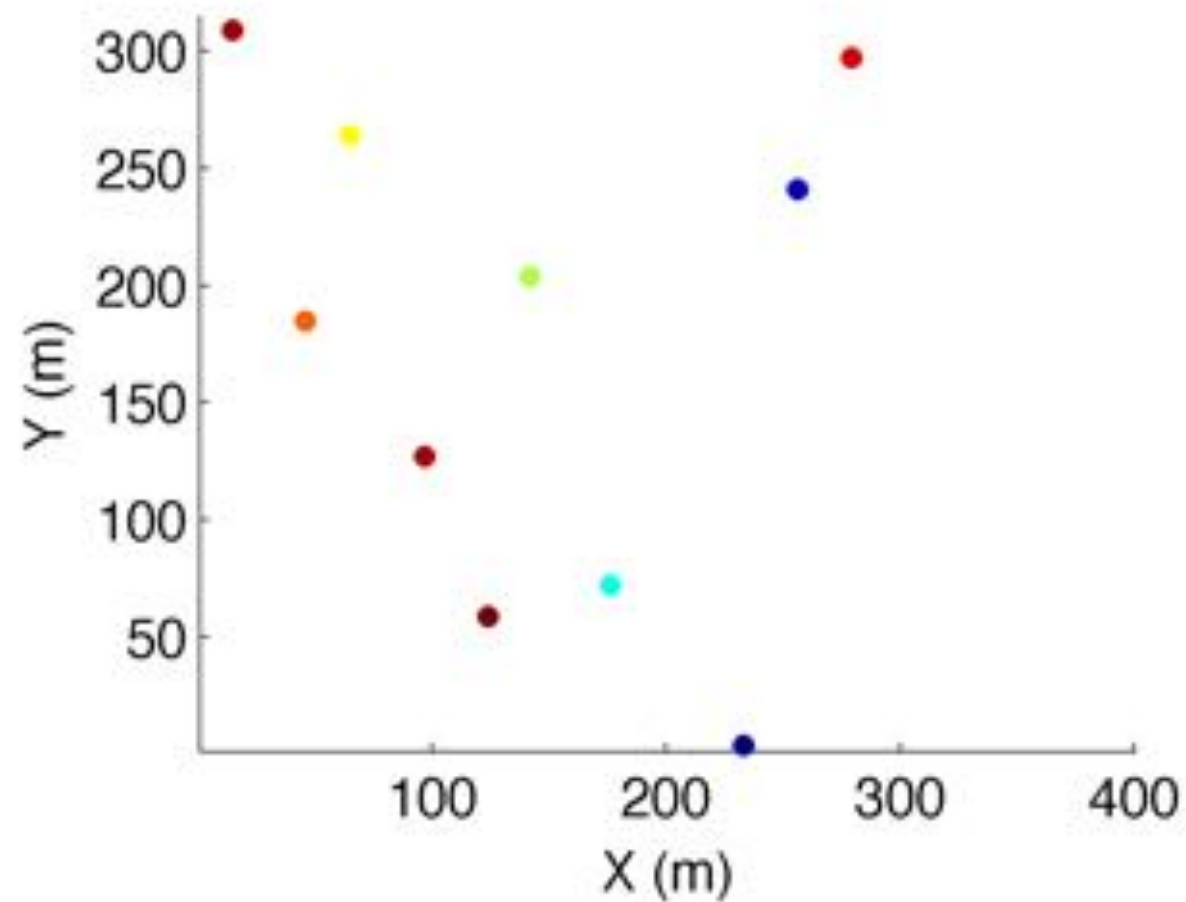
## Inconvénients

- Nécessite l'accès physique des matériaux
- Mesures ponctuelles, pas toujours représentatives du volume
- Mesures et analyses coûteuses

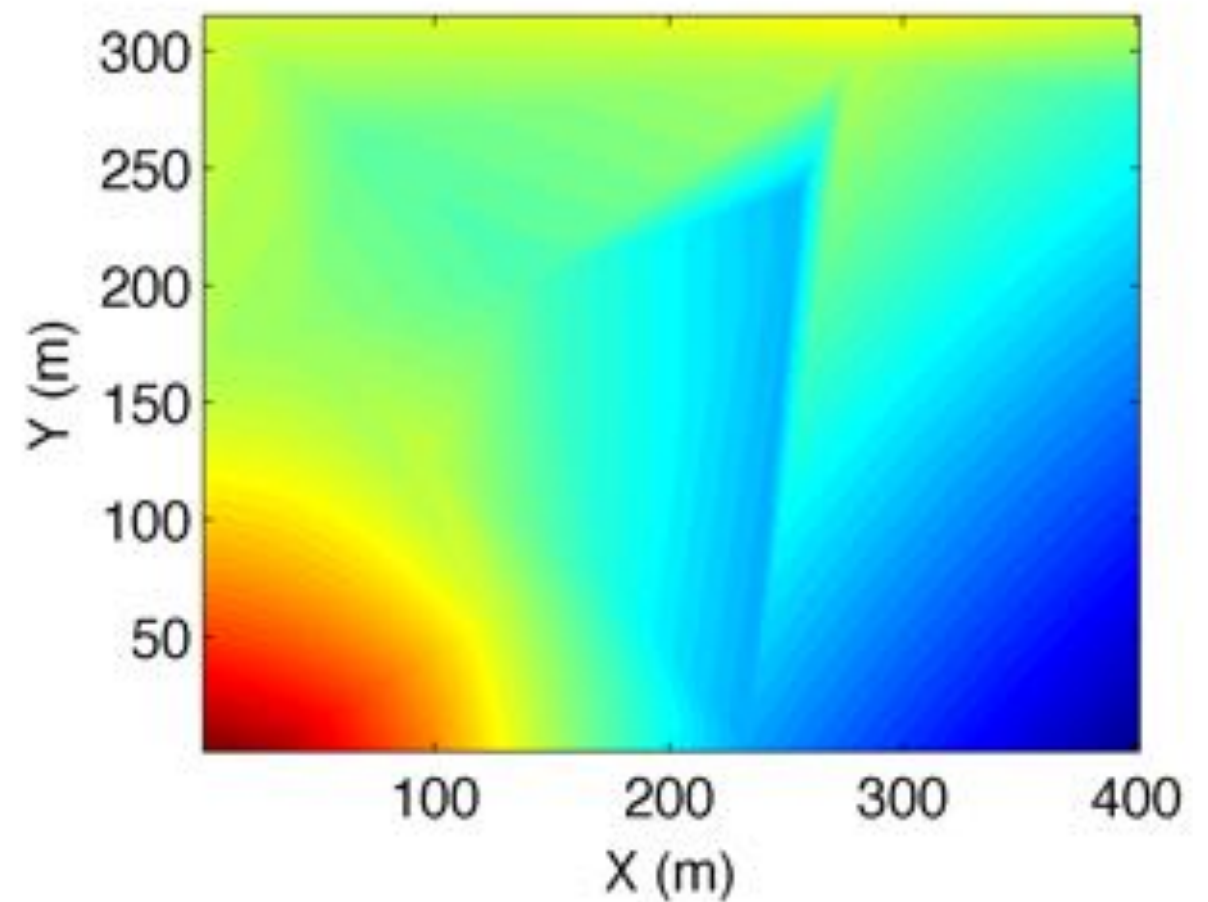


# L'échec des mesures ponctuelles

**10 points de mesure**  
**\$**

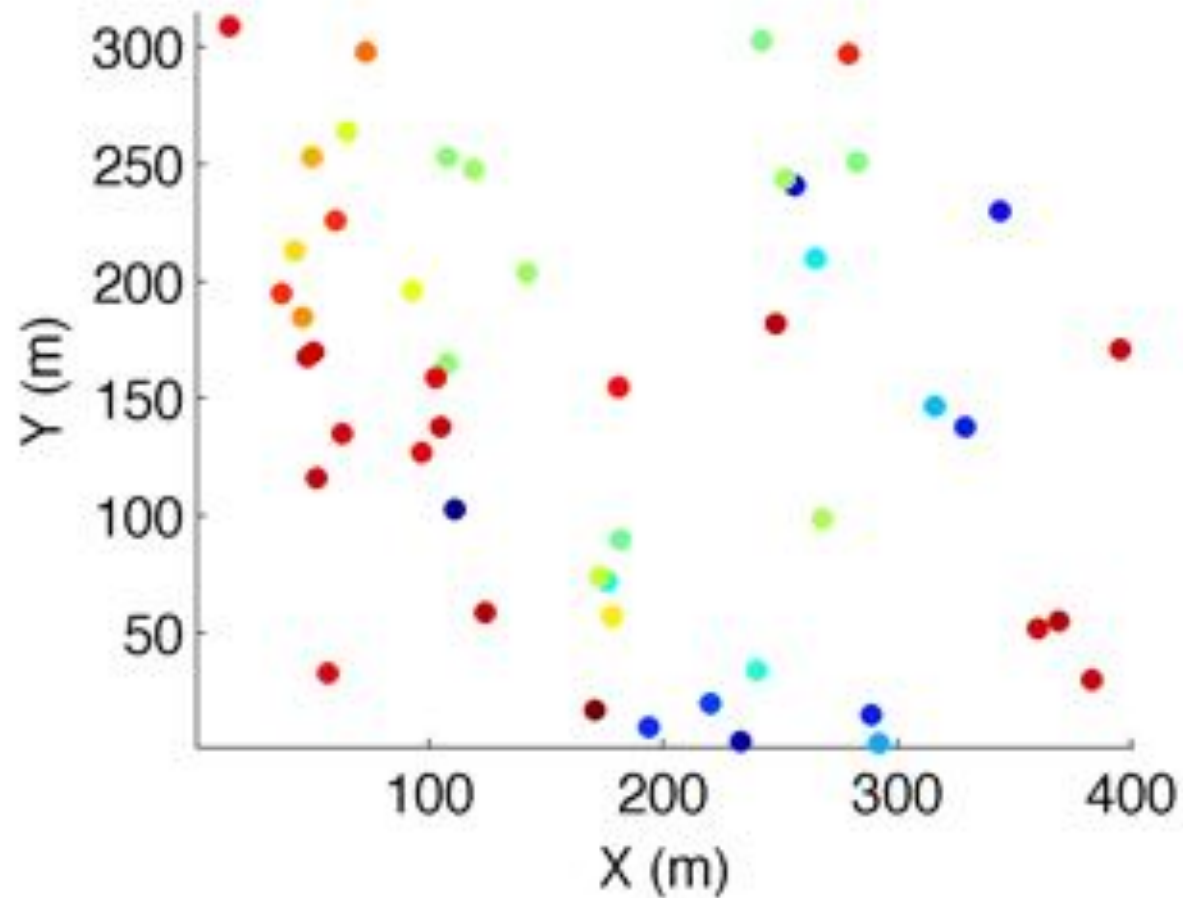


**Interpolation linéaire**

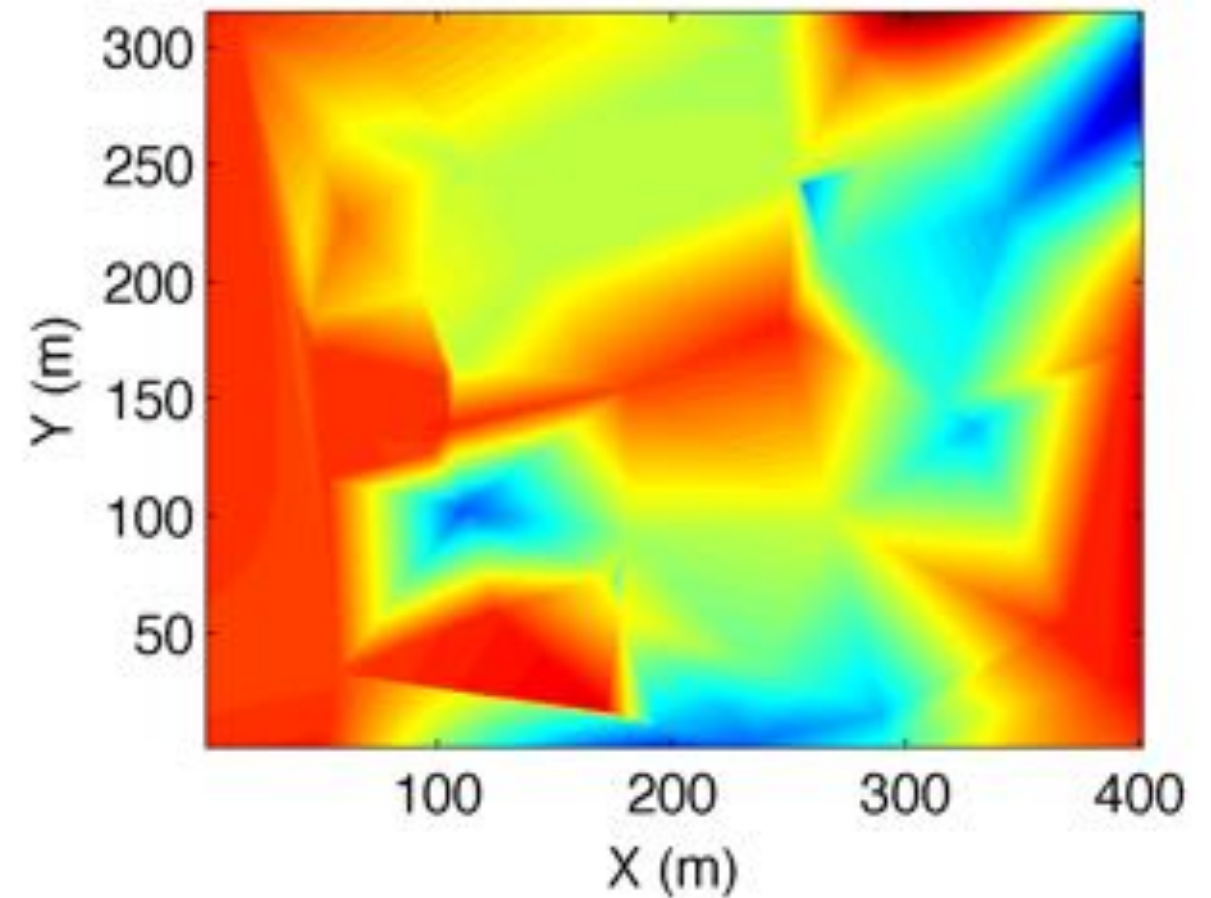


# L'échec des mesures ponctuelles

**50 points de mesure**  
**\$\$**



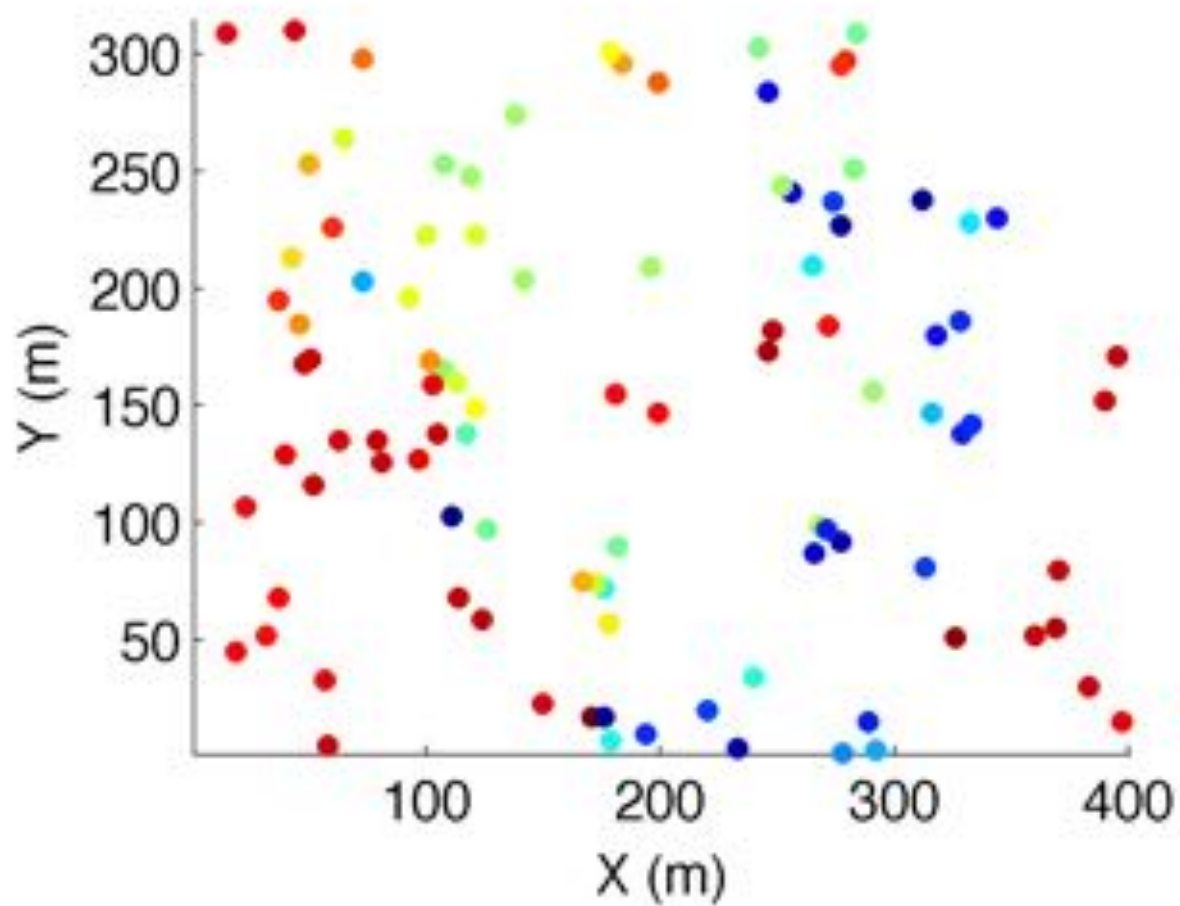
**Interpolation linéaire**



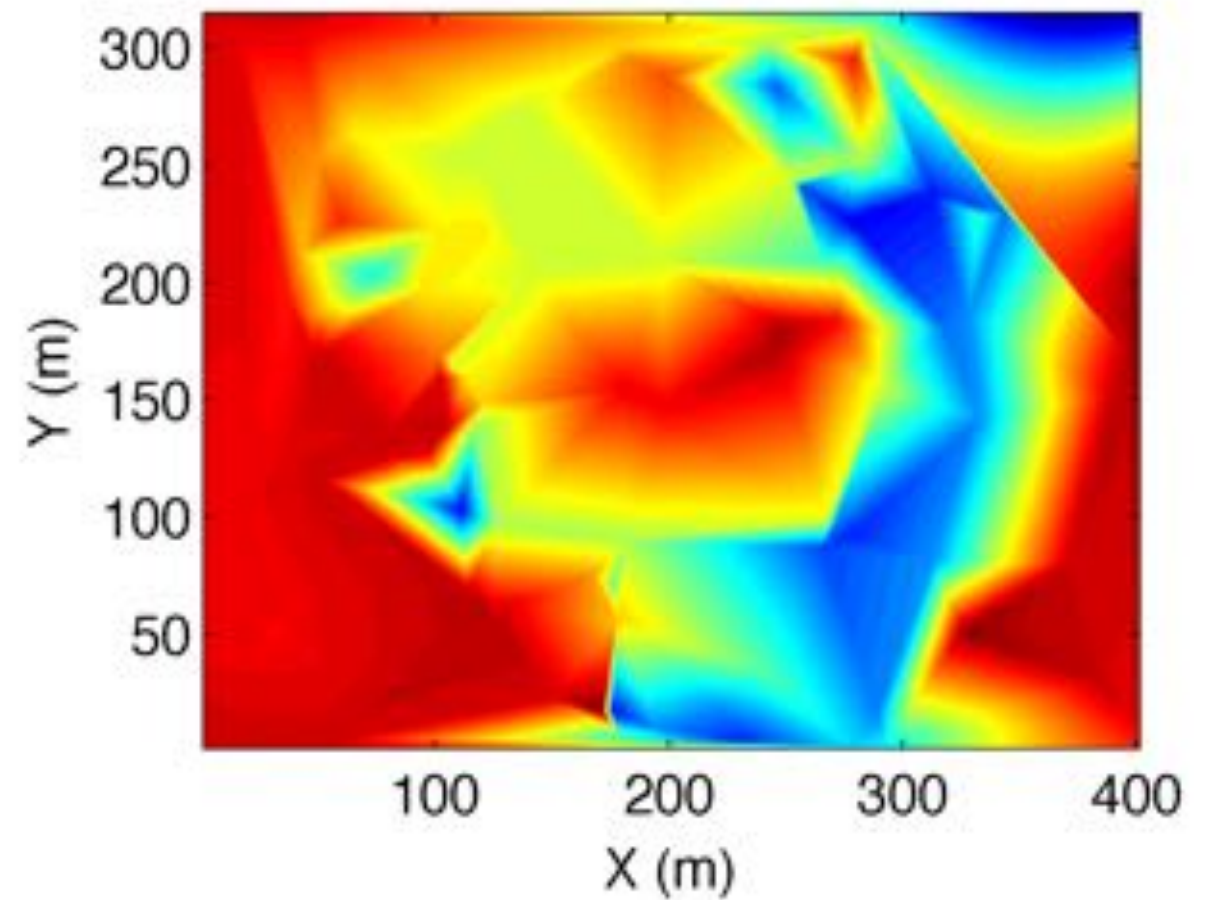


# L'échec des mesures ponctuelles

**100 points de mesure**  
**\$\$\$**

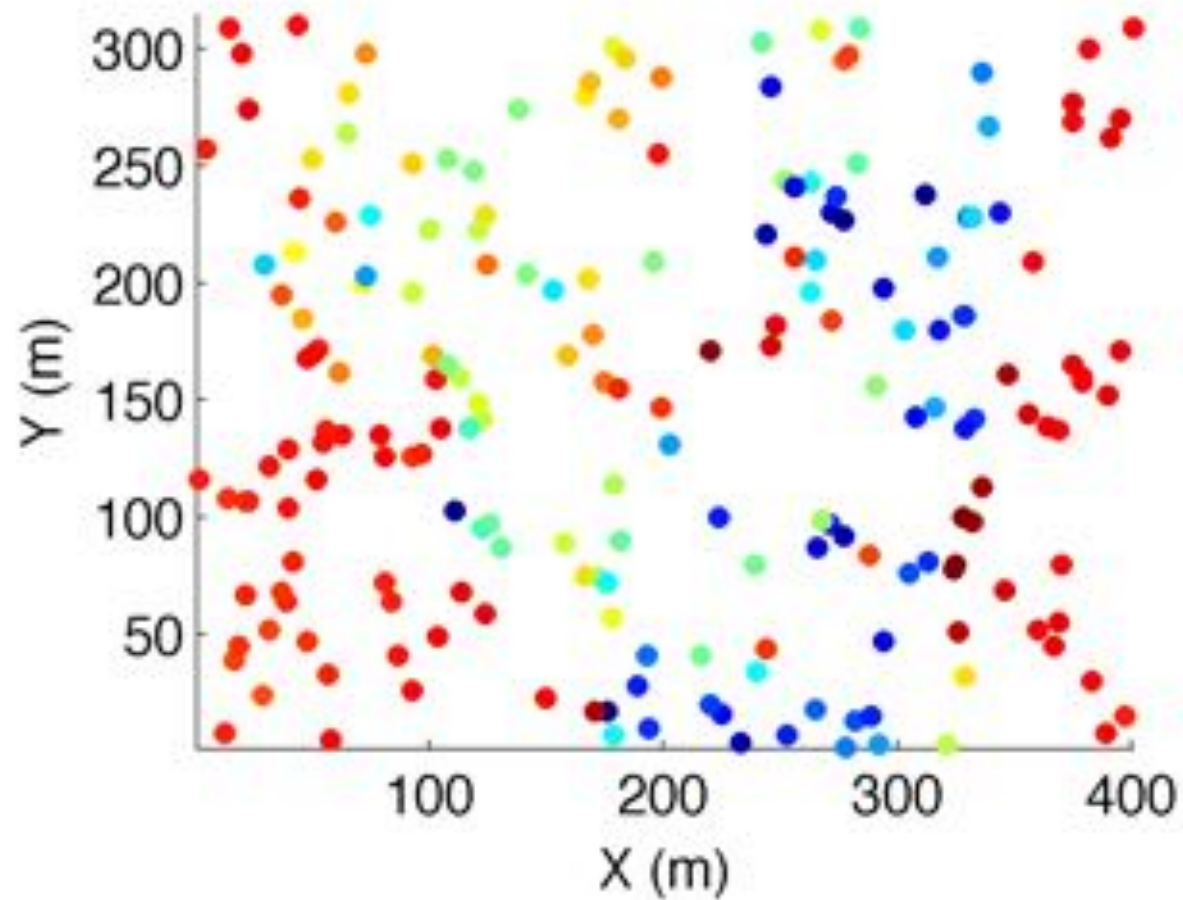


**Interpolation linéaire**

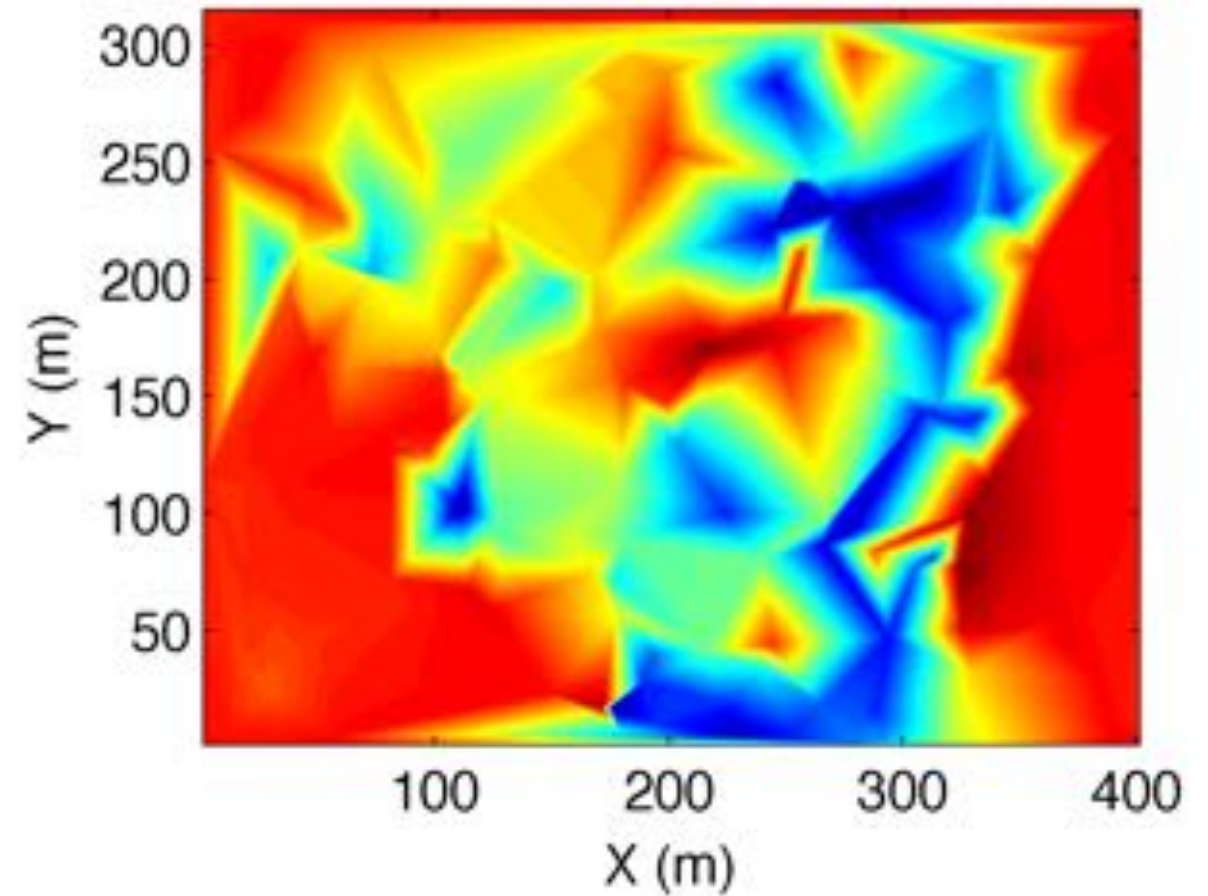


# L'échec des mesures ponctuelles

**200 points de mesure**  
**\$\$\$\$**



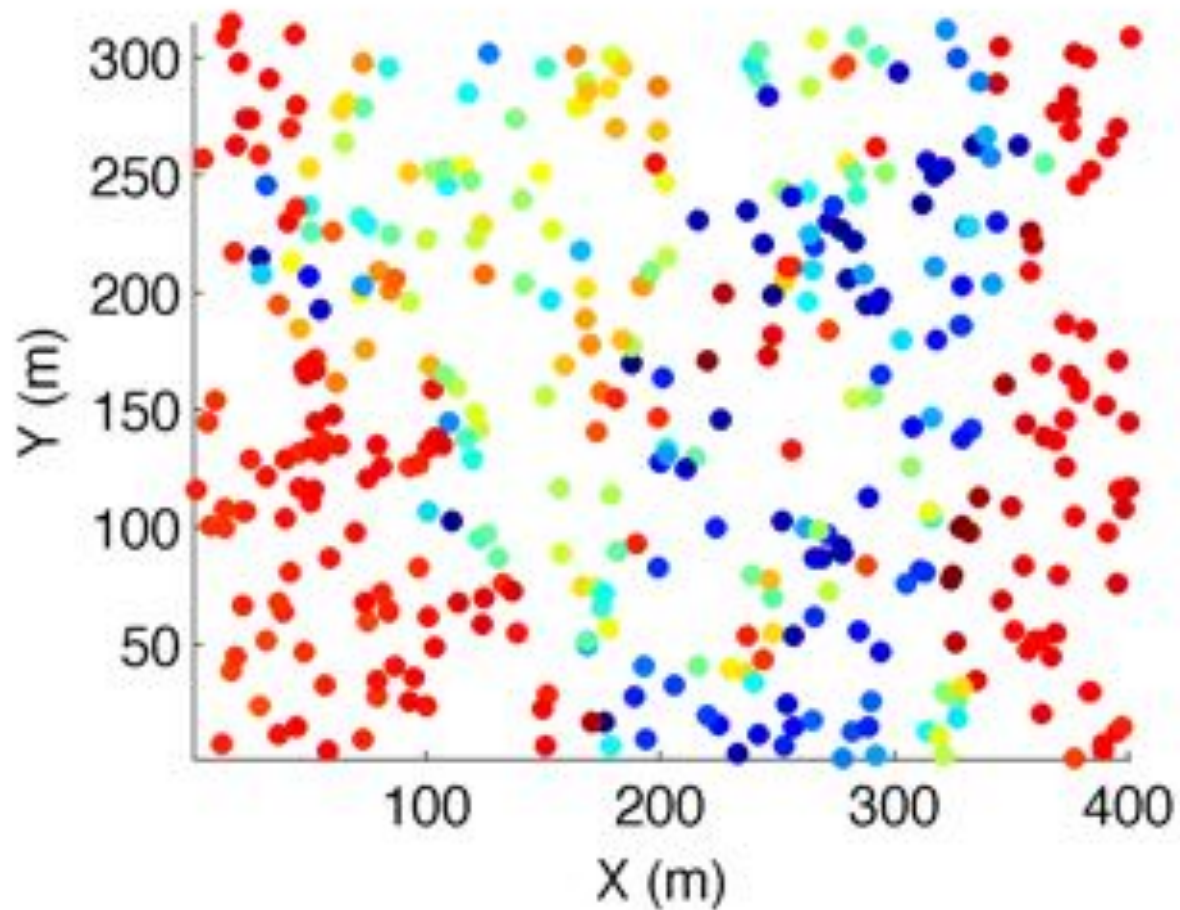
**Interpolation linéaire**



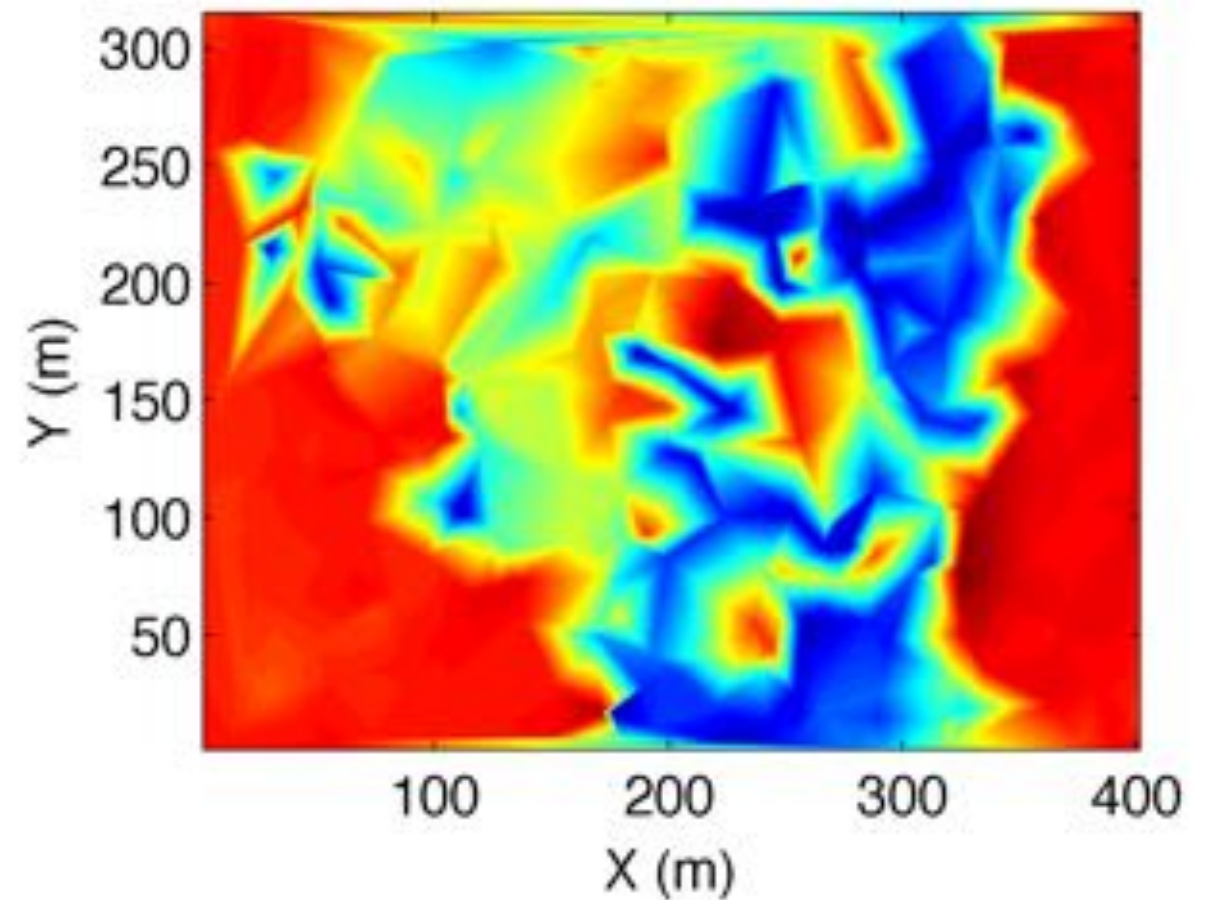


# L'échec des mesures ponctuelles

**400 points de mesure**  
**\$\$\$\$\$**

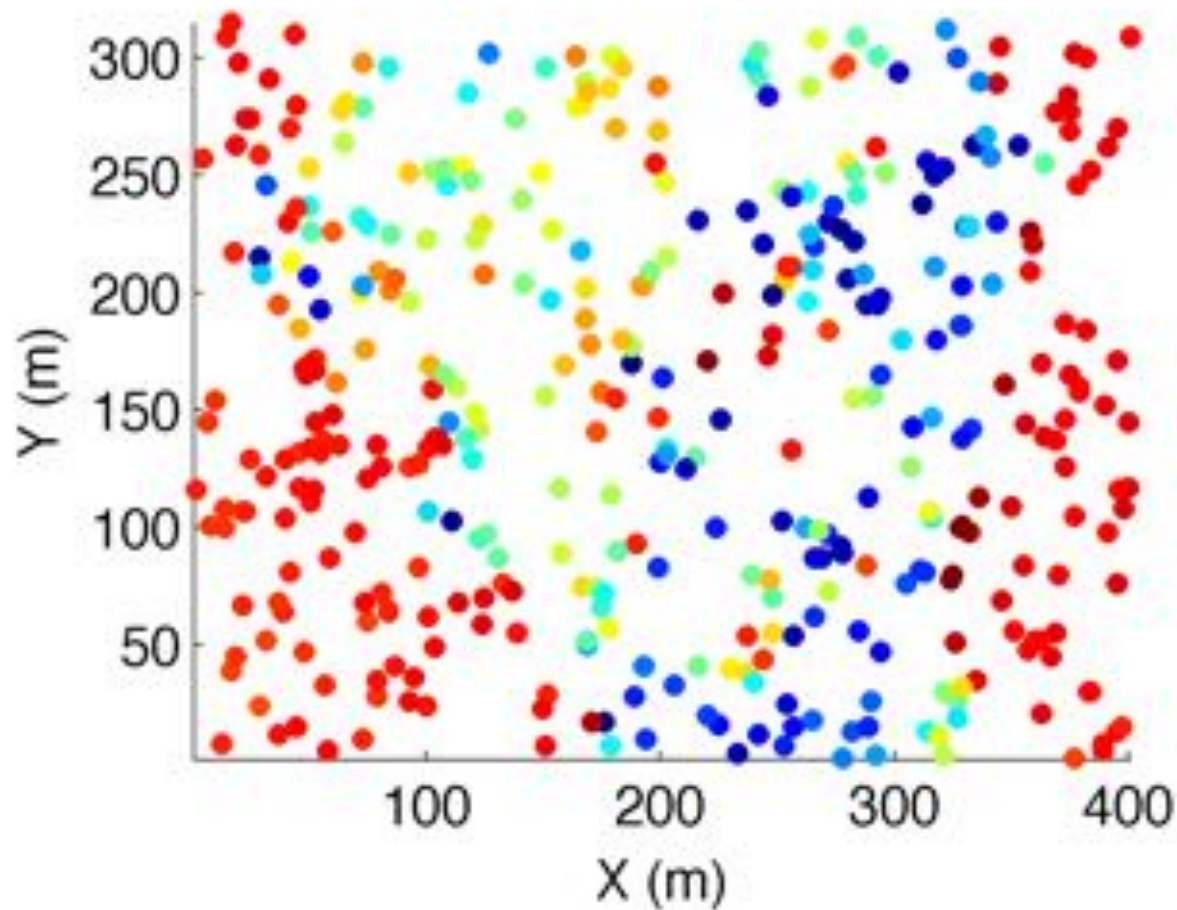


**Interpolation linéaire**

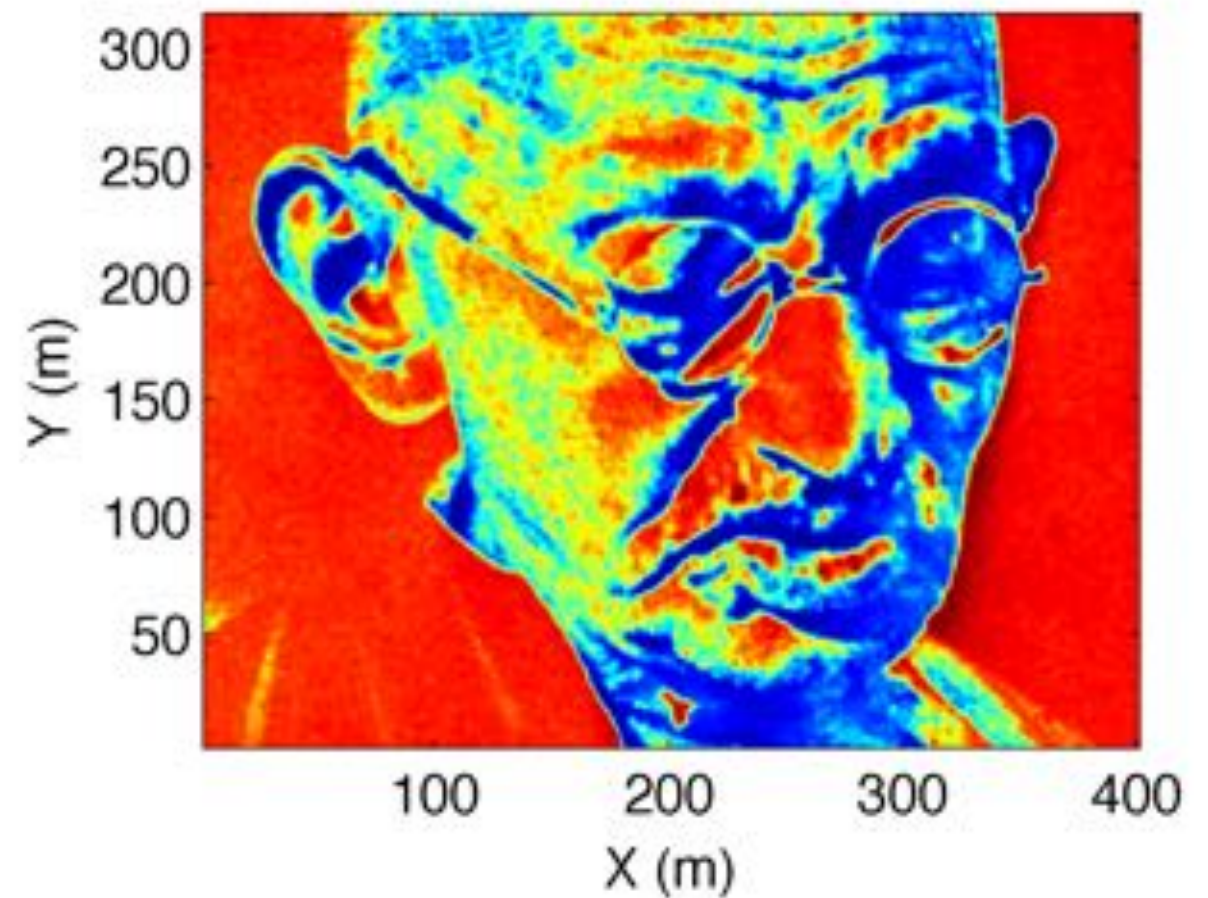


# L'échec des mesures ponctuelles

**400 points de mesure**  
**\$\$\$\$\$**



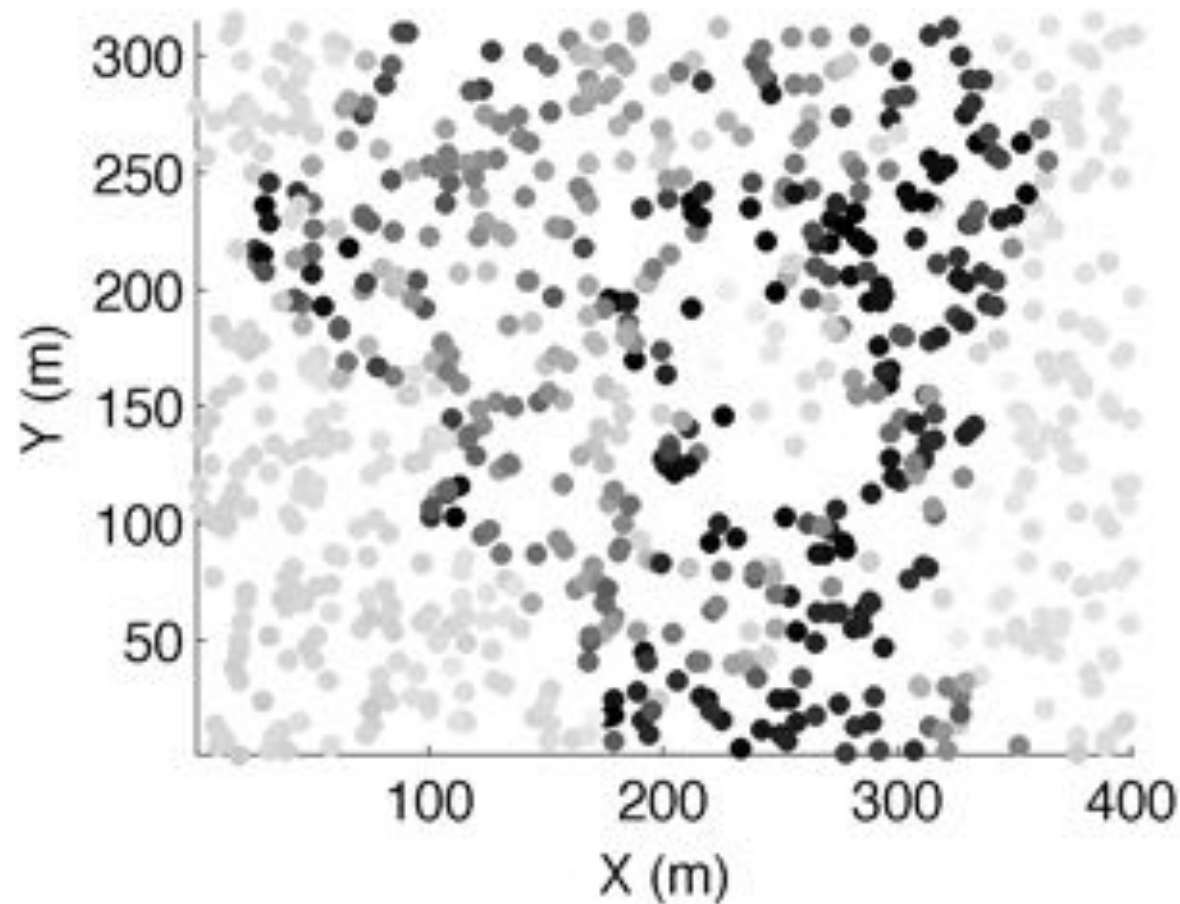
**Interpolation linéaire**



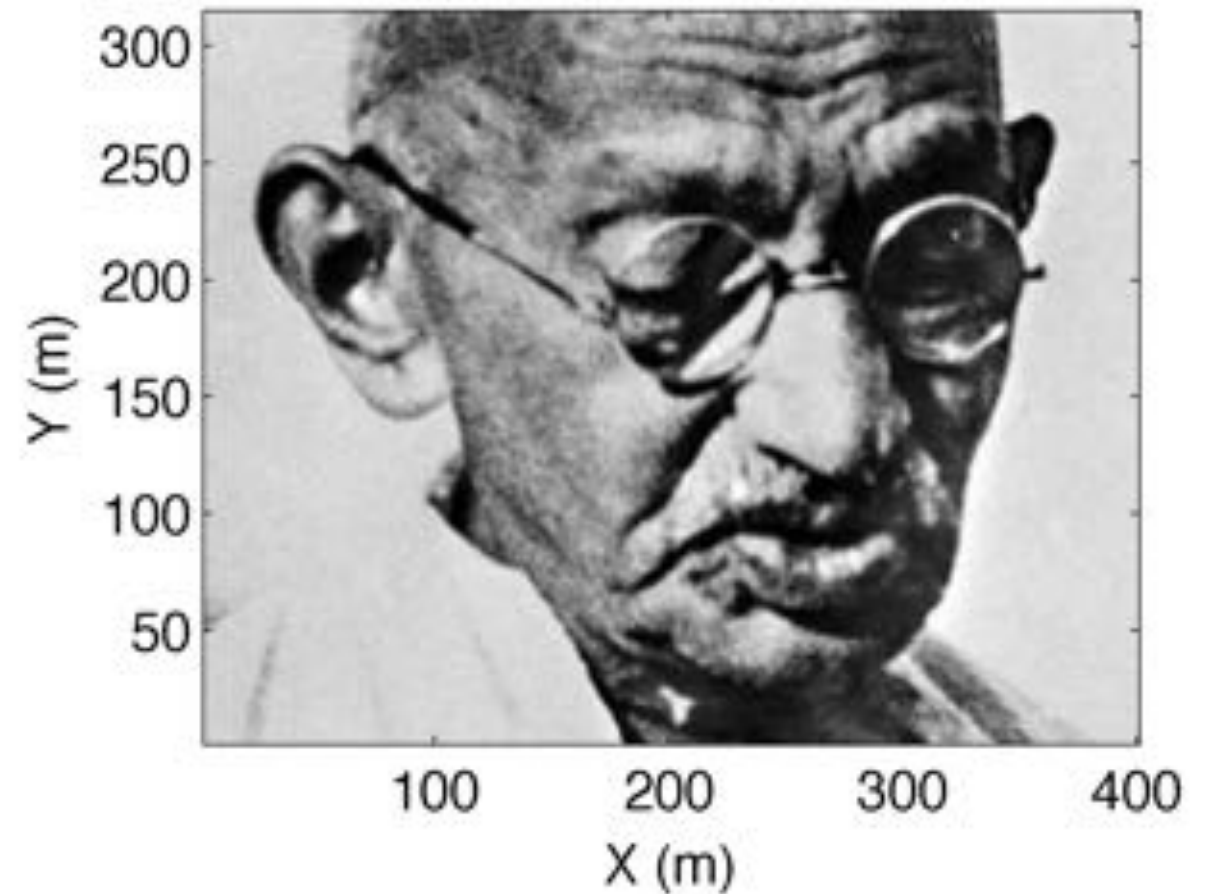


# L'échec des mesures ponctuelles

**400 points de mesure**  
**\$\$\$\$\$**

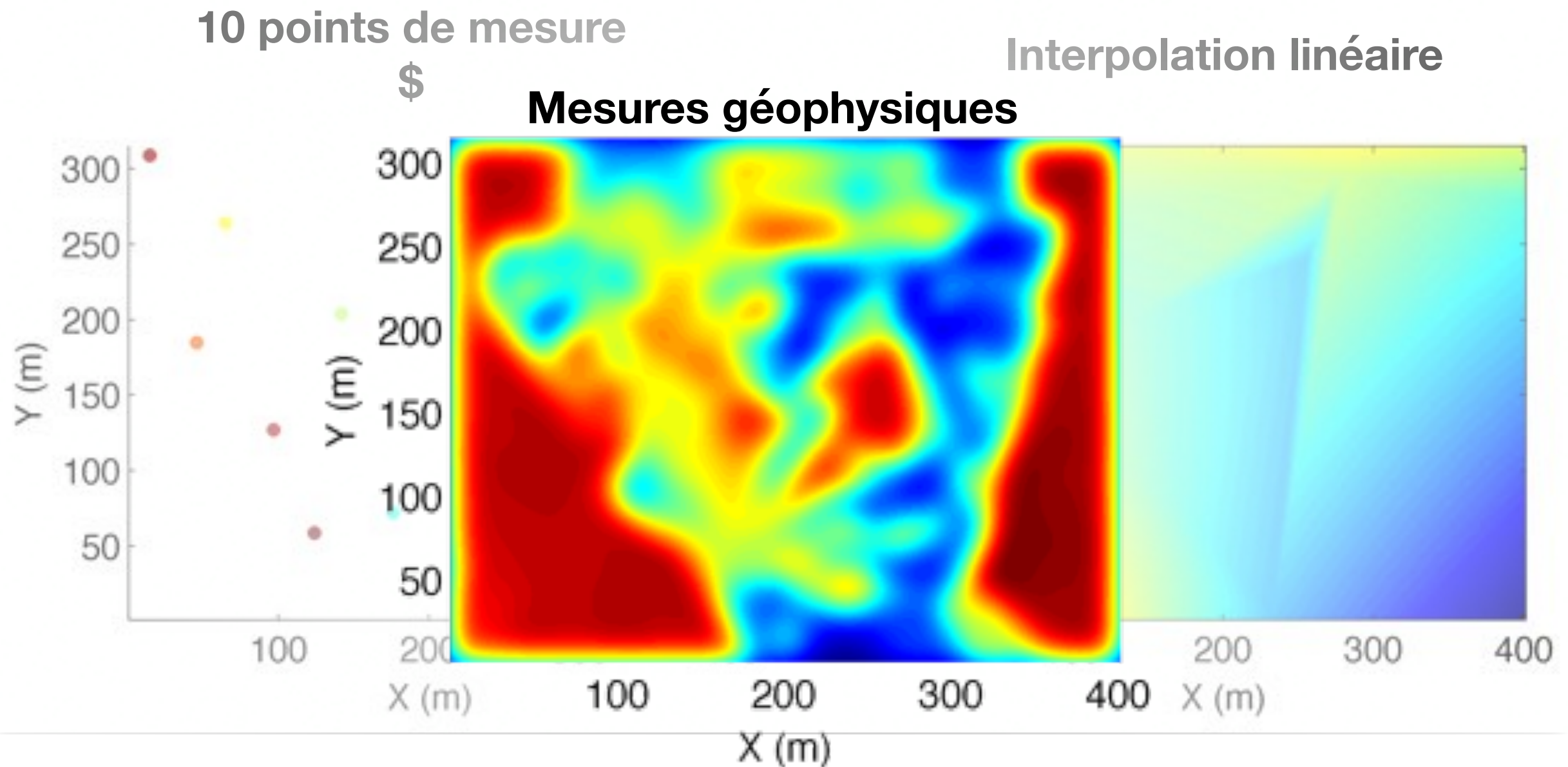


**Interpolation linéaire**



La caractérisation par échantillonnage directe requière un nombre de points trop élevé pour espérer caractériser des sites complexes!

# L'échec des mesures ponctuelles



La géophysique apporte un image floue de moindre précision, qui permet cependant de mieux discerner la structure globale.



# Mesures indirectes

---

**Propriété géophysique:** Une propriété physique mesurée ou estimée par une méthode géophysique. La plupart du temps, c'est une mesure que l'on dit indirecte, c'est-à-dire qu'elle n'est pas une propriété géologique en soi.

*Ex: La densité telle que mesurée en gravimétrie*

Les liens entre les propriétés géophysiques et les propriétés géologiques se nomment les **relations pétrophysiques**.

Les mesures géophysiques comportent des avantages et inconvénients:

## Avantages

- Continuité spatiale des mesures
- Ratio volume investigué/coût élevé
- Mesures non-destructives

## Inconvénients

- Résolution limitée
- Intégration quantitative difficile
- Mesures parfois ambiguës
- Demande un personnel spécialisé
- Échec fréquent des levés

# 1. Révision de Géophysique appliquée 1



# Révision

---

***Voici quelques questions pour vous remémorer le cours de géophysique appliquée 1***

1. Quelles sont les deux méthodes vues dans le cours ?
2. Quelles étaient les lois physiques sur lesquelles se basaient ces méthodes ?
3. Quelles étaient les propriétés physiques mesurées ?
4. Décrivez sommairement l'acquisition des données dans les deux cas.
5. Décrivez les corrections nécessaires à apporter aux données.
6. Comment est effectuée l'interprétation des données ?

# Les lois physiques

---

## Gravimétrie

- ▶ Deux masses sont attirées par une force d'attraction

$$\mathbf{F} = -\frac{Gm_1m_2}{r^2}\hat{\mathbf{r}}$$

- ▶ Qui peut être mesurée par le champ gravitationnel

$$\mathbf{g} = \frac{\mathbf{F}}{m_2} = -\nabla U$$

## Magnétisme

- ▶ Deux pôles de même signe produisent une force répulsive

$$\mathbf{F} = \frac{p_1p_2}{\mu r^2}\hat{\mathbf{r}}$$

- ▶ Qui peut être mesurée par le champ magnétique

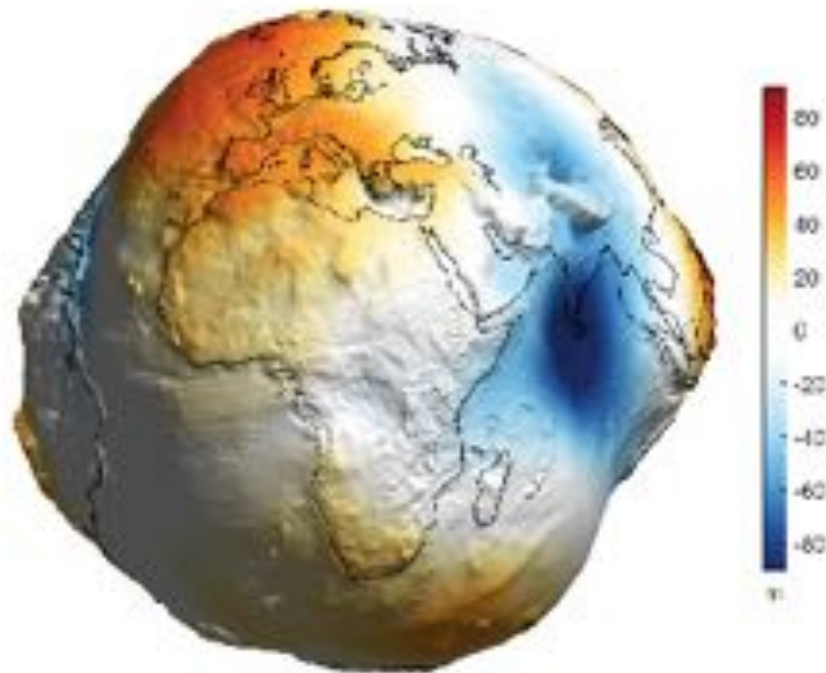
$$\mathbf{H} = \frac{\mathbf{F}}{p_1} = -\nabla A$$



# Les lois physiques

## Gravimétrie

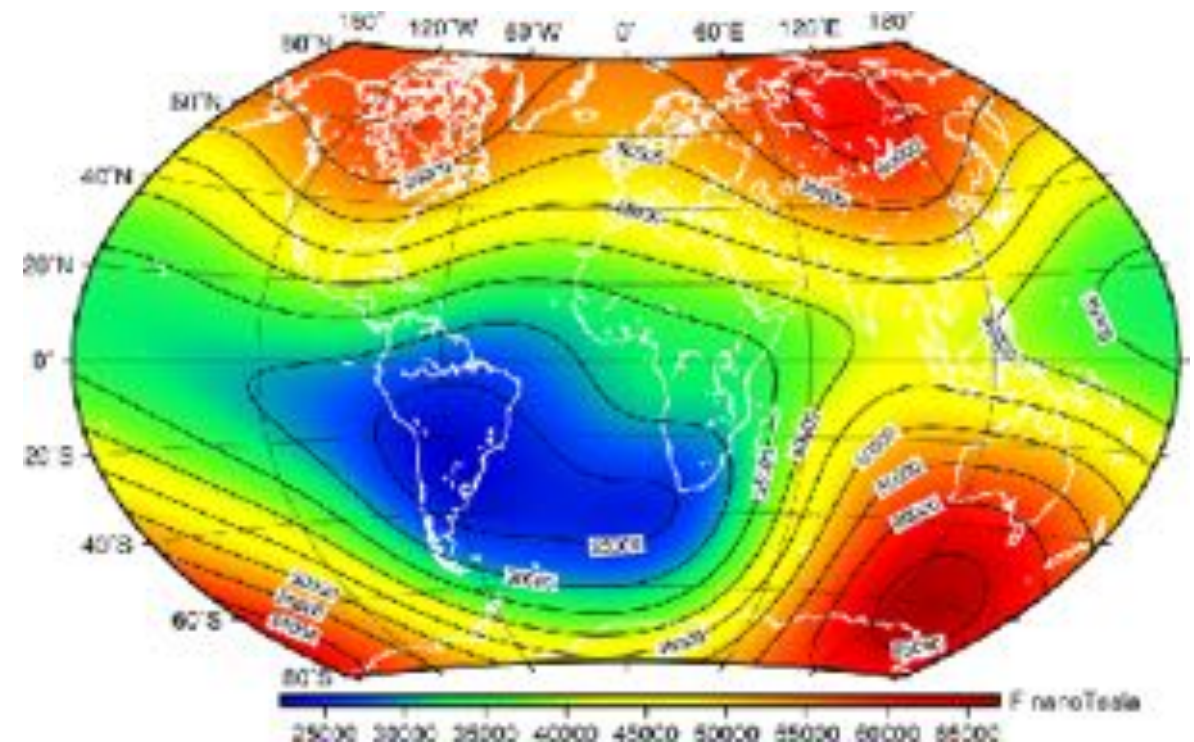
- ▶ La gravimétrie se base sur les mesures des variations du champ gravitationnel terrestre



Geoid height (EGM2008, mean=50)

## Magnétisme

- ▶ Les levés magnétiques se basent sur les mesures des variations du champ magnétique terrestre



# Propriétés physiques

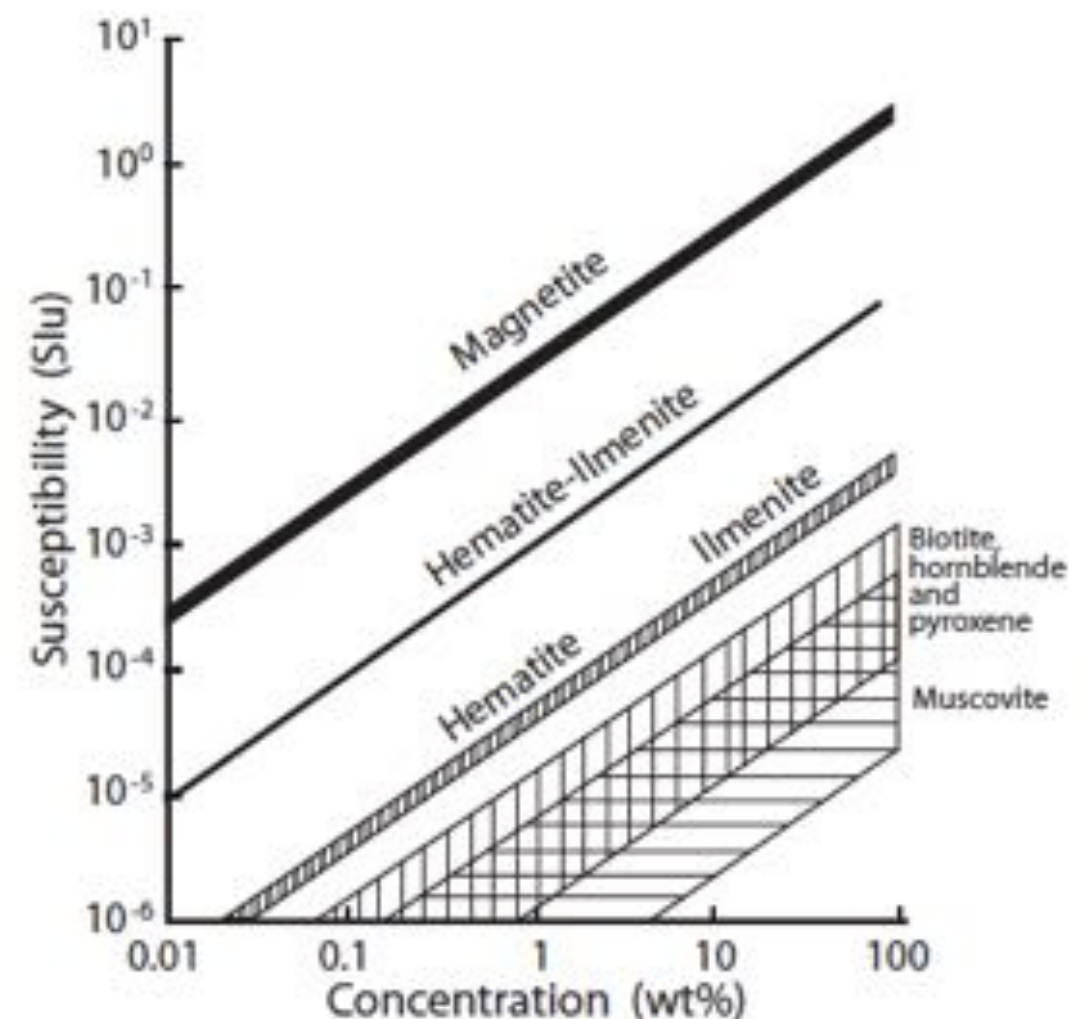
## Gravimétrie

- ▶ La densité des matériaux terrestres affectent le champ gravimétrique terrestre
- ▶ Dans la lithosphère, la densité varie entre 1.7 et 3.0 kg/m<sup>3</sup>

	Épaisseur	Densité
Croûte	30	2.2 à 2.9
Manteau supérieur	720	3.4 à 4.4
Manteau inférieur	2 171	4.4 à 5.6
Noyau externe	2 259	9.2 à 12.2
Noyau interne	1 221	12.8 à 13.1

## Magnétisme

- ▶ La susceptibilité magnétique  $k$  affecte le champ magnétique terrestre

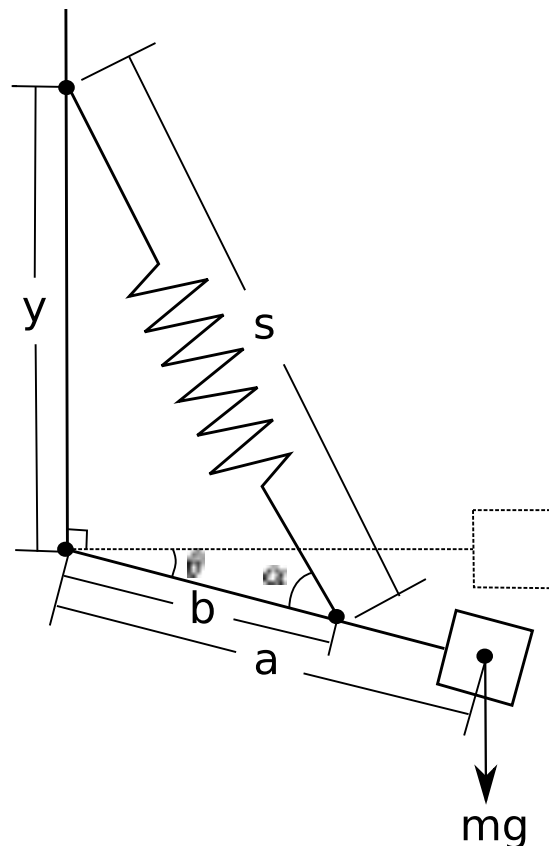




# Acquisition des données

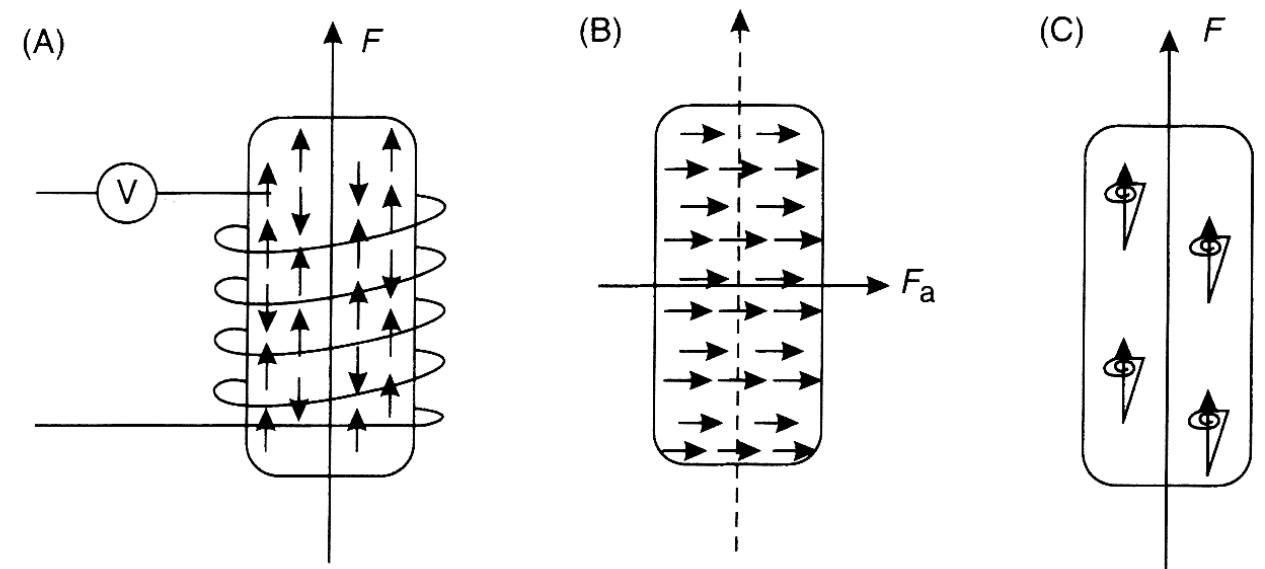
## Gravimétrie

- ▶ On mesure la composante  $z$  grâce à l'allongement d'un ressort
- ▶ Sensibilité de quelques microGals



## Magnétisme

- ▶ On mesure le champ magnétique total en se basant sur des phénomènes quantiques
- ▶ Sensibilité de quelques nT



# Correction des données

---

- ▶ Les corrections servent à isoler la réponse causée par les hétérogénéités du sous-sol
- ▶ L'anomalie de Bouguer est donnée par:

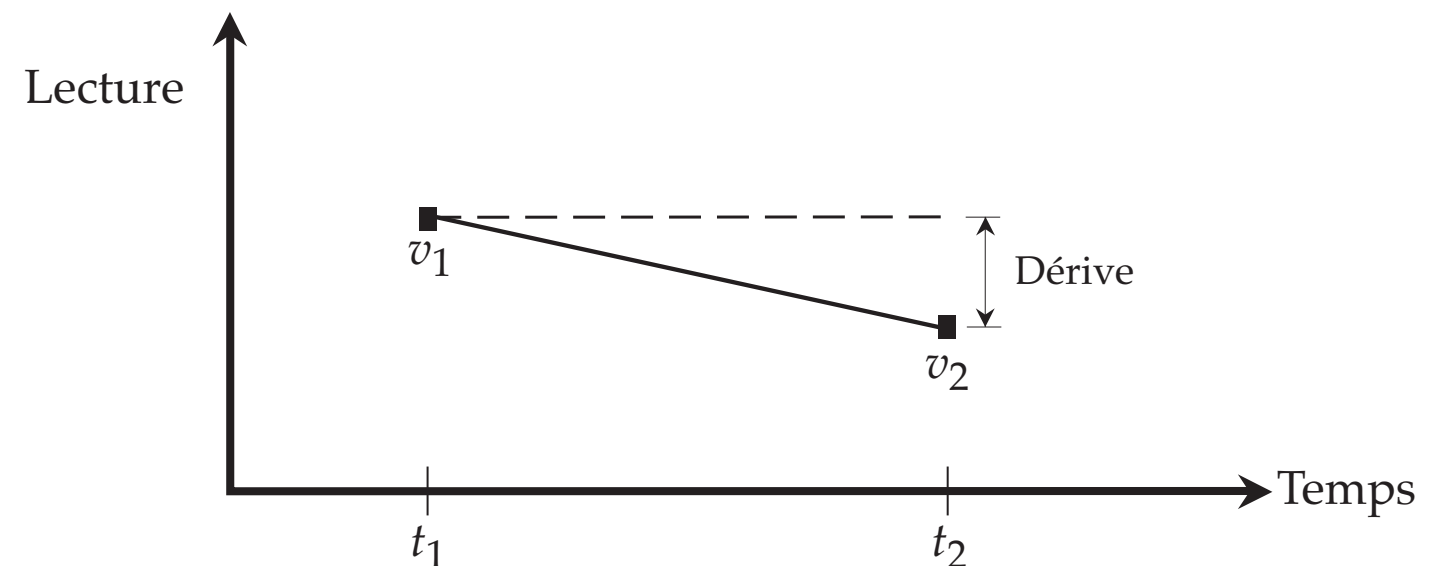
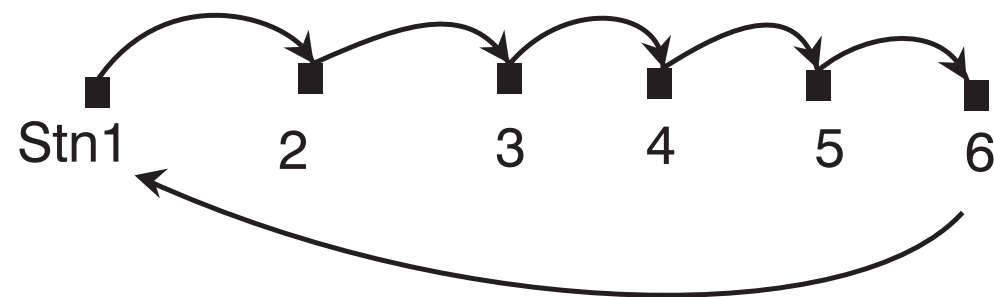
$$\Delta g_B = \Delta g_{\text{observée}} \pm \text{les 5 corrections}$$

Où les 5 corrections sont: les correction de dérive, de latitude, d'altitude, de plateau et de terrain.

- ▶ En magnétométrie, seule la correction de dérive est appliquée.

# Correction de dérive

- Correction réalisée en faisant les mesures selon un cheminement en boucle



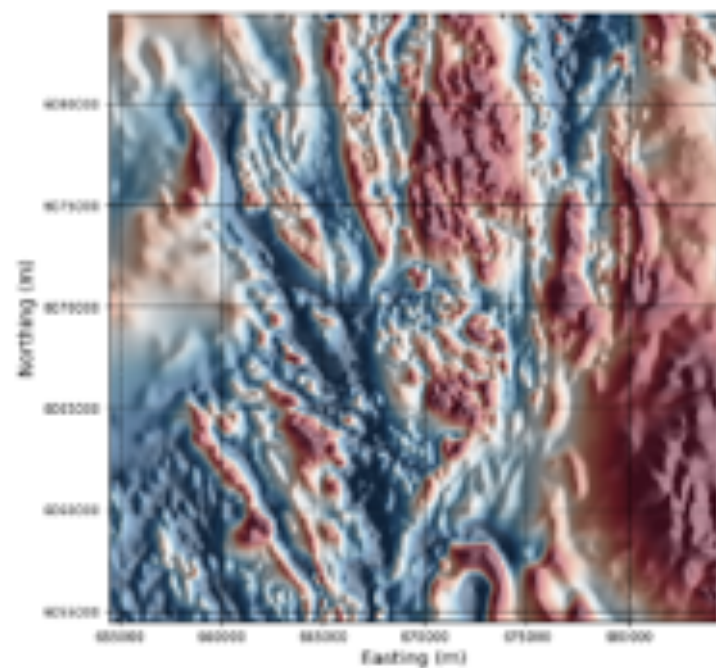
- Toute mesure  $v$  prise entre les temps  $t_1$  et  $t_2$  est corrigée selon la formule suivante:

$$v_{\text{cor}}(t) = v_{\text{lue}}(t) - \Delta'_d(t - t_1).$$

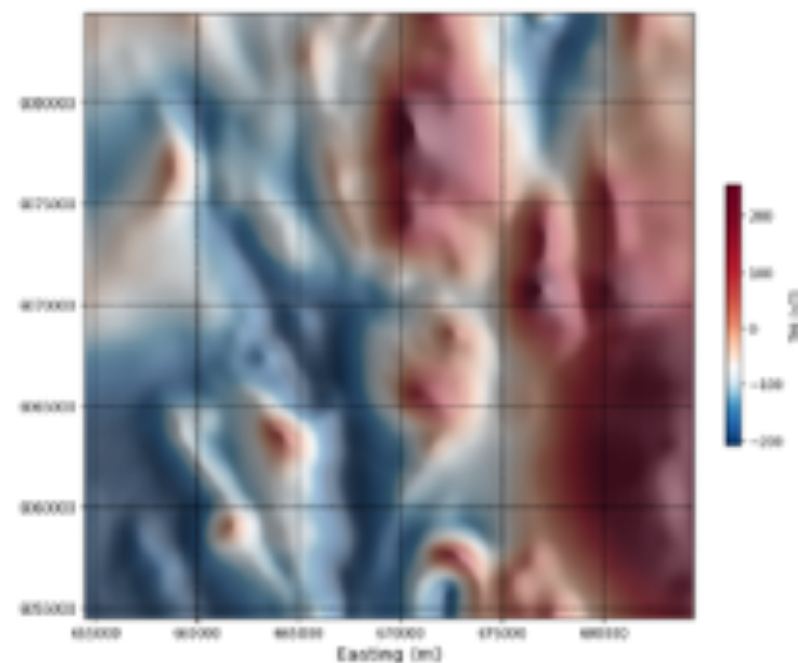


# Traitement des données

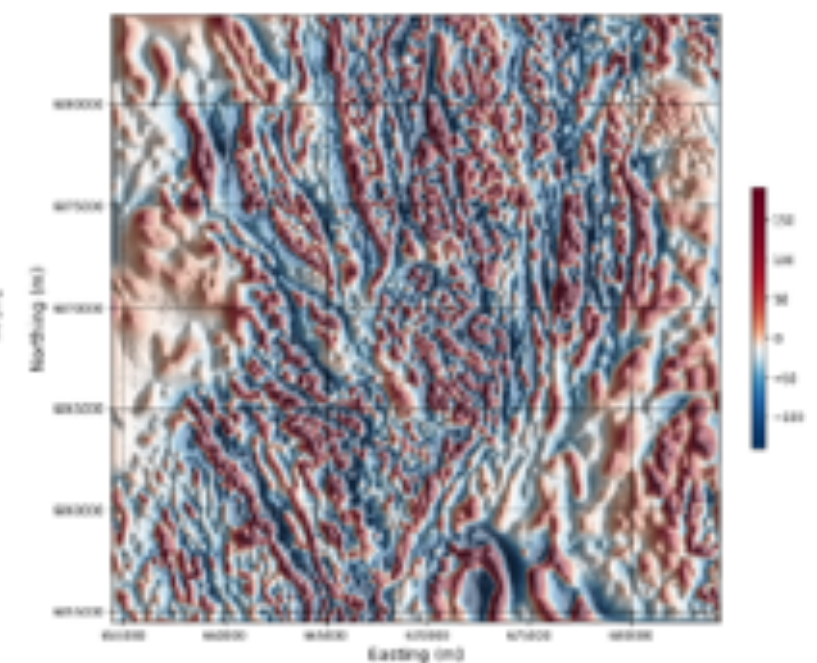
- Afin de rehausser certaines parties du signal, nous appliquons des filtres aux cartes gravimétriques et magnétiques



**Carte magnétique originale**



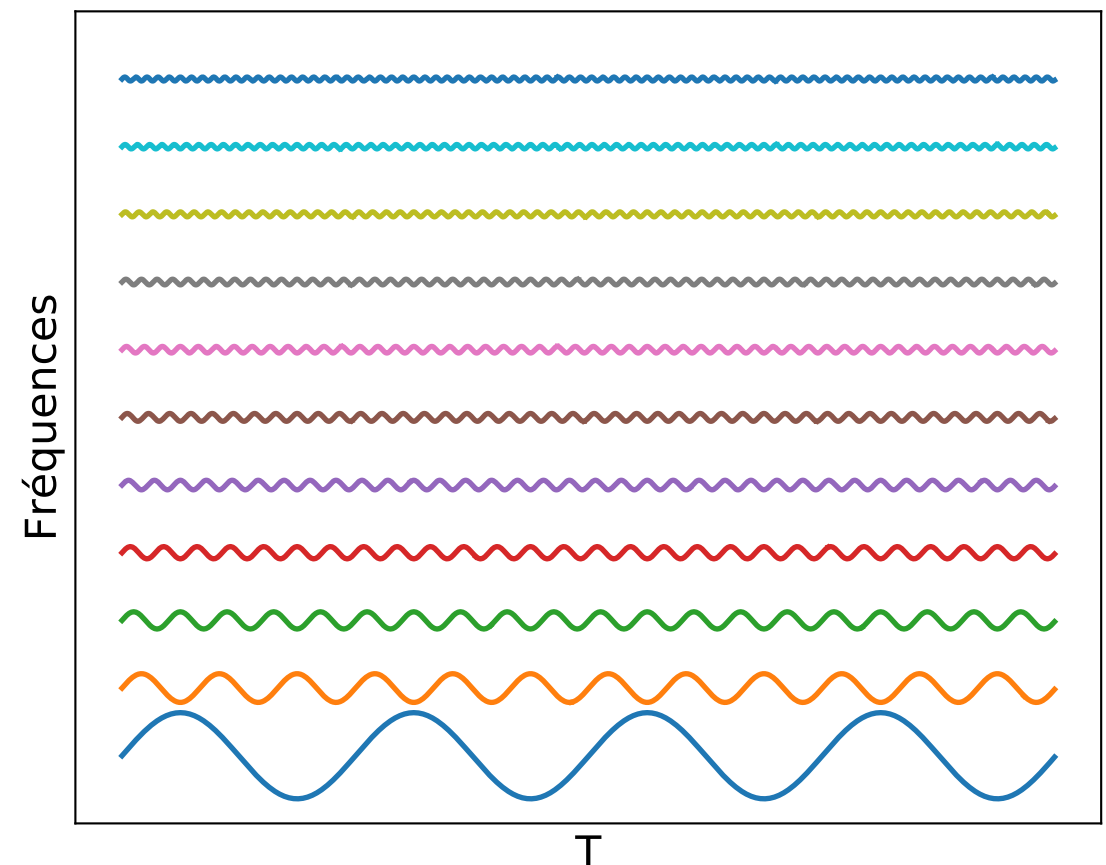
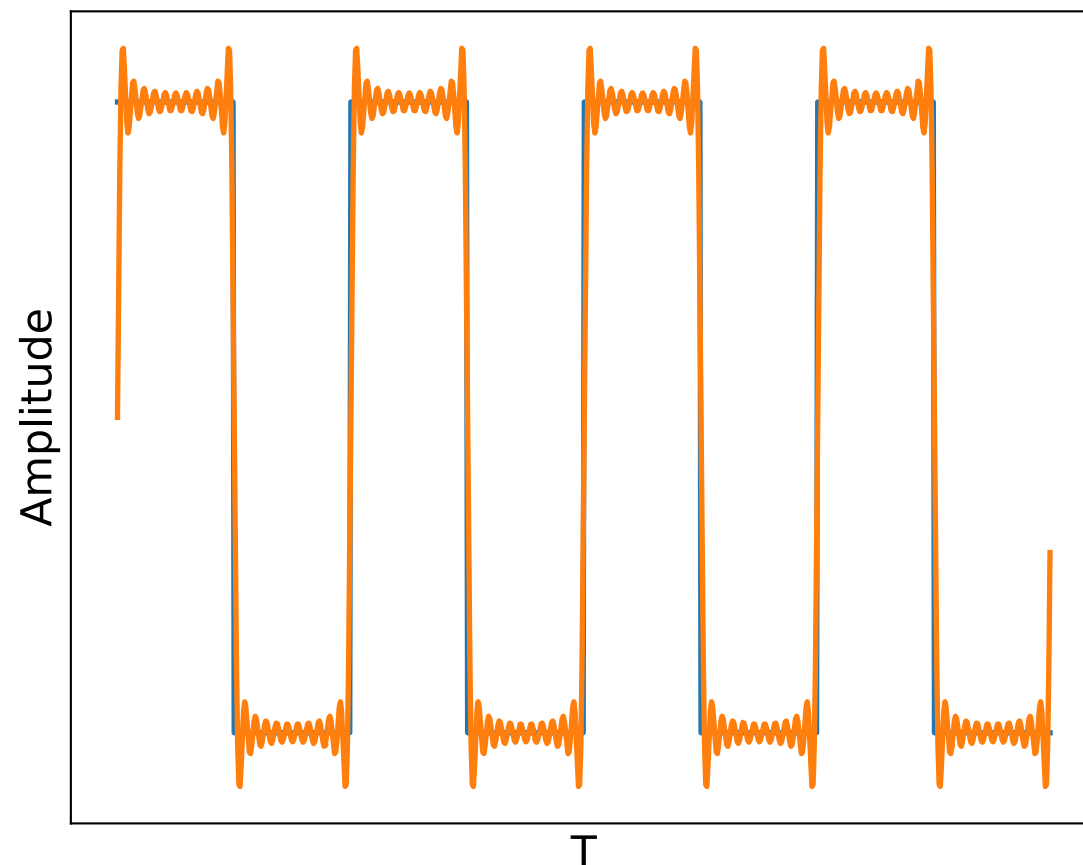
**Prolongement vers le haut**



**Dérivée verticale**

# Traitement des données

- ▶ Les filtres se basent sur la transformée de Fourier, qui décompose un signal en une somme de sinus et cosinus



# Traitement des données

1. Appliquer la transformée de Fourier discrète au signal

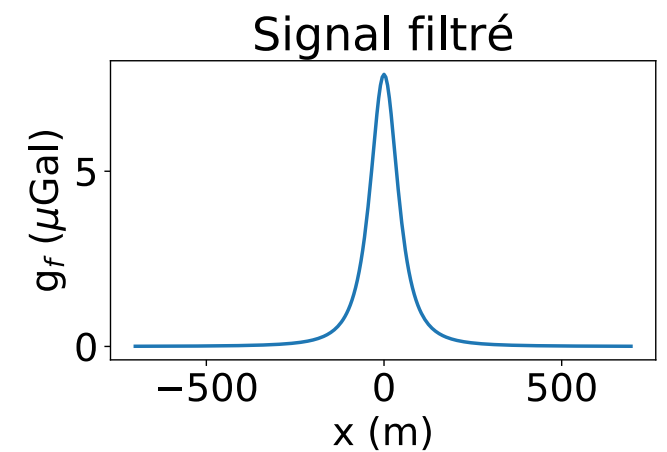
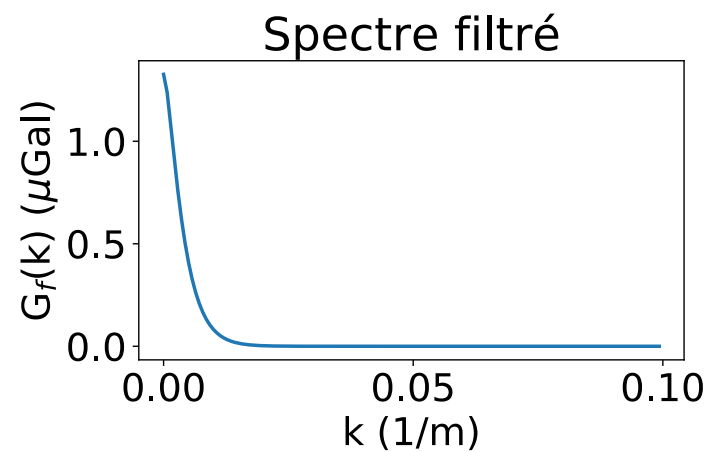
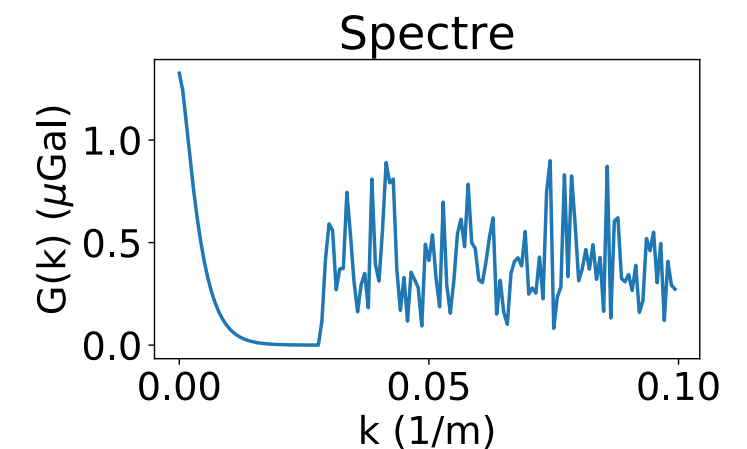
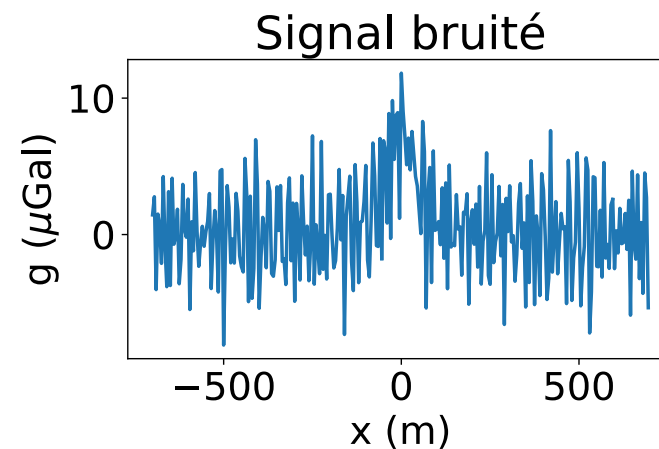
$$S(\omega) = \mathcal{F}[(s(t))]$$

2. Multiplier par la réponse du filtre désiré

$$S_f(\omega) = S(\omega)H(\omega)$$

3. Appliquer la transformée inverse

$$s_f(t) = \mathcal{F}^{-1}[(S_f(\omega))]$$

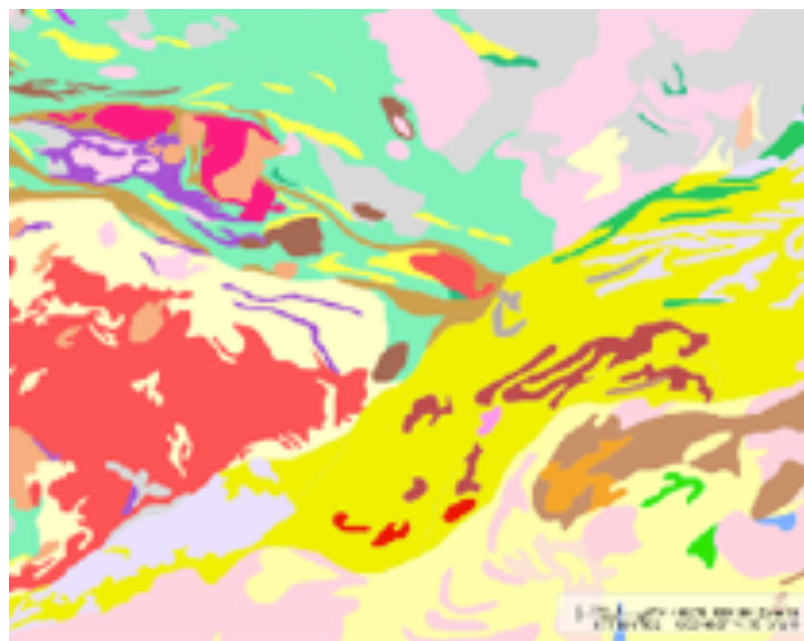




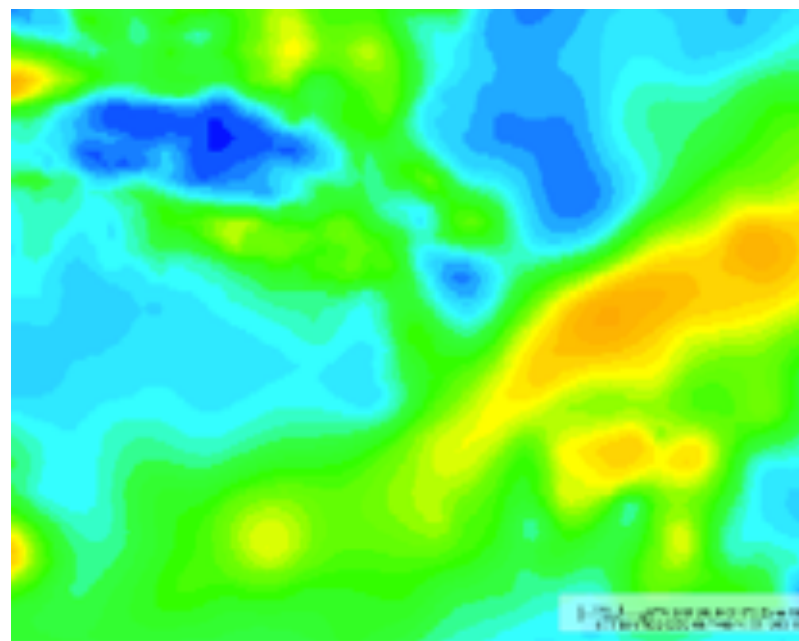
# Interprétation des données

---

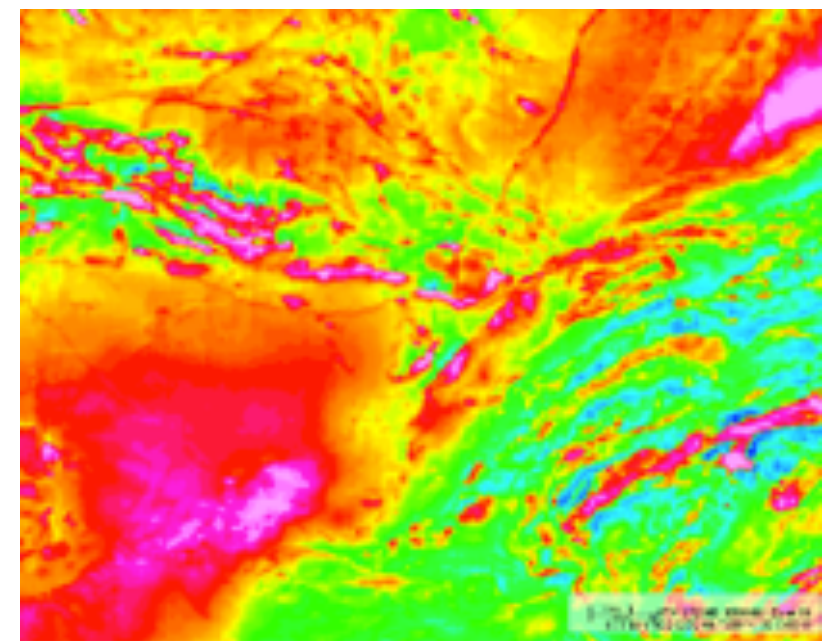
- ▶ Les données gravimétriques et magnétiques, couplées aux relevés de terrain géologique, permettent de produire des cartes géologiques.



**Carte géologique de l'Abitibi**



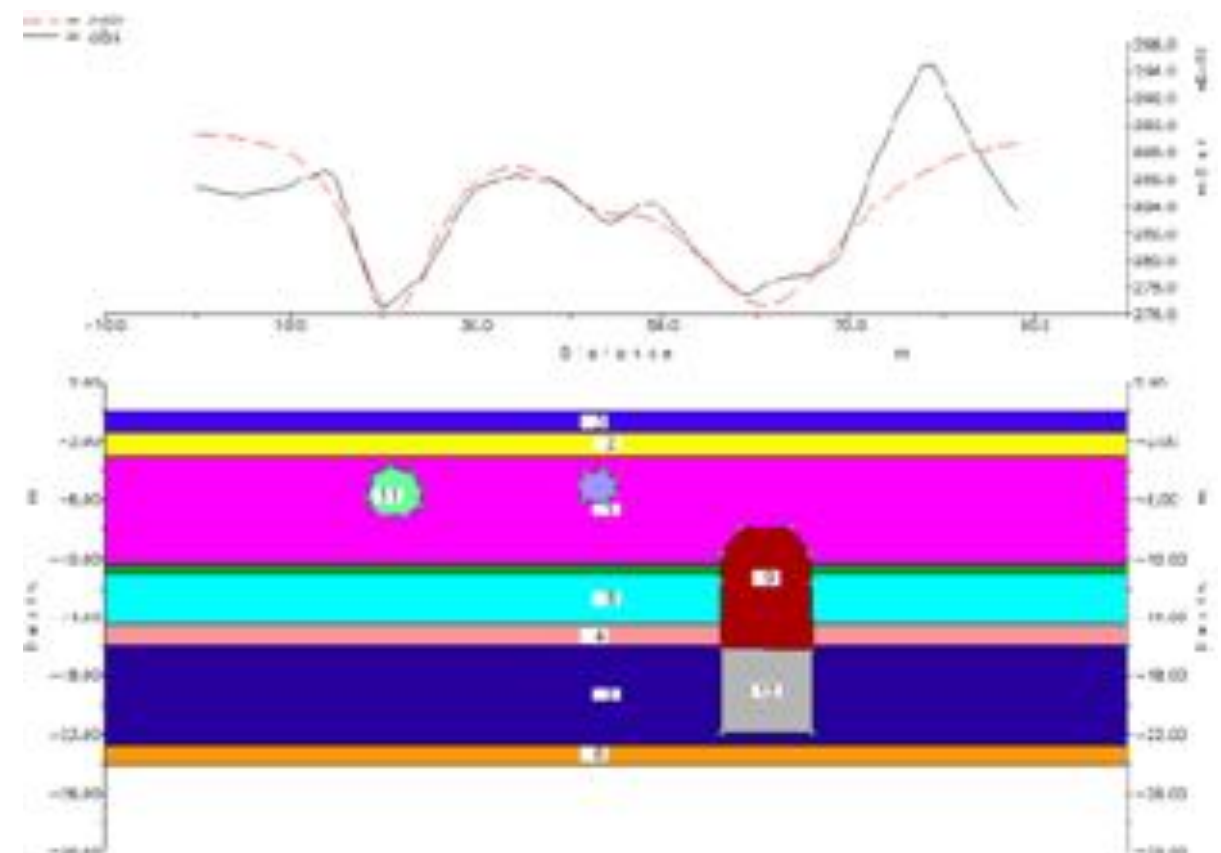
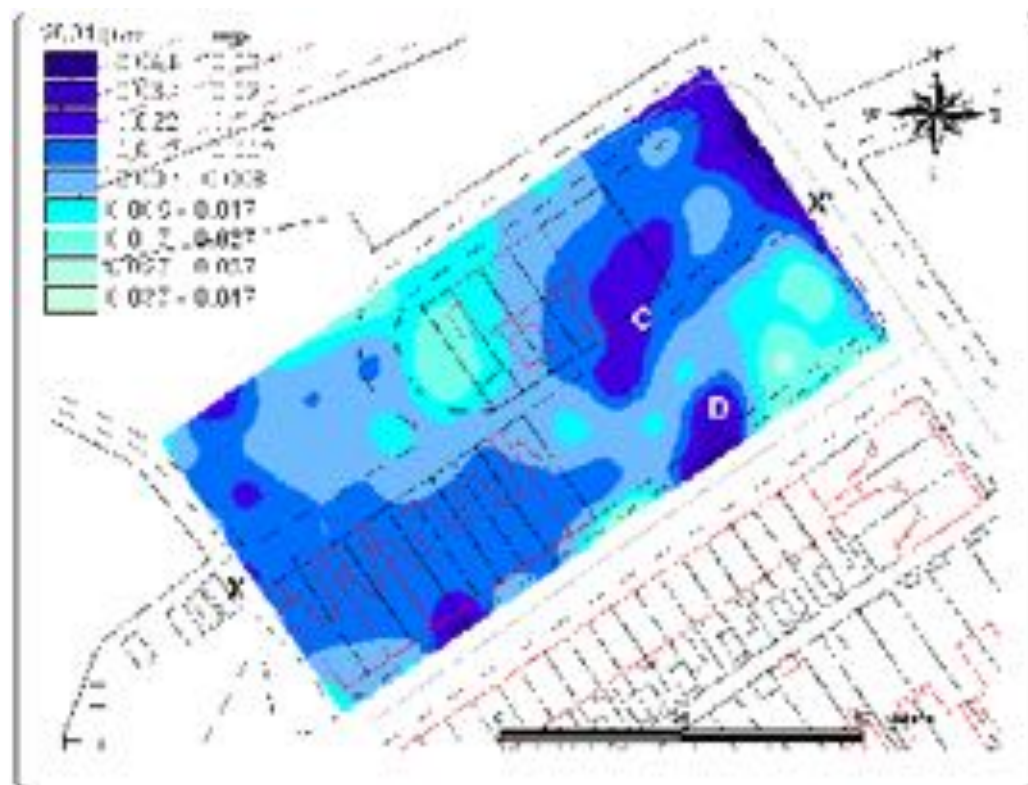
**Anomalie de Bouguer**



**Champ magnétique résiduel**

# Interprétation des données: Modélisation

- ▶ Une analyse plus poussée peut être effectuée en testant différents scénarios par modélisation directe.
- ▶ La profondeur et l'extension verticale restent difficile à extraire.



# Forces et faiblesses

---

## Forces

- ▶ Mesures passives du champ naturel
- ▶ Applicable à grande échelle
- ▶ Changements de densité et de susceptibilité bien corrélés à la géologie

## Faiblesses

- ▶ Difficulté à déterminer la profondeur et extension verticale des structures
- ▶ Plusieurs types de roches ne peuvent être différenciés par leur densité et susceptibilité
- ▶ Mesures fortement perturbées en milieu urbanisé
- ▶ Mesures gravimétriques coûteuses et demande une expertise pointue.



## 2. Propriétés géophysiques

# Densité

---

- La densité est le rapport de la masse et du volume:

$$\rho = \frac{m}{V}$$

- Dans le cas d'un milieu poreux saturé:

$$\rho_m = (1 - \phi)\rho_s + \phi\rho_f$$

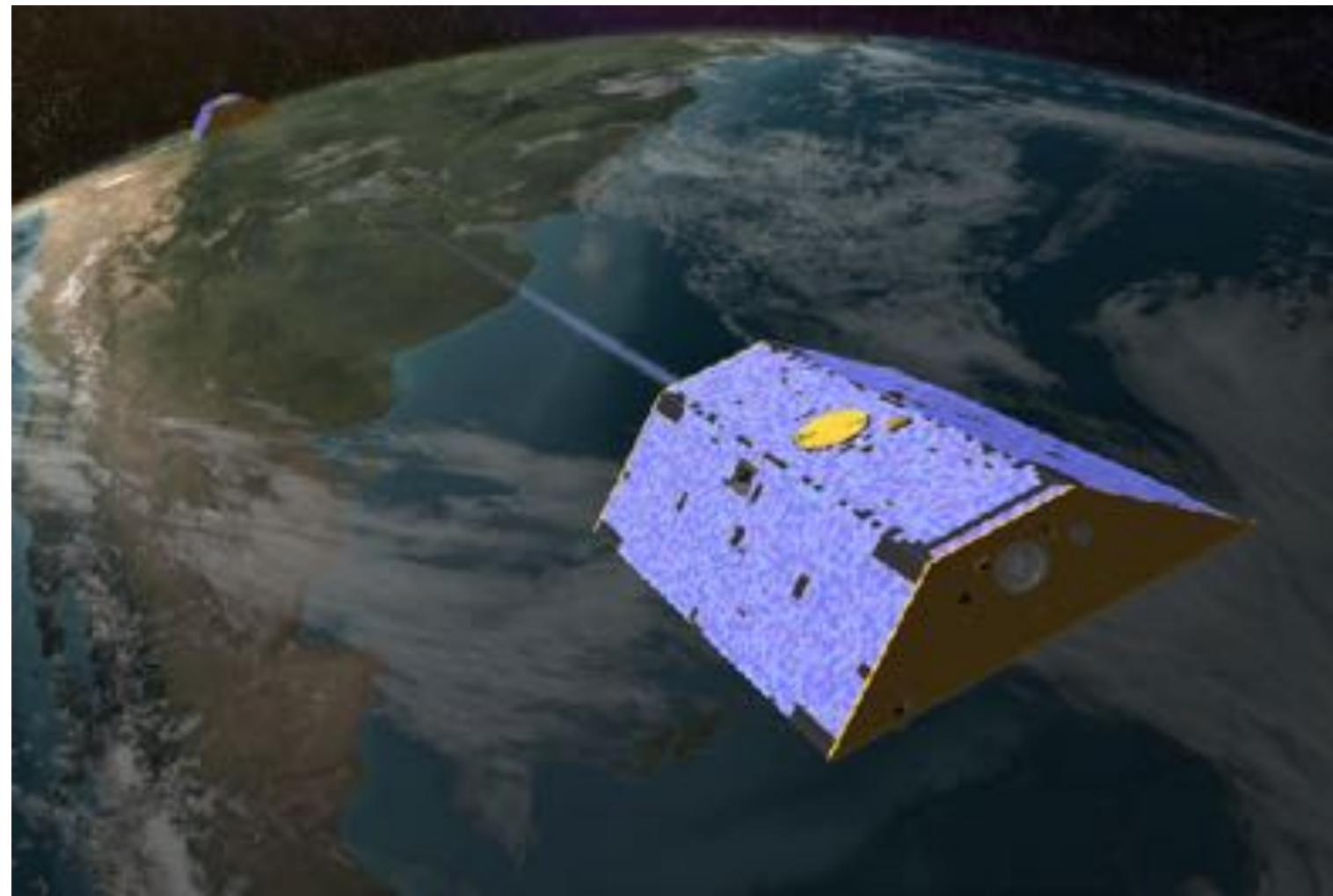
$\phi$  : Porosité

$\rho_s$  : Densité du solide

$\rho_f$  : Densité du fluide

- L'unité est le g/cm<sup>3</sup> ou kg/m<sup>3</sup>

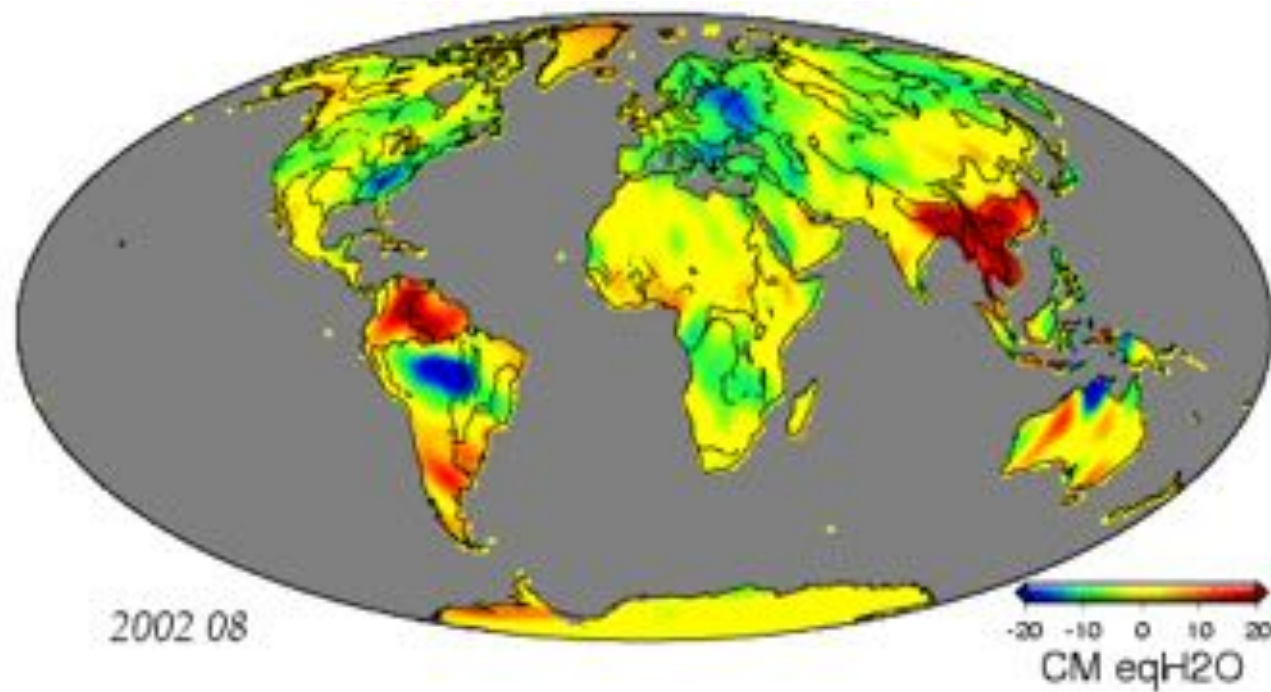
<https://www.nasa.gov/feature/jpl/grace-mission-15-years-of-watching-water-on-earth>



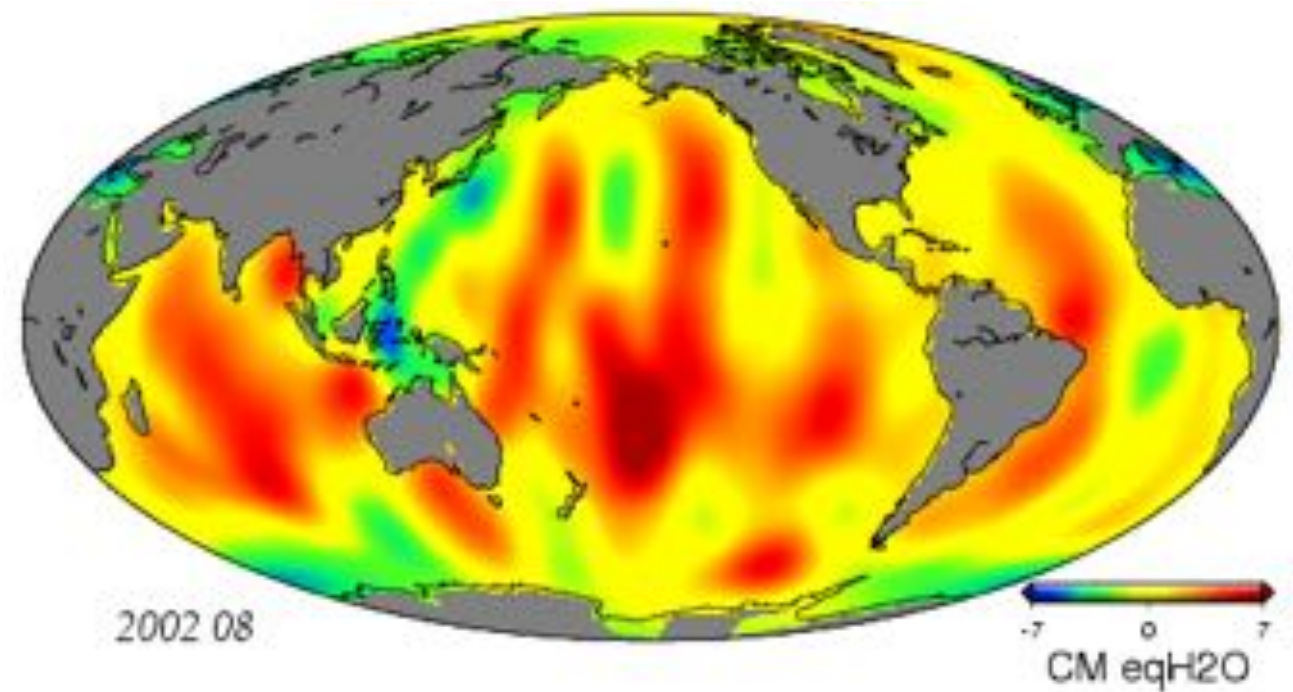
Satellites GRACE

# Densité: Grace

La mission Grace a permis des avancées de connaissances fondamentales: déplétion des aquifères, études des courants marins, taux de fonte des glaces en arctique et antarctique et bien d'autres !



**variations terrestres**



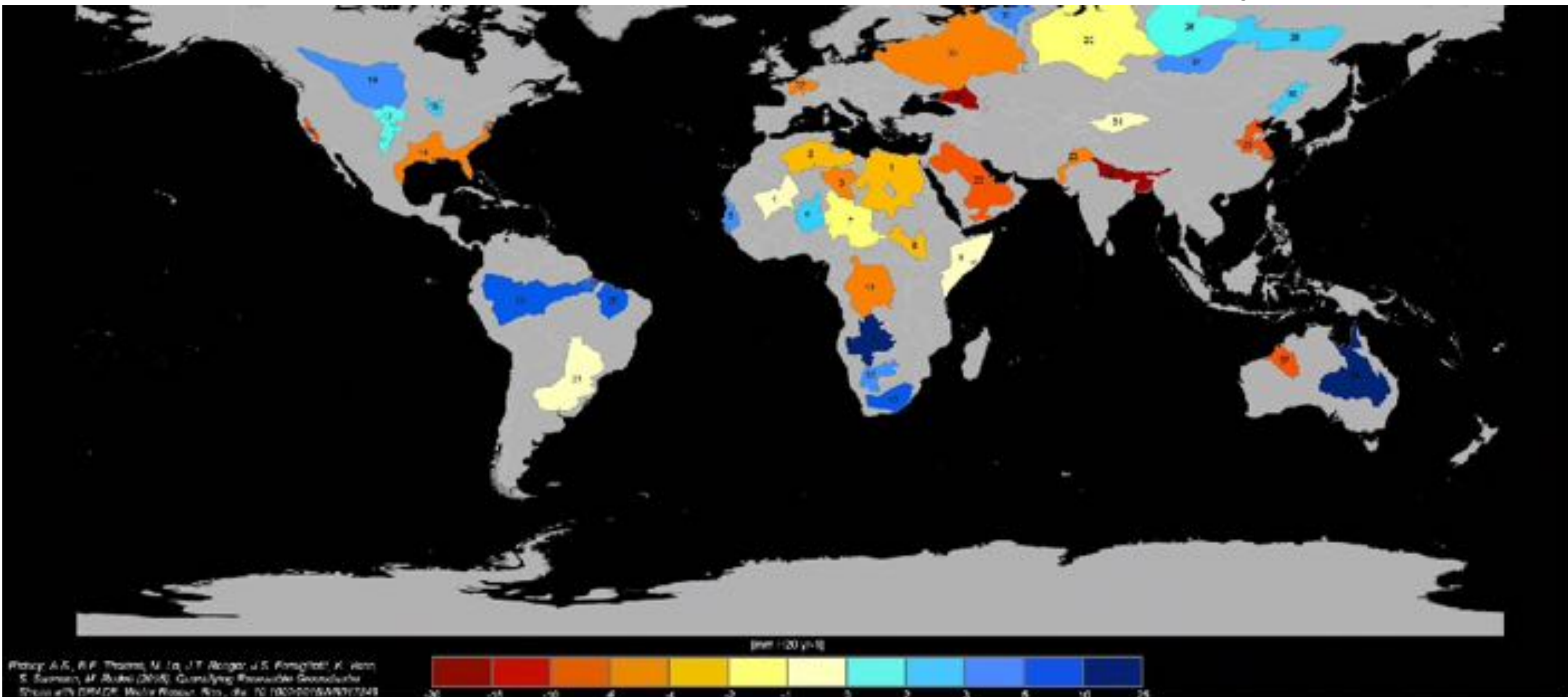
**variations océaniques**

[ftp://podaac.jpl.nasa.gov/pub/tellus/monthly\\_mass\\_grids/chambers-destripe/dpc200711/browse/anim/csr300Ind\\_RL04\\_500x260.gif](ftp://podaac.jpl.nasa.gov/pub/tellus/monthly_mass_grids/chambers-destripe/dpc200711/browse/anim/csr300Ind_RL04_500x260.gif)



# Densité: Surveillance des aquifères

<https://www.jpl.nasa.gov/news/news.php?feature=4626>



- |  |   |                             |                               |
|--|---|-----------------------------|-------------------------------|
| 1 Nubian Aquifer System (NAS)                | 11 Upper Kalahari-Cuvalli-Upper Zambezi Basin | 20 Maranhao Basin           | 29 North China Aquifer System |
| 2 Northwestern Sahara Aquifer System (NWSAS) | 12 Lower Kalahari-Stamriet Basin              | 21 Guarani Aquifer System   | 30 Song-Liao Basin            |
| 3 Murzuk-Djado Basin                         | 13 Karoo Basin                                | 22 Arabian Aquifer System   | 31 Taim Basin                 |
| 4 Taoudeni-Tanezrouft Basin                  | 14 Northern Great Plains Aquifer              | 23 Indus Basin              | 32 Paris Basin                |
| 5 Senegalo-Mauritanian Basin                 | 15 Cambro-Ordovician Aquifer System           | 24 Ganges-Brahmaputra Basin | 33 Russian Platform Basins    |
| 6 Iullemeden-Irhazer Aquifer System          | 16 Californian Central Valley Aquifer System  | 25 West Siberian Basin      | 34 North Caucasus Basin       |
| 7 Lake Chad Basin                            | 17 Ogallala Aquifer (High Plains)             | 26 Tunguss Basin            | 35 Pechora Basin              |
| 8 Sudd Basin (Limm Ruwaha Aquifer)           | 18 Atlantic and Gulf Coastal Plains Aquifer   | 27 Angara-Lena Basin        | 36 Great Arxian Basin         |
| 9 Ogaden-Juba Basin                          | 19 Amazon Basin                               | 28 Yakut Basin              | 37 Canning Basin              |
| 10 Congo Basin                               |   |                             |                               |



# Densité: Facteurs

---

- La composition des roches influence grandement la densité. Pour les roches ignées, la quantité de silice est un bon indicateur:

Type de roche ignée	% Silice (SiO <sub>2</sub> )	Densité
Felsique	65% <	faible
Intermédiaire	55% - 65%	Modérée
Mafique	45% - 55%	Grande
Ultramafique	< 45%	Très grande

- Porosité: Pour les dépôts meubles, c'est le facteur dominant. Le fluide contenu dans les pores (air, eau, huile gaz...) affecte grandement la densité.
- Pression: Sous la pressions, les roches sédimentaires perdent de leur porosité et deviennent plus denses.

# Densité

Quelques exemples de matériaux et leur densité

## Sédiments

Matériau	Densité
Roche sédimentaire	(g/cm <sup>3</sup> )
Argile	1.63 - 2.60
Silt	1.80 - 2.20
Sol végétal	1.20 - 2.40
Sable	1.70 - 2.30
Grès	1.61 - 2.76
Shale	1.77 - 3.30
Calcaire	1.93 - 2.90
Dolomite	2.28 - 2.90
Craie	1.52 - 2.60
Halite	2.10 - 2.60

## Métamorphiques

Matériau	Densité
Roche métamorphi	(g/cm <sup>3</sup> )
Ardoise	2.70 - 2.90
Phyllite	2.68 - 2.80
Schiste	2.39 - 2.80
Gneiss	2.59 - 3.00
Granulite	2.52 - 2.73
Amphibolite	2.90 - 3.04
Eclogite	3.20 - 3.54

## Minerai

Matériau	Densité
Roches minéralisée	(g/cm <sup>3</sup> )
Bauxite	2.30 - 2.55
Pyrite et Pvrrotite	4.50 - 5.20
Magnetite	4.90 - 5.20
Hematite	4.90 - 5.30
Cobaltite	5.80 - 6.30
Galène	7.40 - 7.60

## Ignées

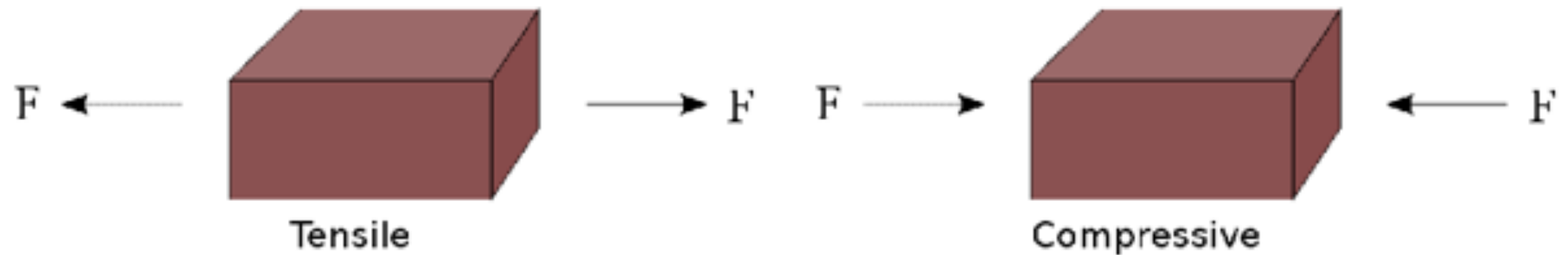
Matériau	Densité
Roche ignée	(g/cm <sup>3</sup> )
Rhyolite	2.35 - 2.70
Granite	2.50 - 2.81
Andesite	2.40 - 2.80
Basalte	2.70 - 3.30
Gabbro	2.70 - 3.50

# Vitesse sismiques

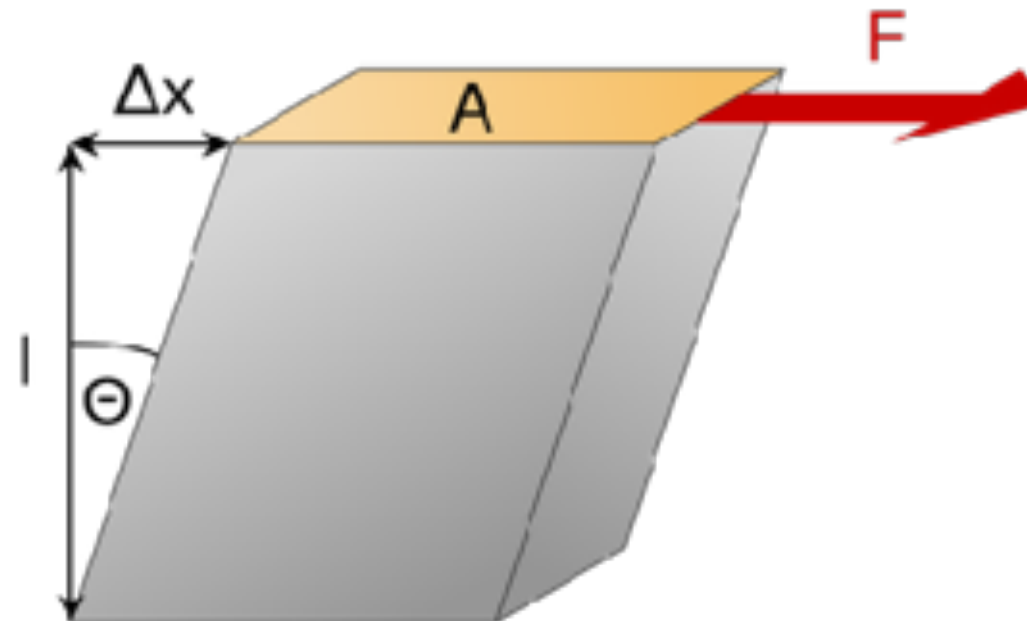
---

Un solide supporte plusieurs types de contraintes:

- Compression/contraction



- Cisaillement



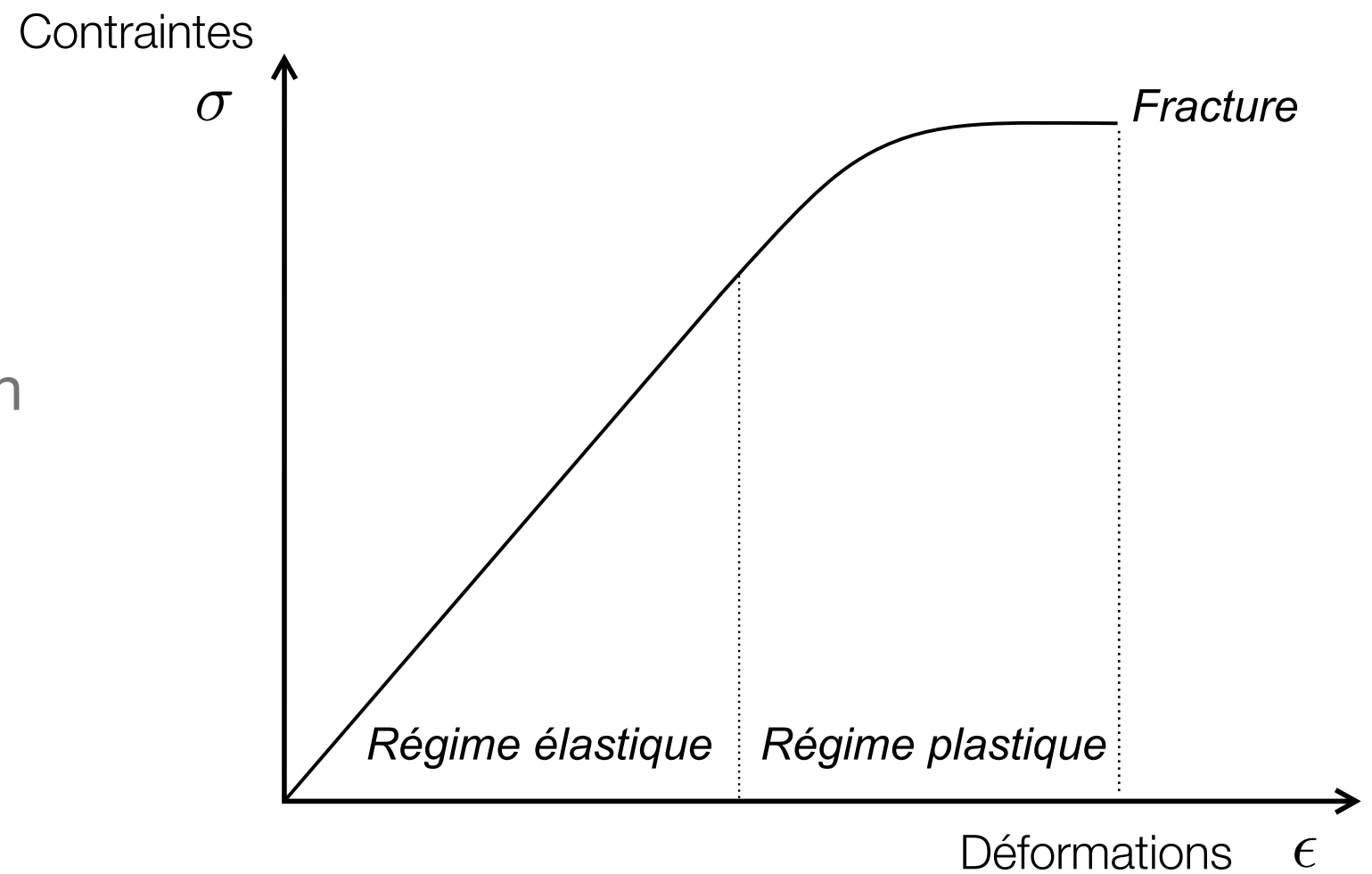
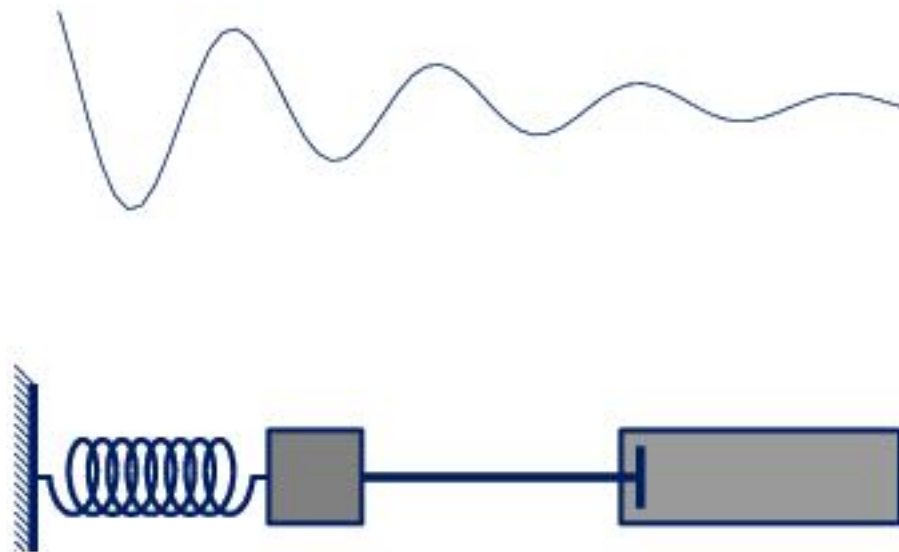


# Vitesse sismiques

Les contraintes engendrent des déformations

Pour de petites contraintes, la relation contrainte/déformation est linéaire.

On peut alors assimiler le sol à un système masse-ressort



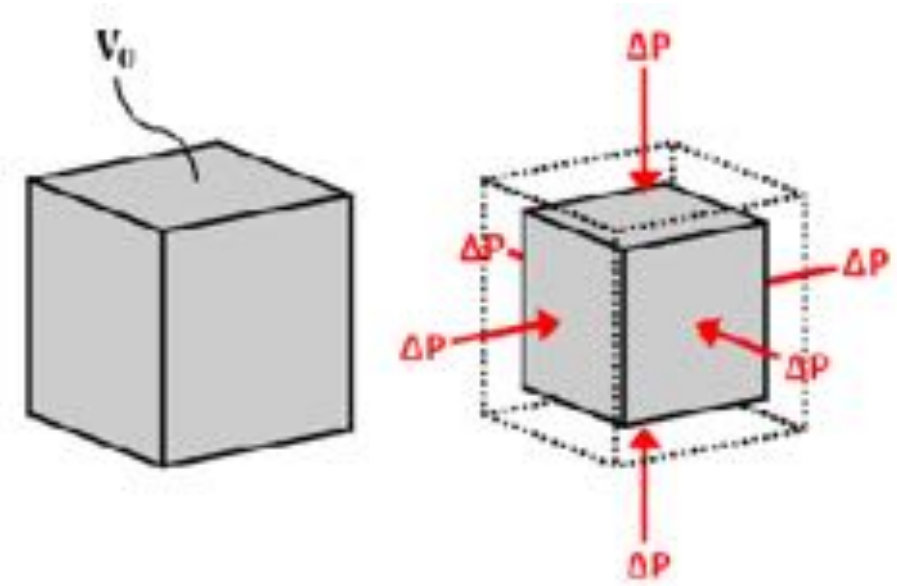
# Vitesse sismiques

---

Les constantes du ressort sont les différents modules élastiques.

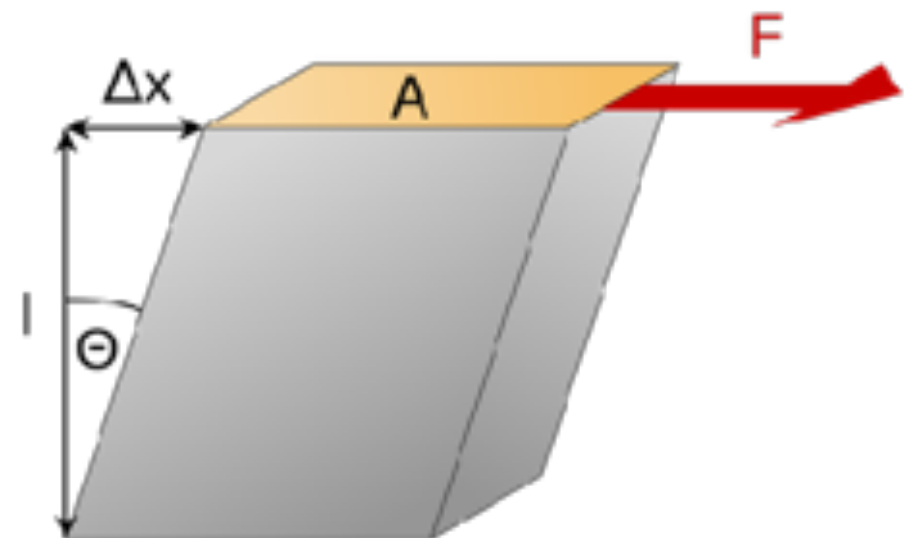
Module d'incompressibilité:

$$K = -V_0 \frac{\Delta P}{\Delta V}$$



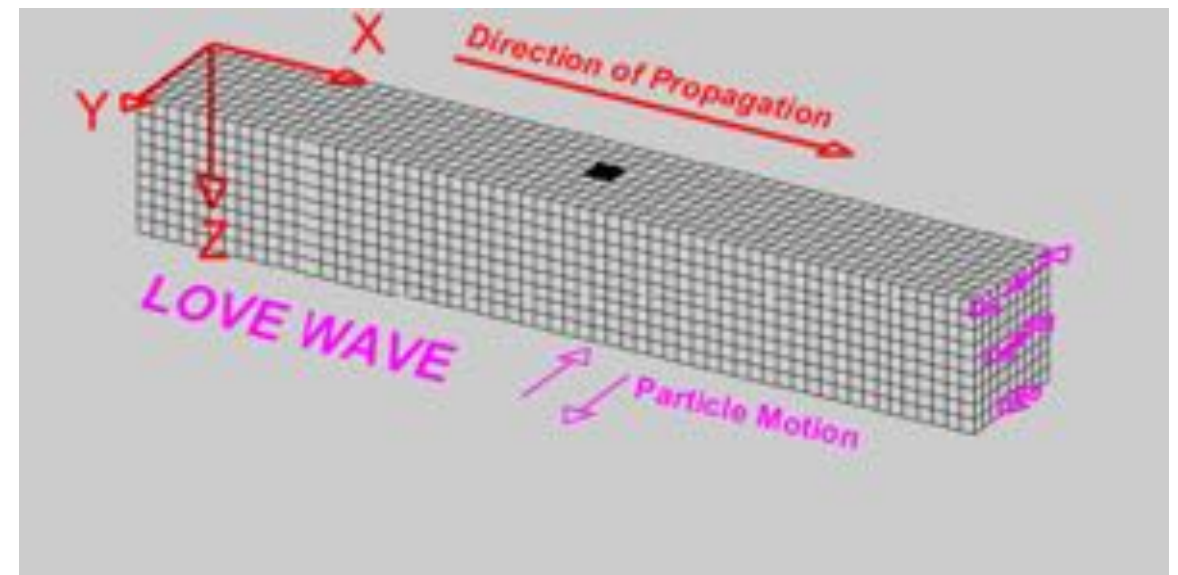
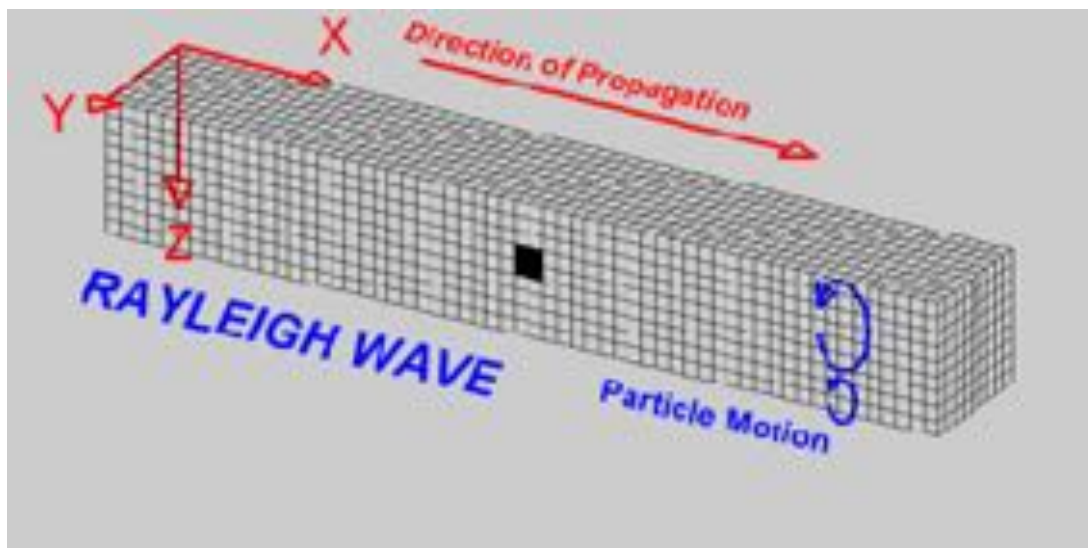
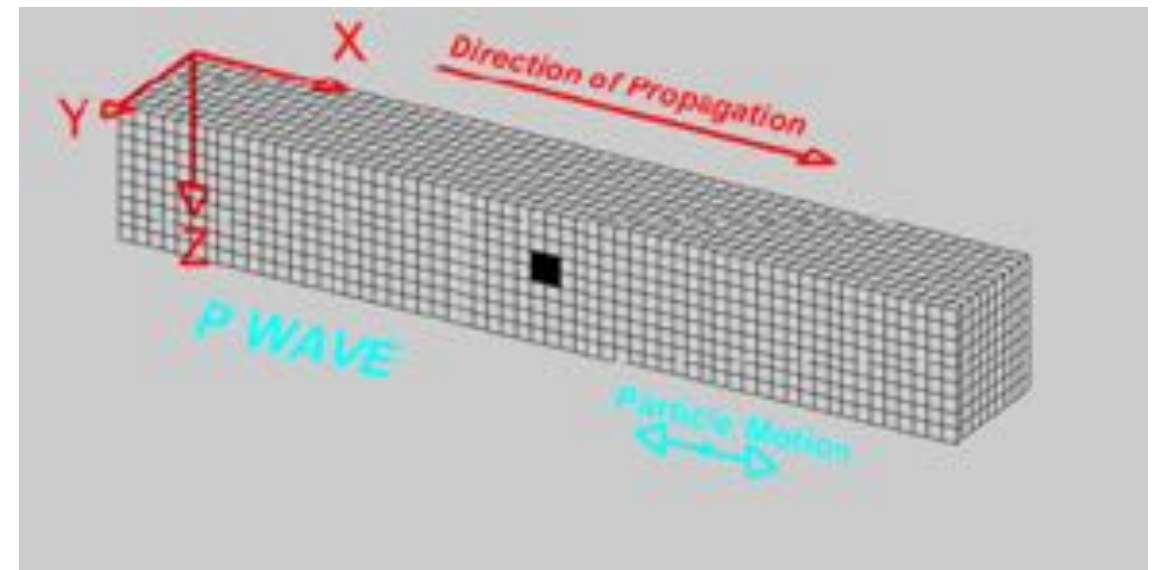
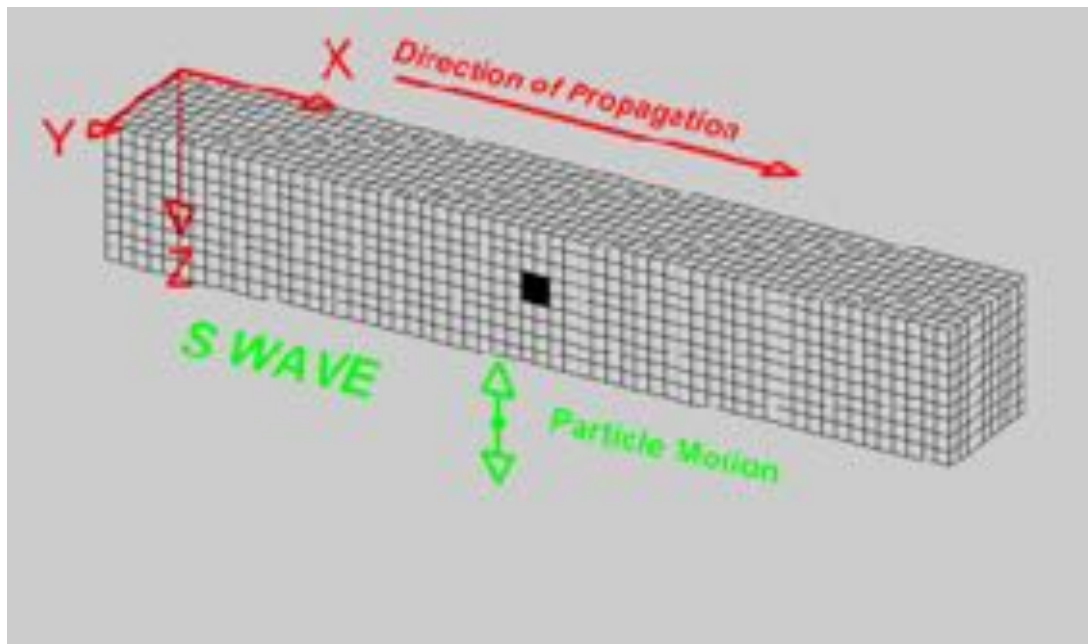
Module de cisaillement:

$$\mu = \frac{F/A}{\Delta x/l}$$



# Vitesse sismiques

Selon le type de contraintes, différents types d'onde se propageront

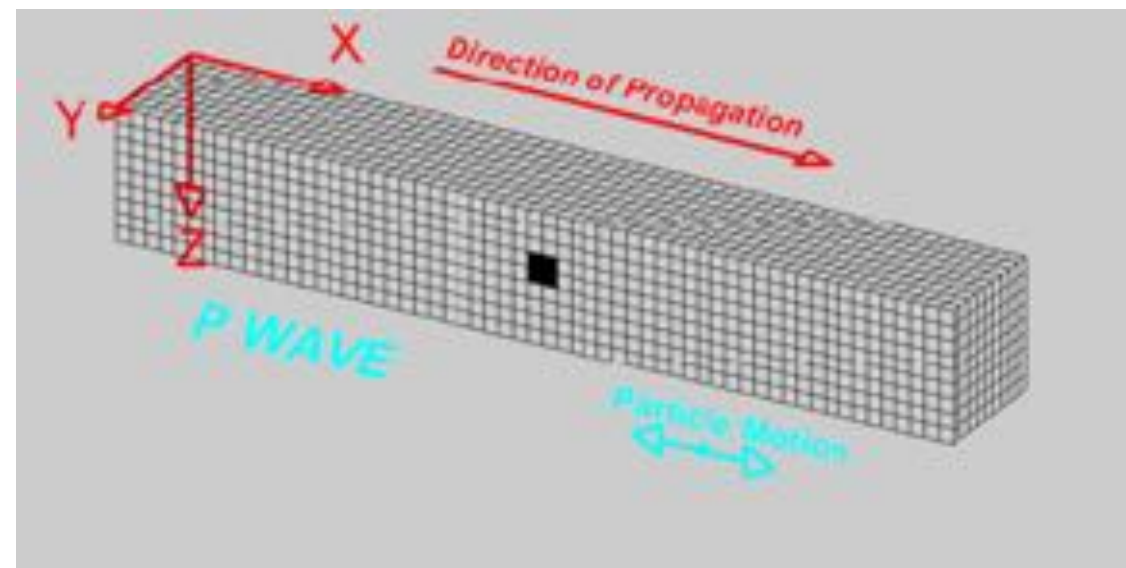


# Vitesses sismiques

Les vitesses des ondes dépendent des modules élastiques du solide

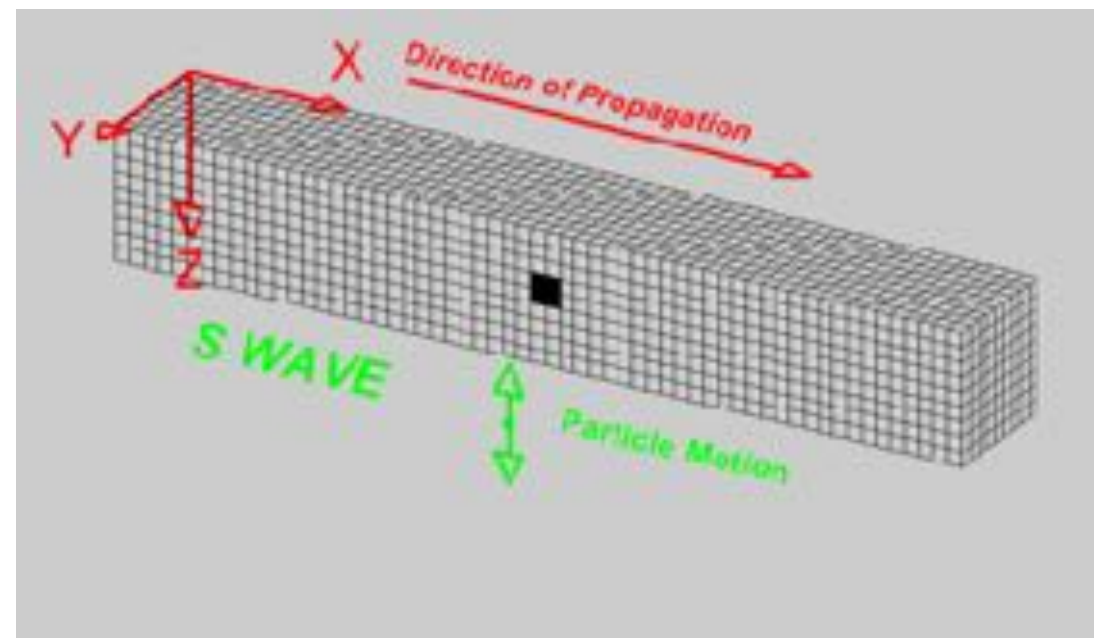
Vitesse des ondes P

$$V_p = \sqrt{\frac{K + 4/3\mu}{\rho}}$$



Vitesse des ondes S

$$V_s = \sqrt{\frac{\mu}{\rho}}$$





# Vitesses sismiques

---

Plusieurs facteurs affectent les vitesses sismiques:

- **Minéralogie:** La structure atomique des minéraux et la composition des roches affectent leur densité et leur module élastique
- **Porosité et saturation:** Une grande porosité diminue les vitesses sismiques. Pour un milieu saturé:

$$V_p = \left[ \frac{\phi}{V_f} + \frac{1 - \phi}{V_s} \right]^{-1}$$

$\phi$  : porosité  
 $V_s$  : Vitesse du solide  
 $V_f$  : Vitesse du fluide

- **Compaction et cimentation:** Lorsque les sédiments se compactent, la porosité diminue et la vitesse augmente. Lors de la cimentation, les grains deviennent solidaires, ce qui augmente la rigidité de la matrice et donc les vitesses sismiques.

# Vitesses typiques

Quelques vitesses de matériaux communs

## Roches

Matériau	Ondes P (m/s)	Ondes S (m/s)
Grès	2000-3500	800-1800
Marne	2000 - 3000	750 - 1500
Craie	2300 - 2600	1100 - 1300
Charbon	2200 - 2700	1000 - 1400
Sel	4500 - 5500	2500 - 3100
Anhydrites	4000 - 5500	2200 - 3100
Calcaires	3500 - 6000	2000 - 3300
Dolomites	3500 - 6500	1900 - 3600
Granite	4500 - 6000	2500 - 3300
Basalte	5000 - 6000	2800 - 2400
Gneiss	4400 - 5200	2700 - 3200

## Sédiments

Matériau	Ondes P (m/s)	Ondes S (m/s)
Air	343	N/A
Eau	1450 - 1500	N/A
Glace	3400 - 3800	1700 - 1900
Huile	1200 - 1250	N/A
Sol	300 - 700	100 - 300
Sables	400 - 1200	100 - 500
Sables	1500 - 2000	400 - 600
Argiles	1100 - 2500	200 - 800

# Susceptibilité magnétique

En présence d'un champ magnétique un matériau acquerra une magnétisation:

$$\mathbf{M} = \kappa \mathbf{H}$$

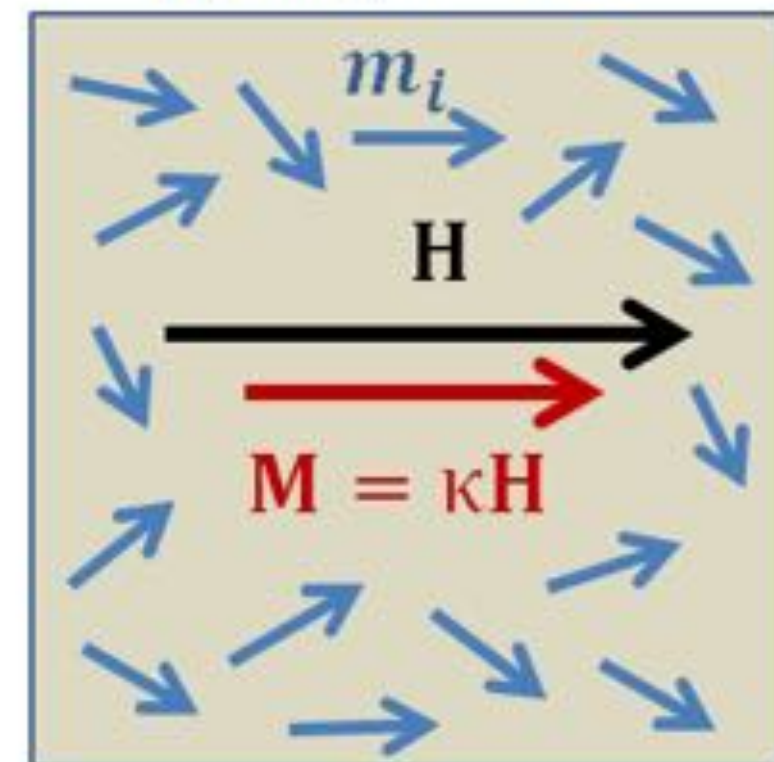
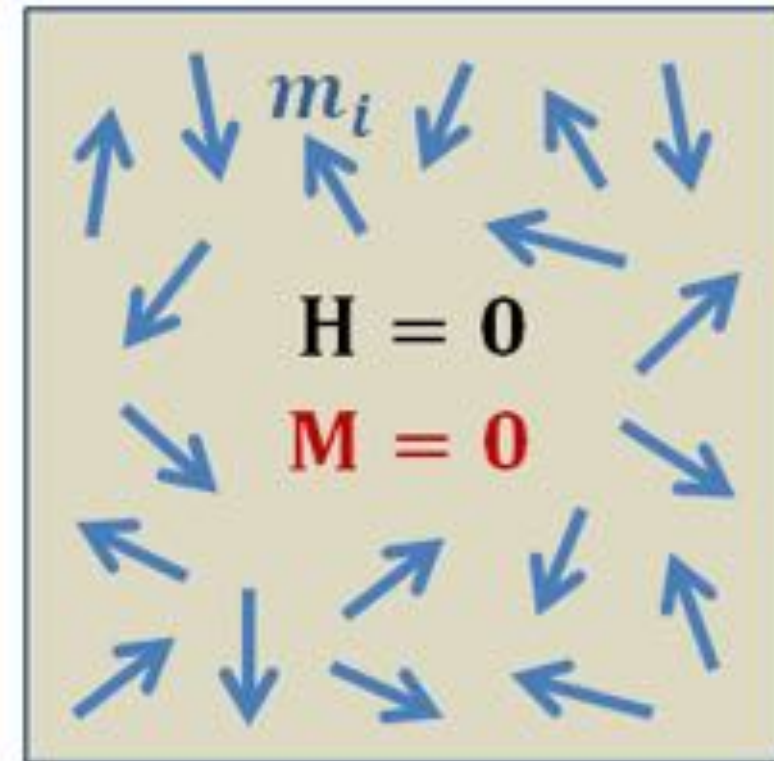
où  $\kappa$  est la **susceptibilité magnétique**.

Cette magnétisation augmentera le flux magnétique en présence d'un champ magnétique externe:

$$\mathbf{B} = \mu_0 (\mathbf{H} + \kappa \mathbf{H})$$

$$\mathbf{B} = \mu \mathbf{H}$$

où  $\mu$  est la **permittivité magnétique**.



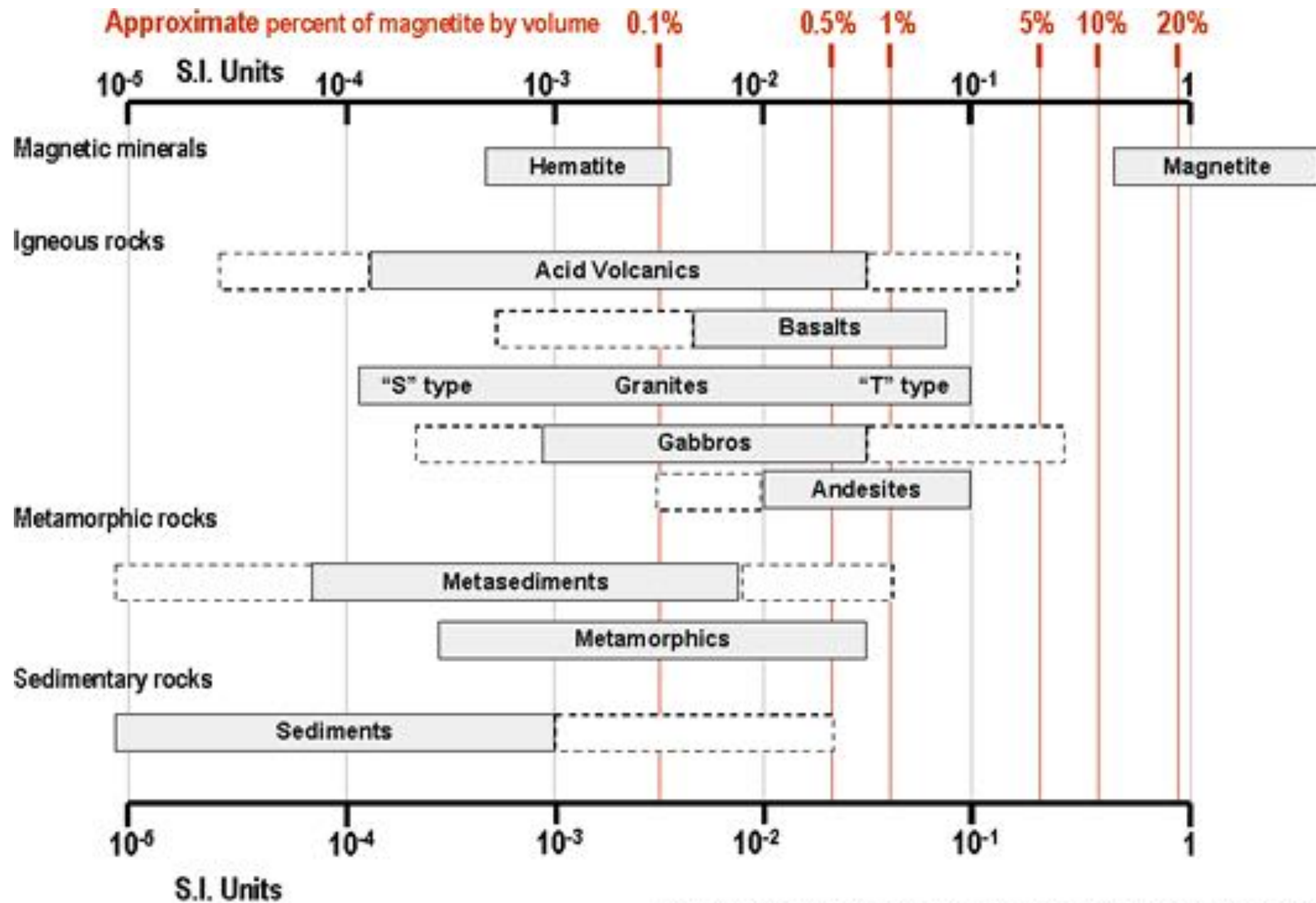
# Susceptibilité magnétique

- Diamagnétisme :
  - Alignement dans le sens contraire du champ ( $k < 0$ ) ;
  - Faible amplitude.
  - Graphite, gypse, marbre, quartz, sel.
- Paramagnétisme :
  - Alignement dans le sens du champ ( $k > 0$ ) ;
  - Faible amplitude.
- Ferromagnétisme :
  - Magnétisation spontanée (phénomène quantique) ;
  - Forte amplitude ;
  - Présents dans les cristaux.
  - Magnétite est le minéral principal

Propriété	Symbole	Unités
Intensité du champ	$H$	A/m
Flux magnétique	$B$	T
Magnétisation	$M$	A/m
Susceptibilité magnétique	$\kappa$	S.U.
Perméabilité magnétique	$\mu$	H/m

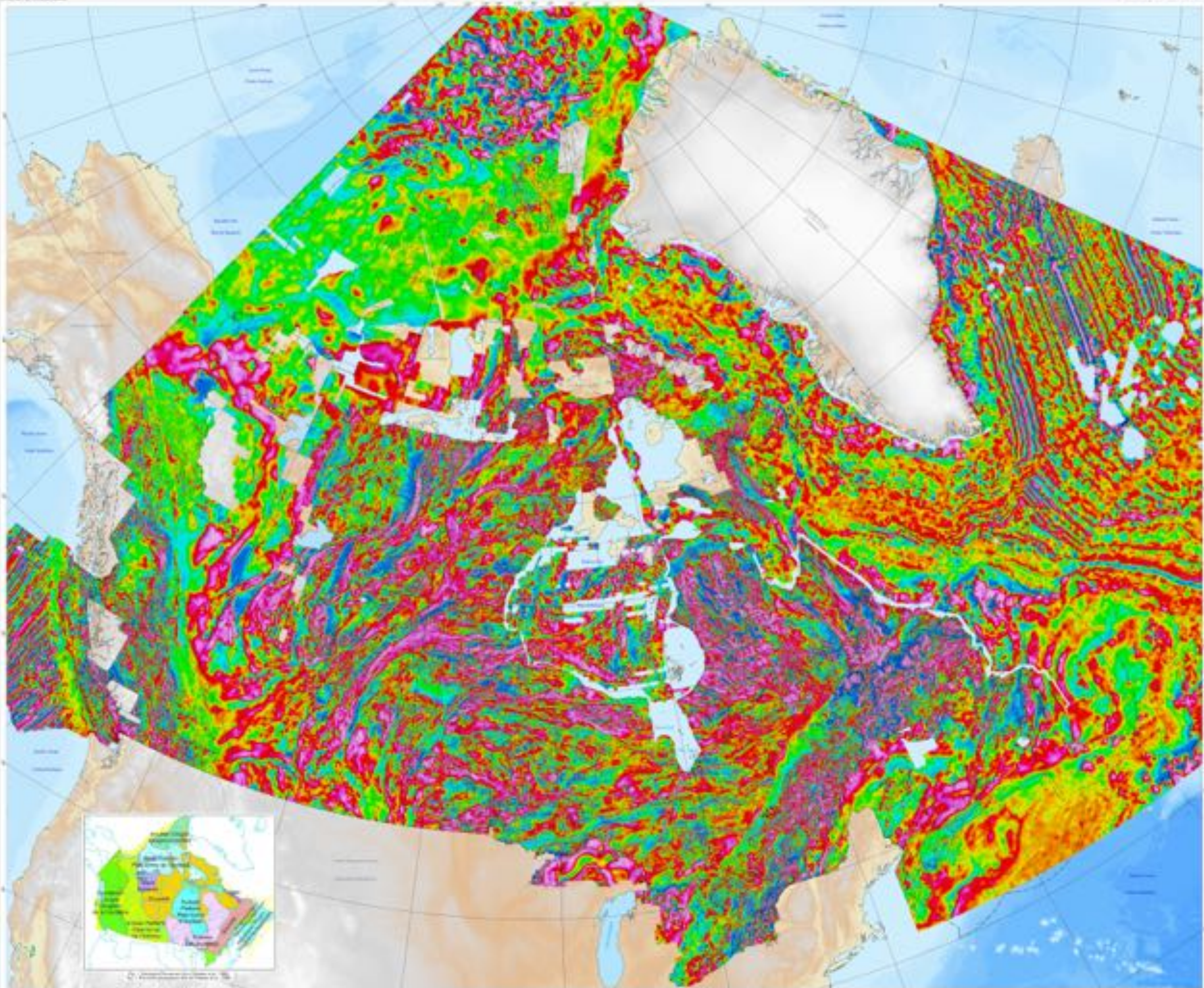


# Susceptibilité magnétique des roches



Adapted from Clark and Emerson, Exploration Geophysics, 1991







# Conductivité électrique

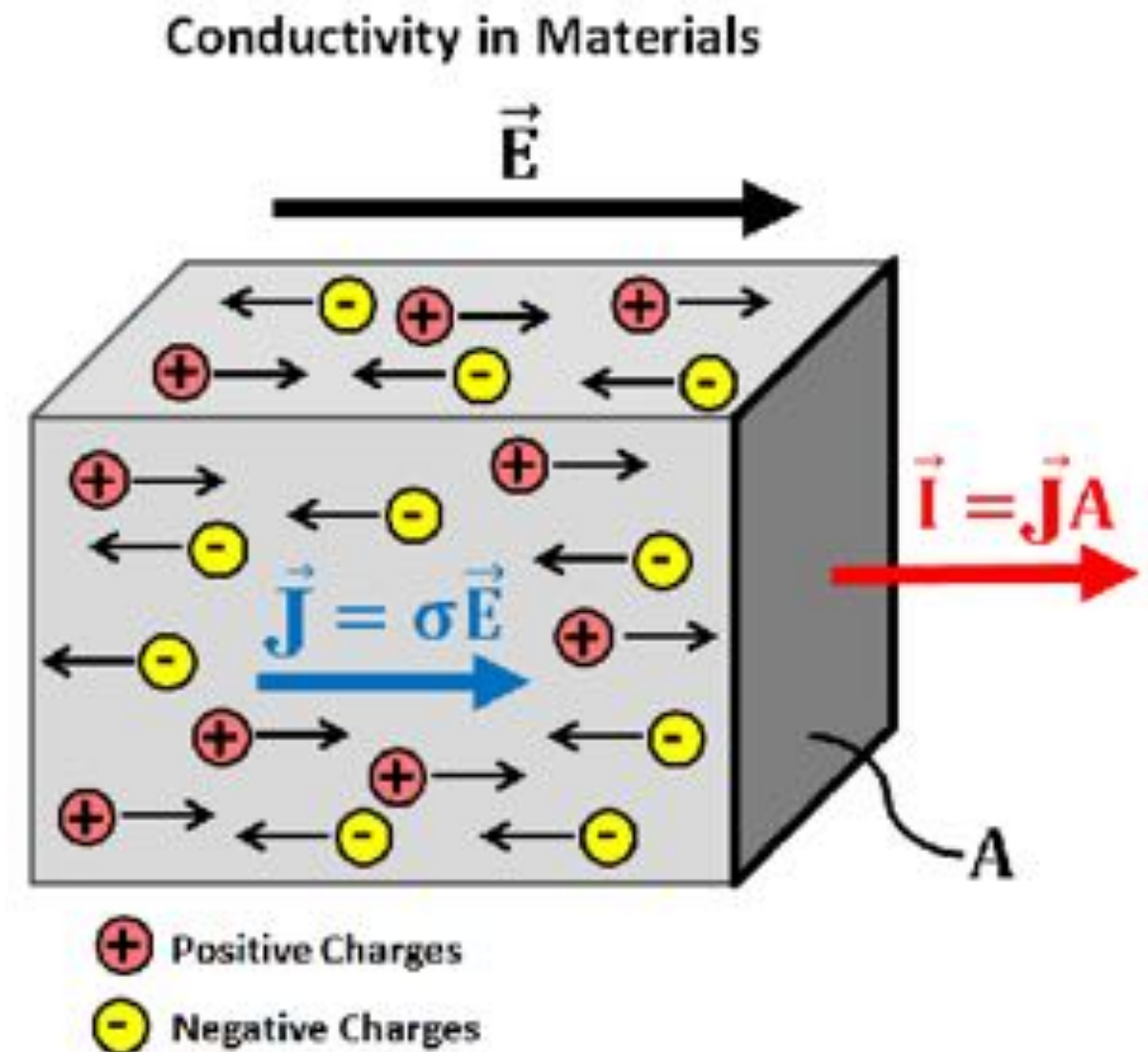
En présence d'un champ électrique, des charges électriques libres subiront une force et entraineront une densité de courant :

$$\mathbf{J} = \sigma \mathbf{E}$$

La résistivité est l'inversion de la conductivité:

$$\rho = \frac{1}{\sigma}$$

La résisté s'exprime en ohm-m et la conductivité en S/m.



# Conductivité électrique

---

Plusieurs facteurs affectent la conductivité des matériaux:

- Porosité et saturation: Facteur majeur de la résistivité électrique. La majeure partie de la conduction se fait au travers d'ions dans l'eau des pores. La loi d'Archie décrit ce phénomène:

$$\rho_{eff} = a\phi^{-m} S_w^{-n} \rho_w$$

$S$  : Saturation

$\rho_w$  : conductivité de l'eau

$\phi$  : Porosité

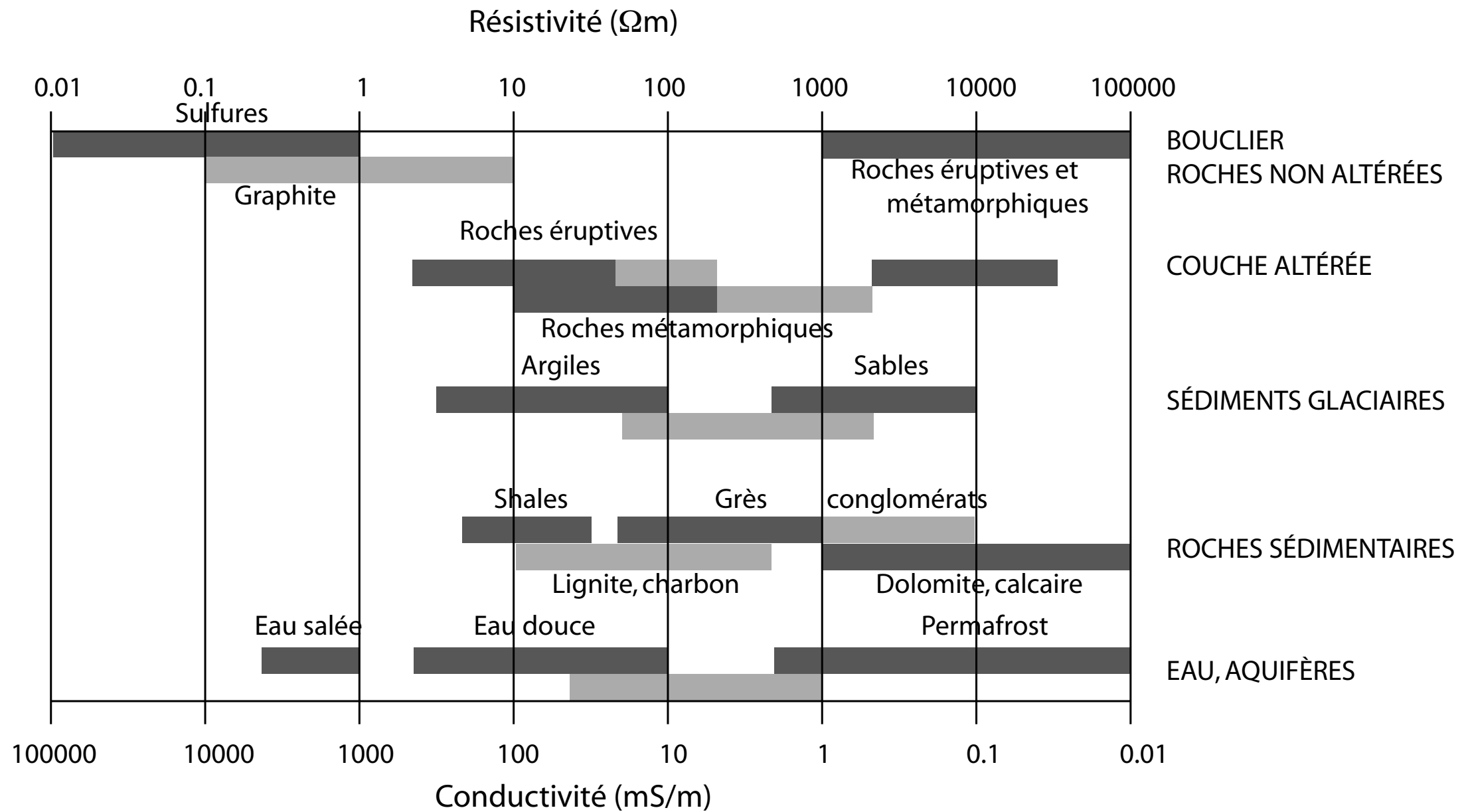
où  $a$ ,  $m$  et  $n$  sont des constantes empiriques.

- Tortuosité: La connexion des pores affecte aussi grandement le déplacement du courant dans le fluide, et donc la résistivité électrique
- Minéralisation: Certains minéraux sont hautement conducteurs, et leur présence abaisse la conductivité globale des roches.



# Conductivité électrique

La conductivité électrique varie sur plusieurs ordres de grandeur!



# Permittivité diélectrique

- Sous un champ électrique  $E$ , la matière (les atomes) se polarisent

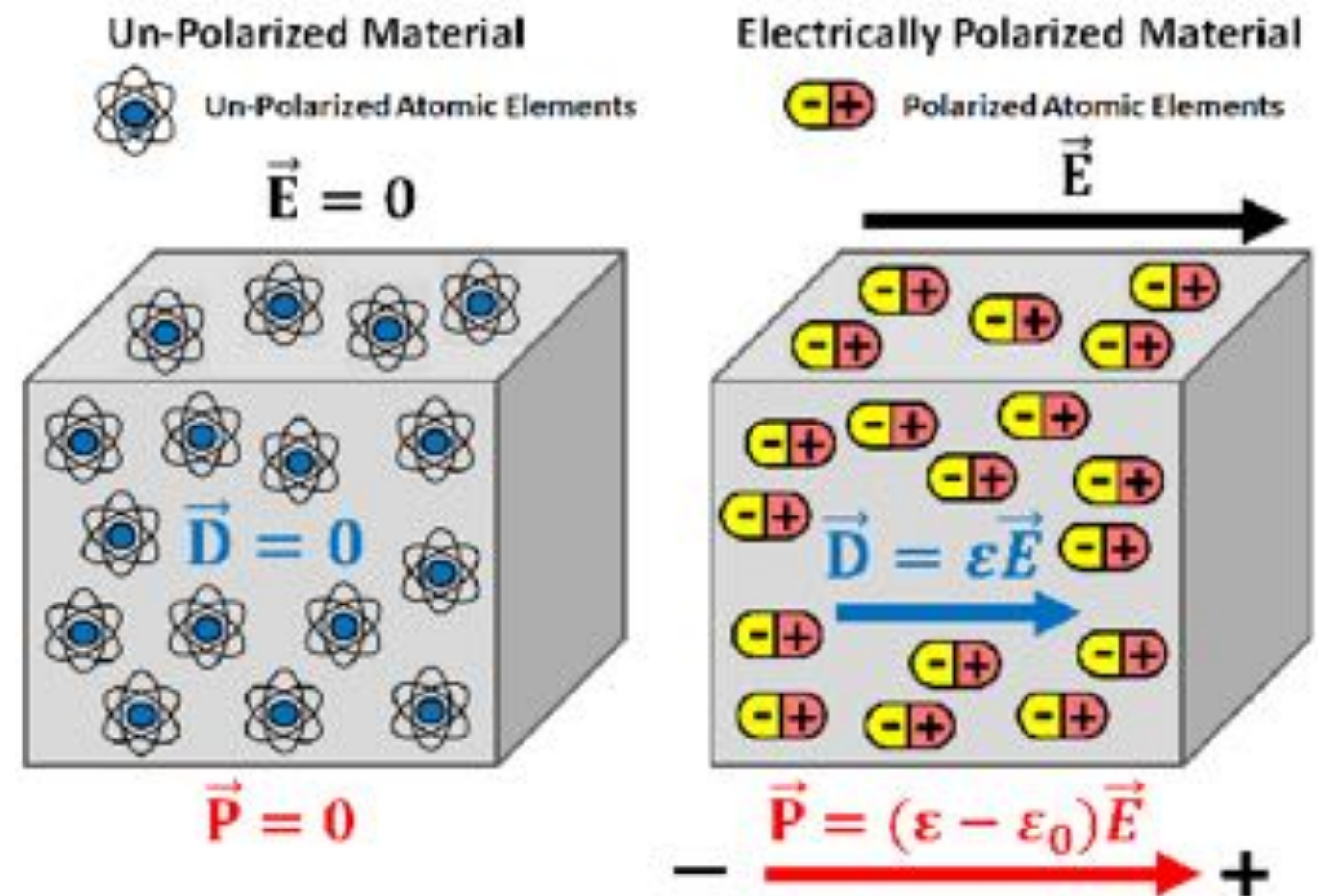
$$\mathbf{P} = (\epsilon - \epsilon_0)\mathbf{E}$$

- La polarisation s'ajoute au déplacement électrique

$$\mathbf{D} = \epsilon_0\mathbf{E} + \mathbf{P}$$

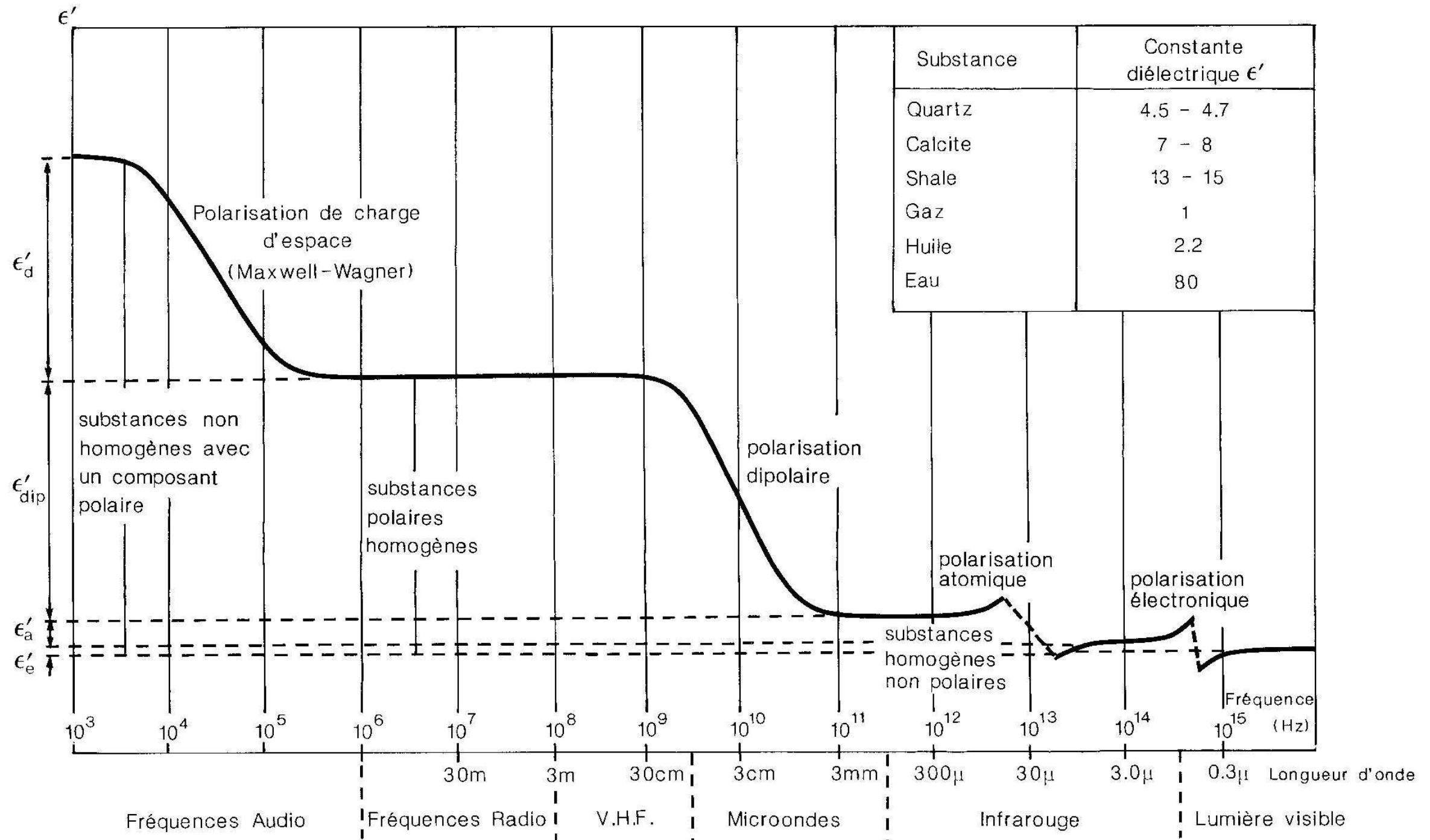
- La constante entre déplacement électrique et champ électrique est:

$$\mathbf{D} = \epsilon\mathbf{E}$$



# Permittivité diélectrique

La permittivité électrique dépend grandement de la fréquence



# Permittivité diélectrique

---

La permittivité électrique affecte la propagation des ondes EM. À haute fréquence, leur vitesse est:

$$v = \frac{c}{\sqrt{\epsilon_r}}$$

où  $\epsilon_r = \epsilon/\epsilon_0$  est la permittivité relative.

La permittivité relative est reliée empiriquement à la saturation des sols et la porosité par la loi de CRIM:

$$\sqrt{\epsilon_r} = \phi \sqrt{\epsilon_r^w} + (1 - \phi) \sqrt{\epsilon_r^m} + \phi(1 - S) \sqrt{\epsilon_r^a}$$

$S$ : Saturation

$\phi$ : Porosité

$\epsilon_r^w$ : Permittivité relative de l'eau

$\epsilon_r^m$ : Permittivité relative de la matrice

$\epsilon_r^a$ : Permittivité relative de l'air



# Permittivité diélectrique

## Minéraux

Material	$\epsilon_r$
Albite	7,0
Calcite	6,4
Gypse	6,5
Halite	5,9
Kaolinite	11,8
Mica	6,4
Olivine	7,2
Orthoclase Feldspar	5,6
Plagioclase Feldspar	7
Pyroxene	8,5
Quartz	4,5

Quelques exemples de matériaux et de permittivité.

## Roches

Material	$\epsilon_r$
Shales	5 - 15
Grès (sec)	2 - 3
Grès (saturé)	5 - 10
Calcaires	4 - 8
Granite	4 - 6
Charbon (sec)	3,5
Charbon (humide)	8

## Sédiments

Rock/Soil Type	$\epsilon_r$
Silt	5 - 30
Sable (sec)	3 - 6
Sable (saturé)	10 - 30
Argile (sec)	2 - 6
Argile (humide)	15 - 40

## Eau

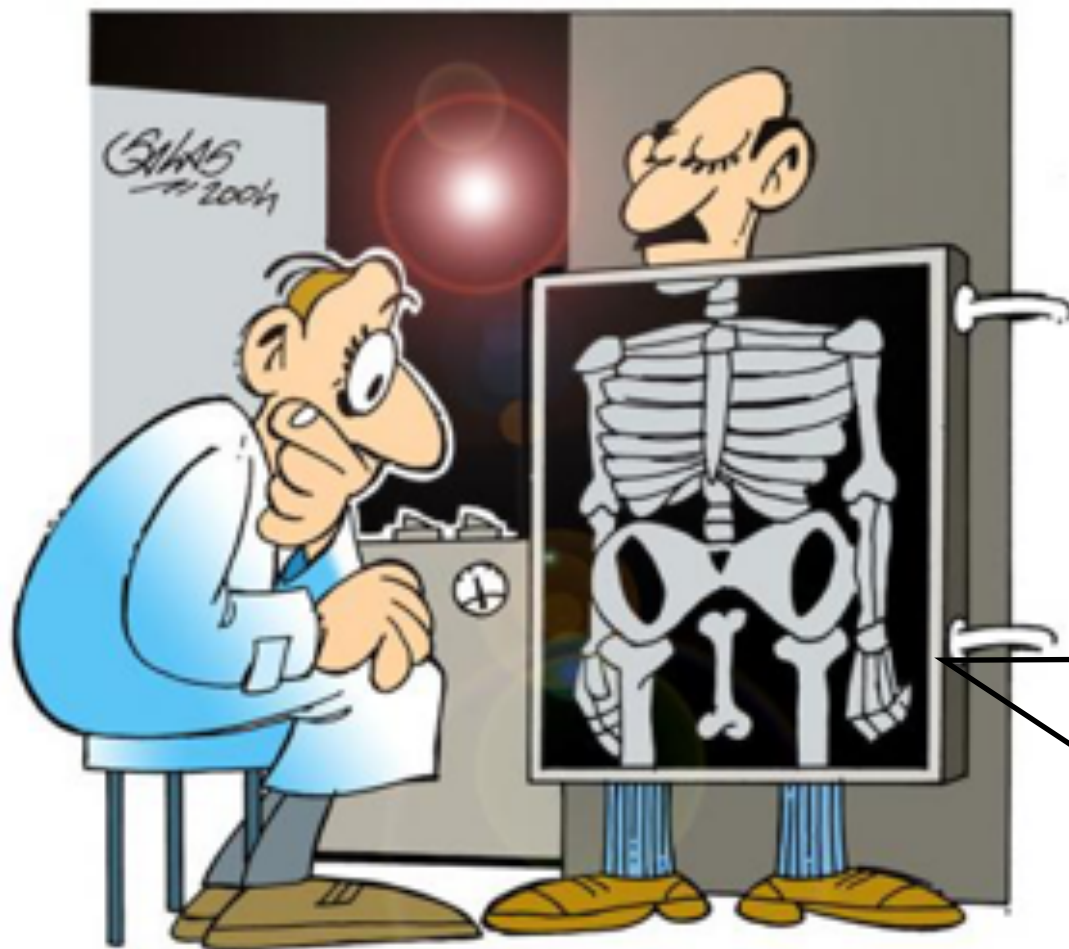
Material	$\epsilon_r$
Glace (eau douce)	3 - 4
Glace (eau salée)	4 - 8
Neige	8 - 12
Pergélisol	4 - 8

## 3.0 Méthodologie géophysique

# Qu'est-ce que la géophysique appliquée

Nous voudrions imager les propriétés géologiques de la sous-surface tout comme le docteur procède à une radiographie pour imager l'intérieur de son patient!

Certains principes physiques nous permettent de telles mesures non-locales.



Champ magnétique

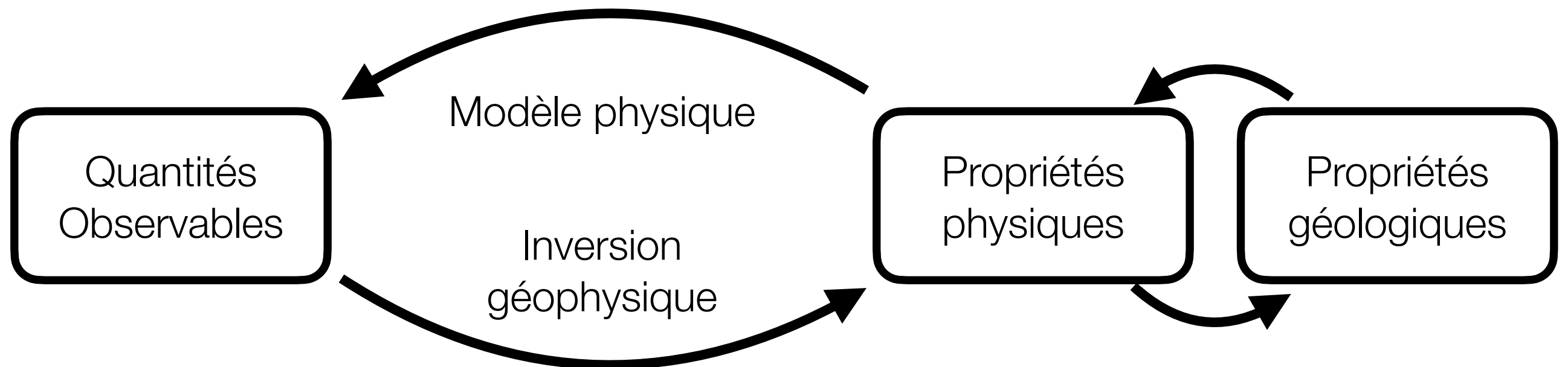
Potentiel électrique

Ondes mécaniques

Champ gravitationnel

Ondes électromagnétiques

# Propriétés physiques et modèles physiques



En géophysique, nous voulons faire la **mesure de quantités observables** afin d'**inférer les propriétés physiques** de la sous-surface pour en faire un **interprétation géologique**.

Questions importantes:

- Quelles quantités observables peuvent être reliées à quelles propriétés physiques ?
- Quel est l'impact des incertitudes des mesures sur l'estimation des propriétés physiques ?
- Est-ce que les mesures requises sont réalisables ?



# Méthodes géophysiques classiques

Famille	Loi physique	Observable	Propriété
Gravimétrie	Loi de la gravité	Accélération gravitationnelle	Densité
Sismique	Mécanique des milieux continus	Vibrations	Modules élastiques
Magnétisme	Équations de Maxwell	Champ magnétique	Susceptibilité magnétique
Électrique			Résistivité électrique
Électromagnétique		Champ électrique	Résistivité électrique
Géoradar		Potentiel électrique	Permittivité diélectrique
Résonance nucléaire		Contenu en eau	

# Méthodes géophysiques classiques

Famille		
Gravimétrie	L	rvabl
Sismique	Lo	ératio ionne
Magnétisme	M mi	tions
Électrique	Équations de Maxwell	ues
Électromagnétique		électrique Résistivité électrique
Géoradar		Permittivité diélectrique
Résonance nucléaire		Contenu en eau



# La géophysique en 7 étapes

---

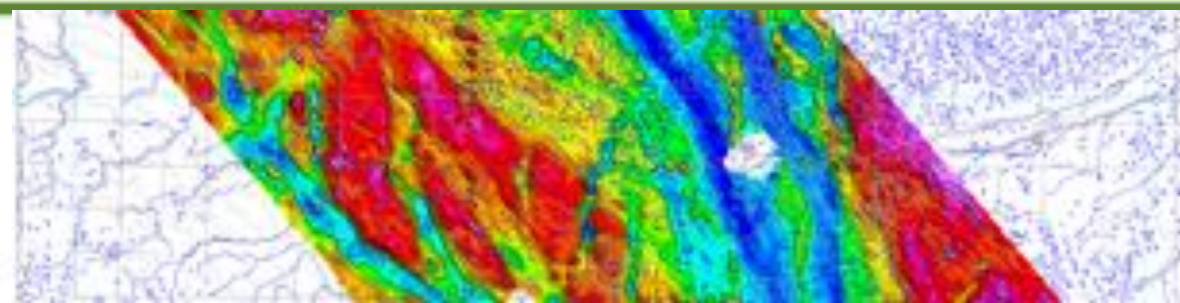
1. Formulation du problème
2. Choisir les propriétés géophysiques à mesurer
3. Sélectionner une méthode géophysique
4. Acquérir les données
5. Traiter les données
6. Interpréter les résultats
7. Synthèse

# La géophysique en 7 étapes

Pour montrer les 7 étapes, voici une étude de cas tirée de:



## Buried valley imaging using AEM surveys, electrical resistivity and 3-C seismic reflection



**Greg A. Oldenborger, Andre J.-M. Pugin & Susan E. Pullan**  
*Geological Survey of Canada*

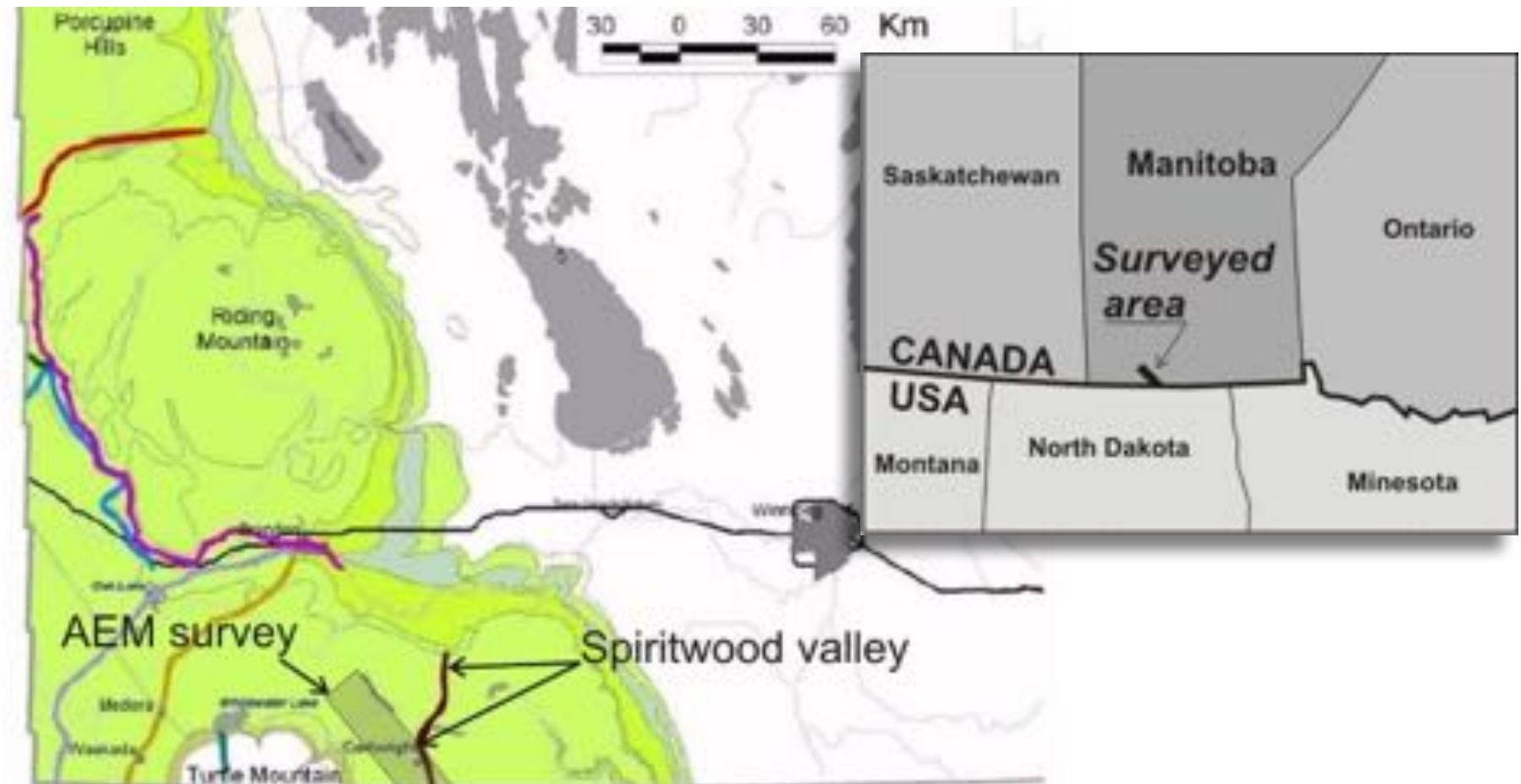


# Étape 1: Problématique

L'approvisionnement en eau souterraine est un enjeu majeur dans les prairies canadiennes.

Des vallées enfouies sont d'excellents aquifères, mais sont difficile à localiser.

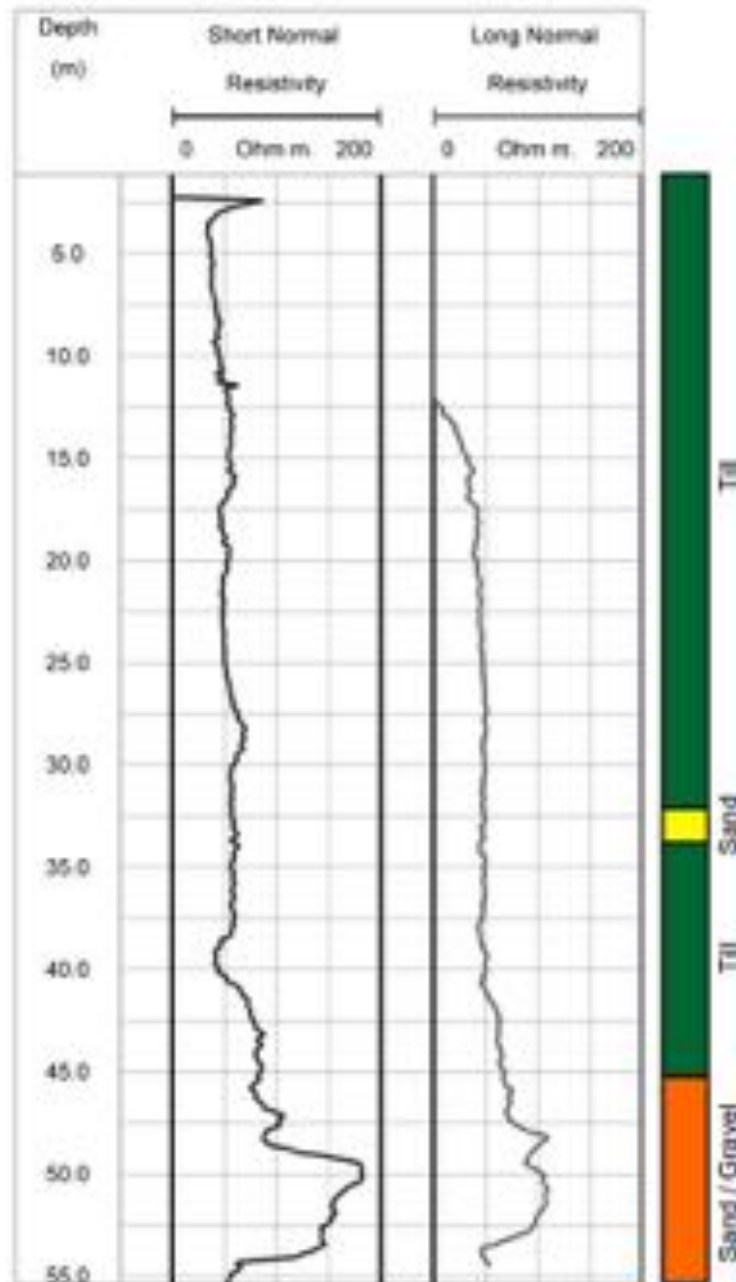
L'**objectif des levés** de géophysique est de localiser et de caractériser le réseau de vallées enfouies dans la région



Estimated distribution of buried valleys of southwestern MB. Green represents shales of the Manitoba Upland (Betcher et al., 2005)

# Étape 2: Choix des propriétés géophysiques

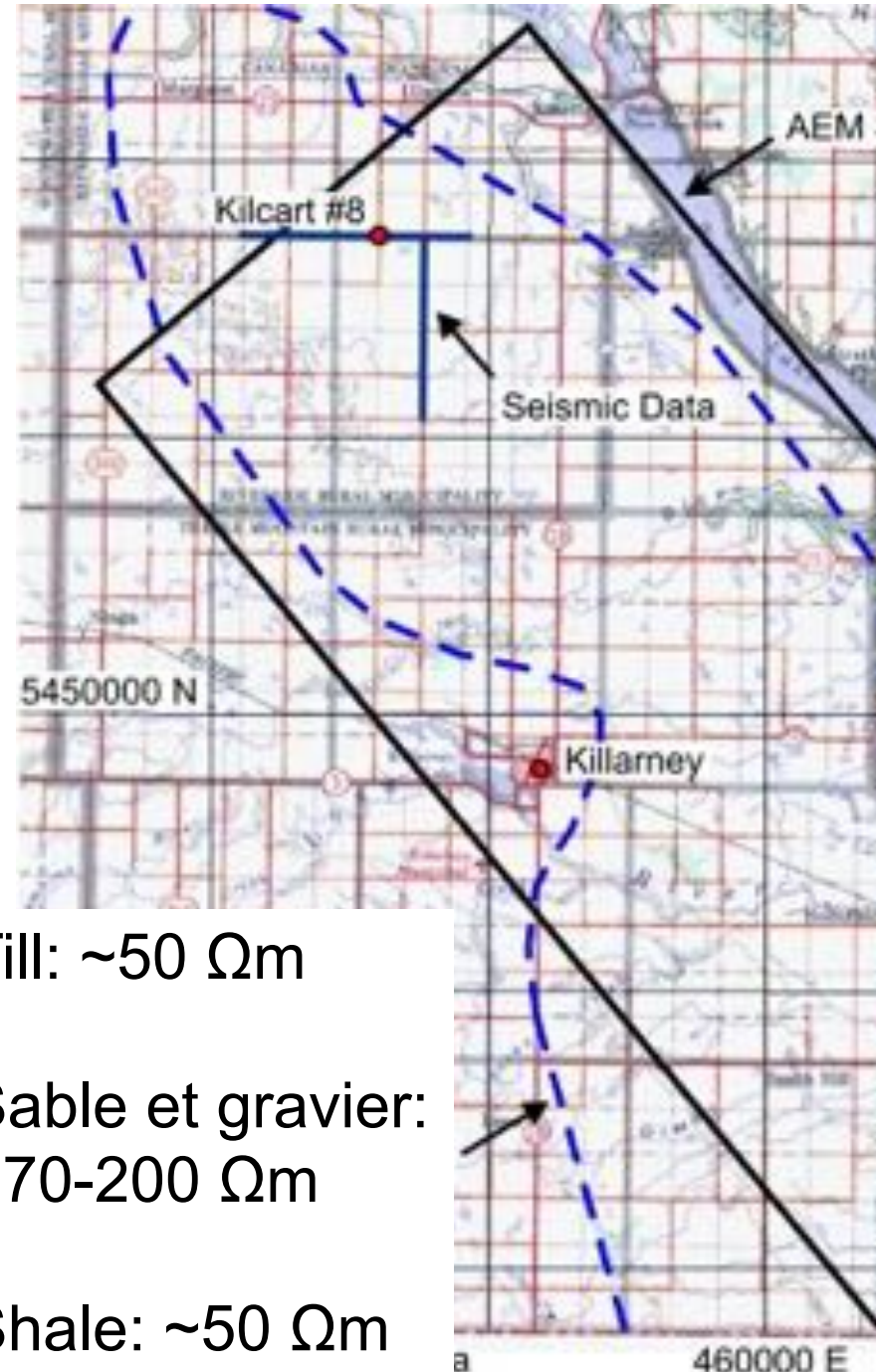
## Kilcart #8 Borehole



Till:  $\sim 50 \Omega\text{m}$

Sable et gravier:  
 $\sim 70\text{-}200 \Omega\text{m}$

Shale:  $\sim 50 \Omega\text{m}$



Les dépôts grossiers présents dans les eskers enfouis ont une **résistivité électrique** beaucoup plus élevée que les unités encaissantes.

La stratification des dépôts glacières ainsi que le contact entre dépôts meubles et roc présentent des variations d'**impédance acoustique** notables.



# Étape 3: Choix des méthodes géophysiques

Trois méthodes ont été sélectionnées

## 1. TDEM aéroporté

- Mesure la résistivité électrique du sol
- Permet de couvrir un très grande superficie
- Faible résolution en profondeur

## 2. Résistivité DC

- Mesure de la résistivité électrique
- Meilleure résolution
- Acquisition plus lente et couteuse

## 3. Sismique réflexion

- Mesure les changements d'impédance
- Grande précision des contacts géologiques
- Identification de la nature des dépôts difficile
- Acquisition plus lente et couteuse



# Étape 4: Acquisition des données

## Acquisition des données

- Contrôle de qualité
- Santé sécurité
- Efficacité sur le terrain
- Connaissance des équipements

Ceci requiert de l'expérience. Faire appel à des compagnies de service est souvent nécessaire.

## Acquisition à l'interne des données sismiques



## Acquisition par Aerotem (maintenant Geotech)

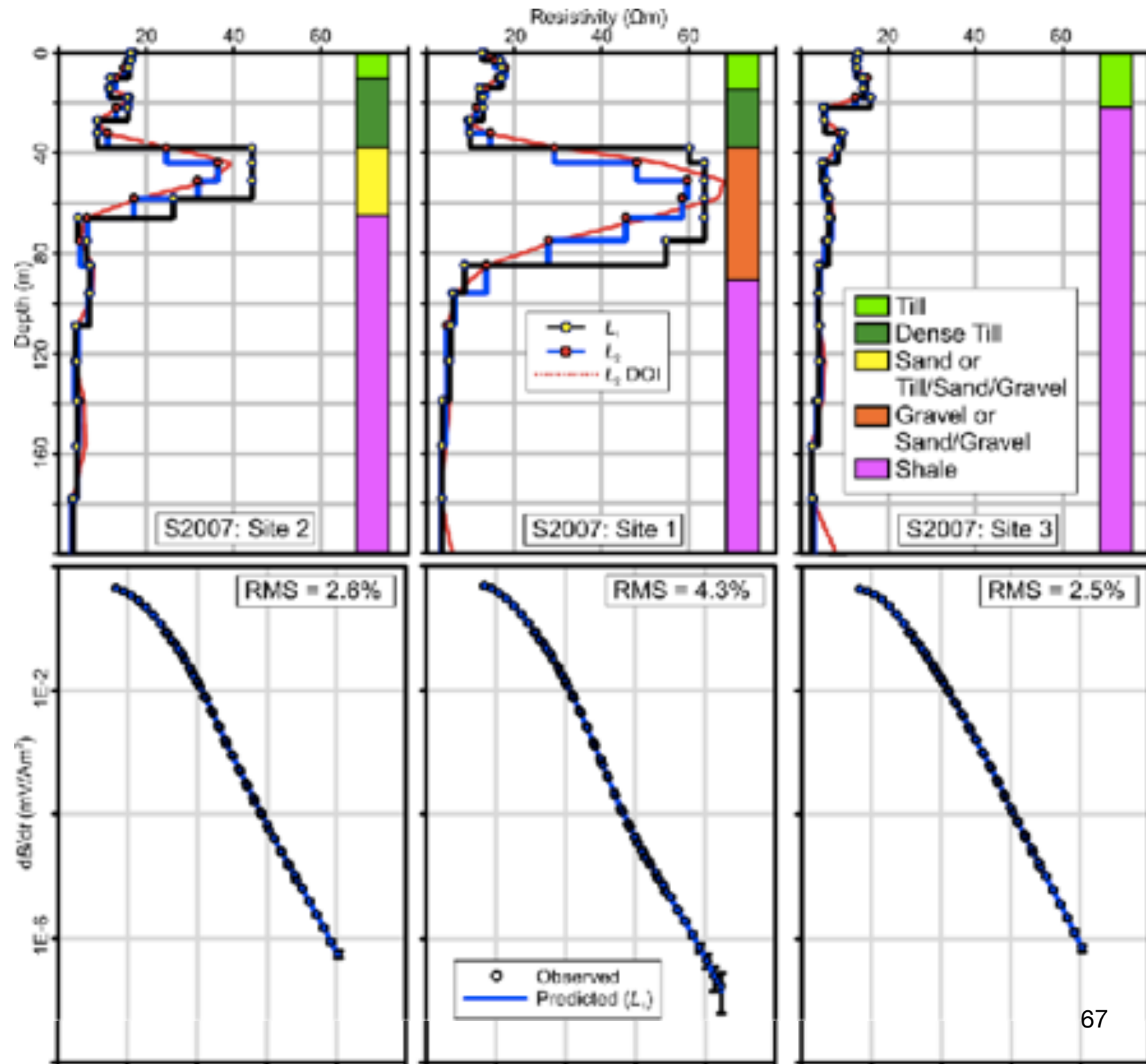




# Étape 5: Traitement des données: TDEM

Le traitement des données est hautement variable selon les méthodes. Ce qui a été fait ici:

1. Contrôle de qualité des données
2. Mesure et modélisation des niveaux de bruit
3. Filtre des données aberrantes
4. Inversion des données par moindre carré

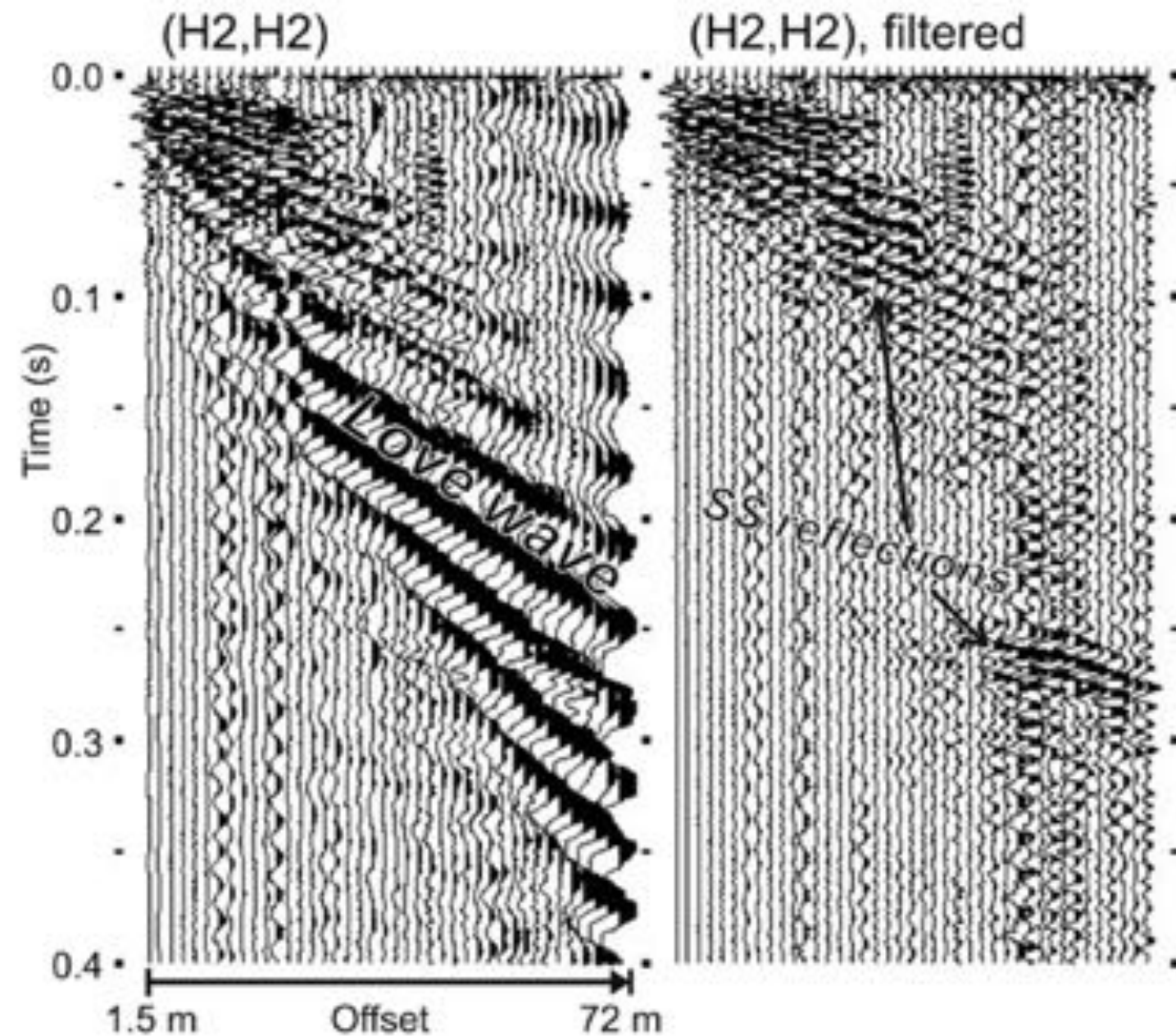


# Étape 5: Traitement des données: Sismique

## Séquence de traitement

PP-wave processing	SS-, PS-wave processing
SEG2 to KGS-SEG-Y conversion	
AGC: 1s	
Correlation	
3-C separation	
Geometry edition	
CMP sorting with binning at half of the shot spacing	
*First break picking for statics corrections	Band pass filter
Band pass filter	Trace normalization
Trace normalization	Noise surgical mutes
Noise surgical mutes	Velocity semblance analysis
Velocity analysis	NMO correction
*Refraction statics application	Stack
NMO correction	Band pass filter
Stack	*Migration
*Deconvolution	Topography statics on a datum plane
Band pass filter	Time-depth conversion
*Migration	
Topography statics on a datum plane	
Time-depth conversion	
*when required	

## Filtre des données brutes

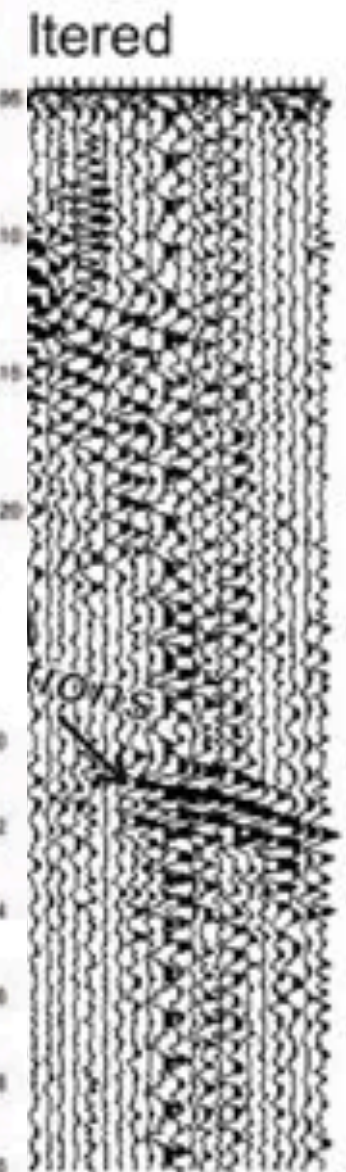
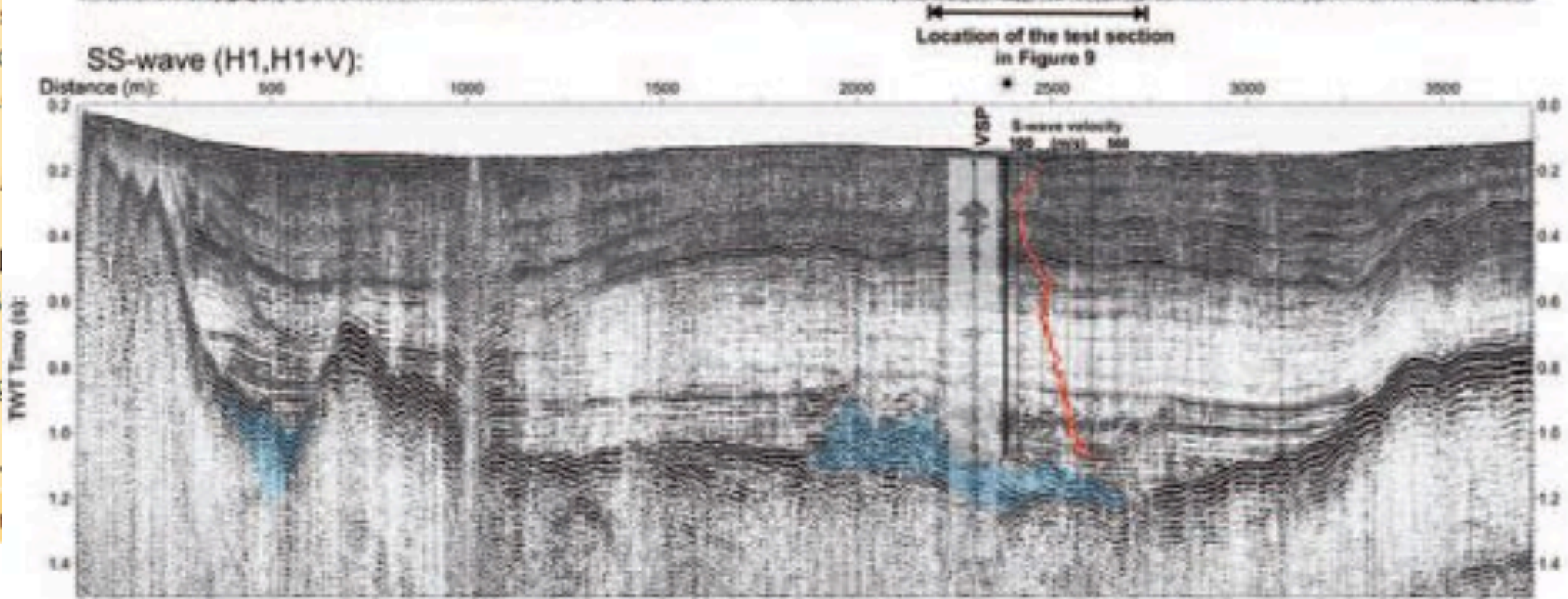
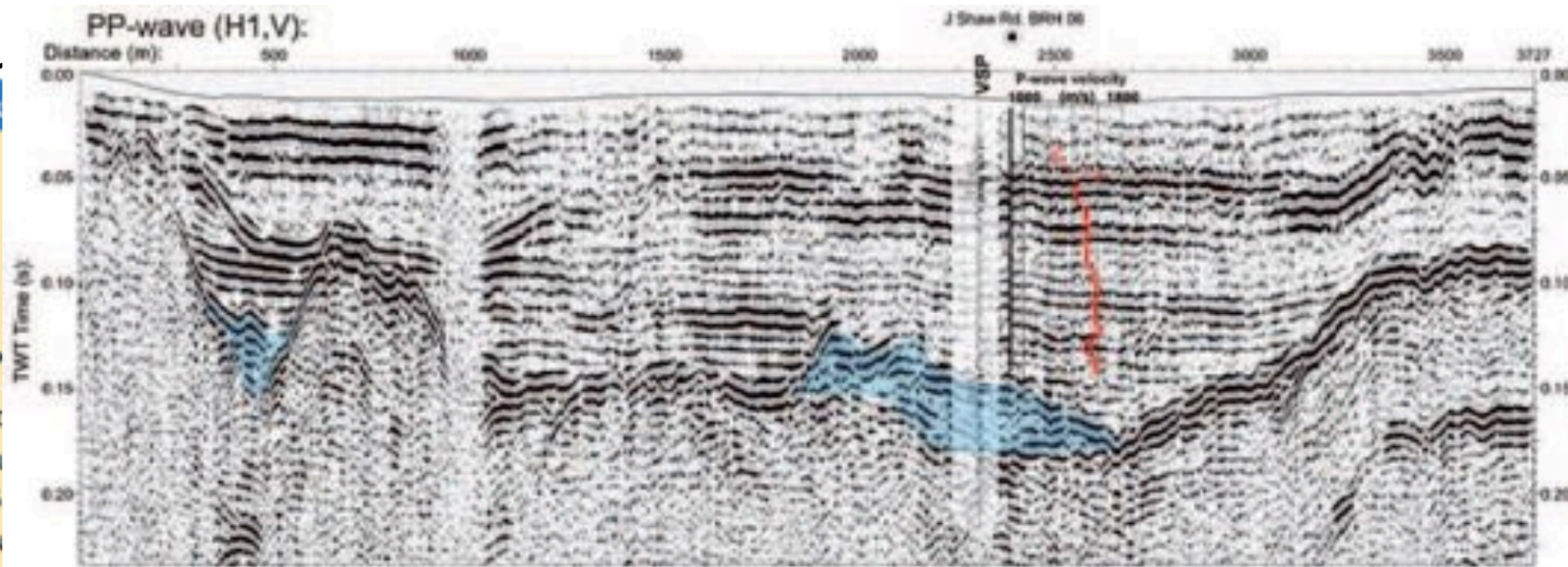




# Étape 5: Traitement des données: Sismique

Séquence

- PP-wave
- CMP
- \*First
- sta
- B
- Trac
- Noi
- V
- \*R
- N
- \*J
- B
- Topog
- Time
- \*when

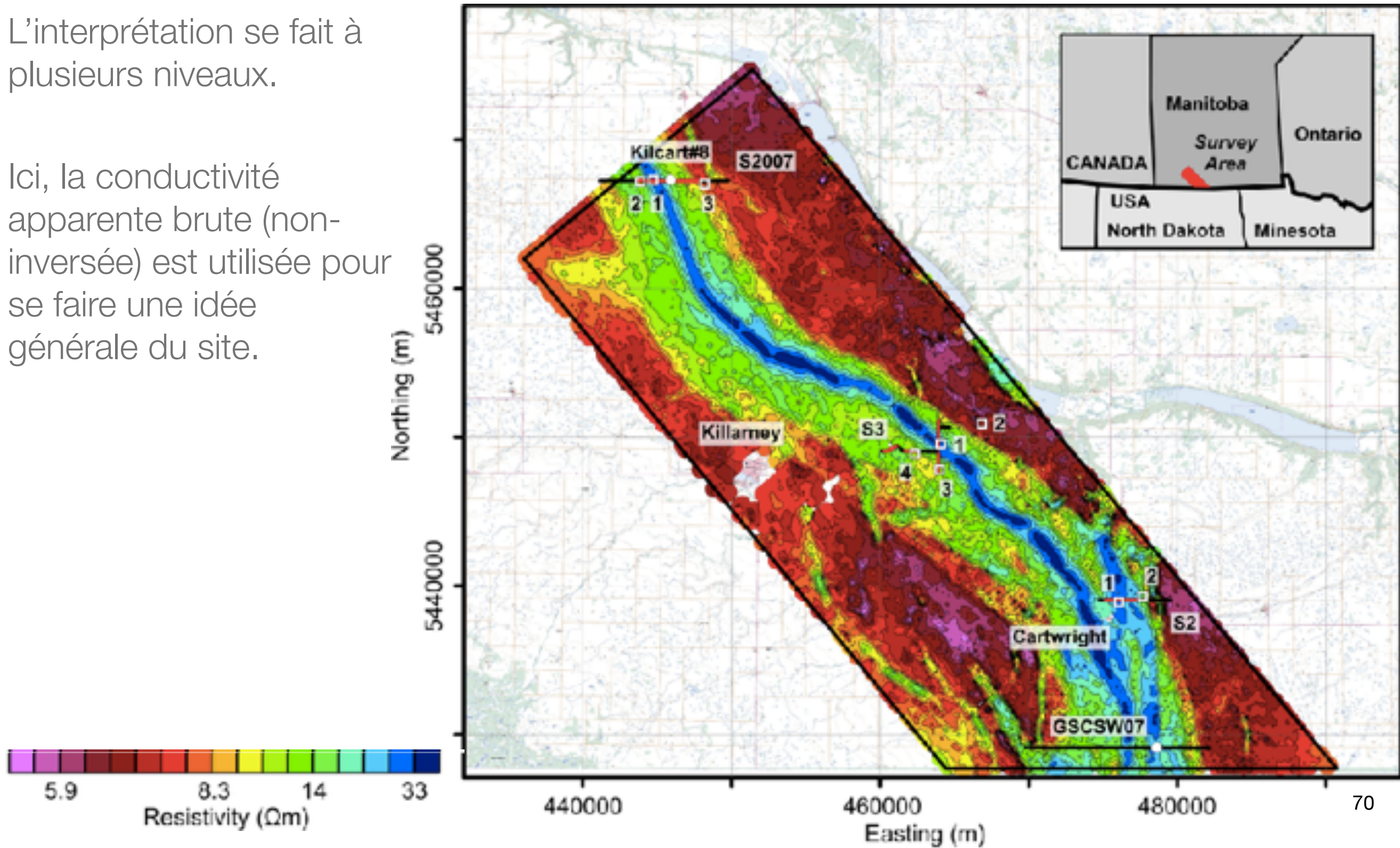




# Étape 6: Interprétation

L'interprétation se fait à plusieurs niveaux.

Ici, la conductivité apparente brute (non-inversée) est utilisée pour se faire une idée générale du site.

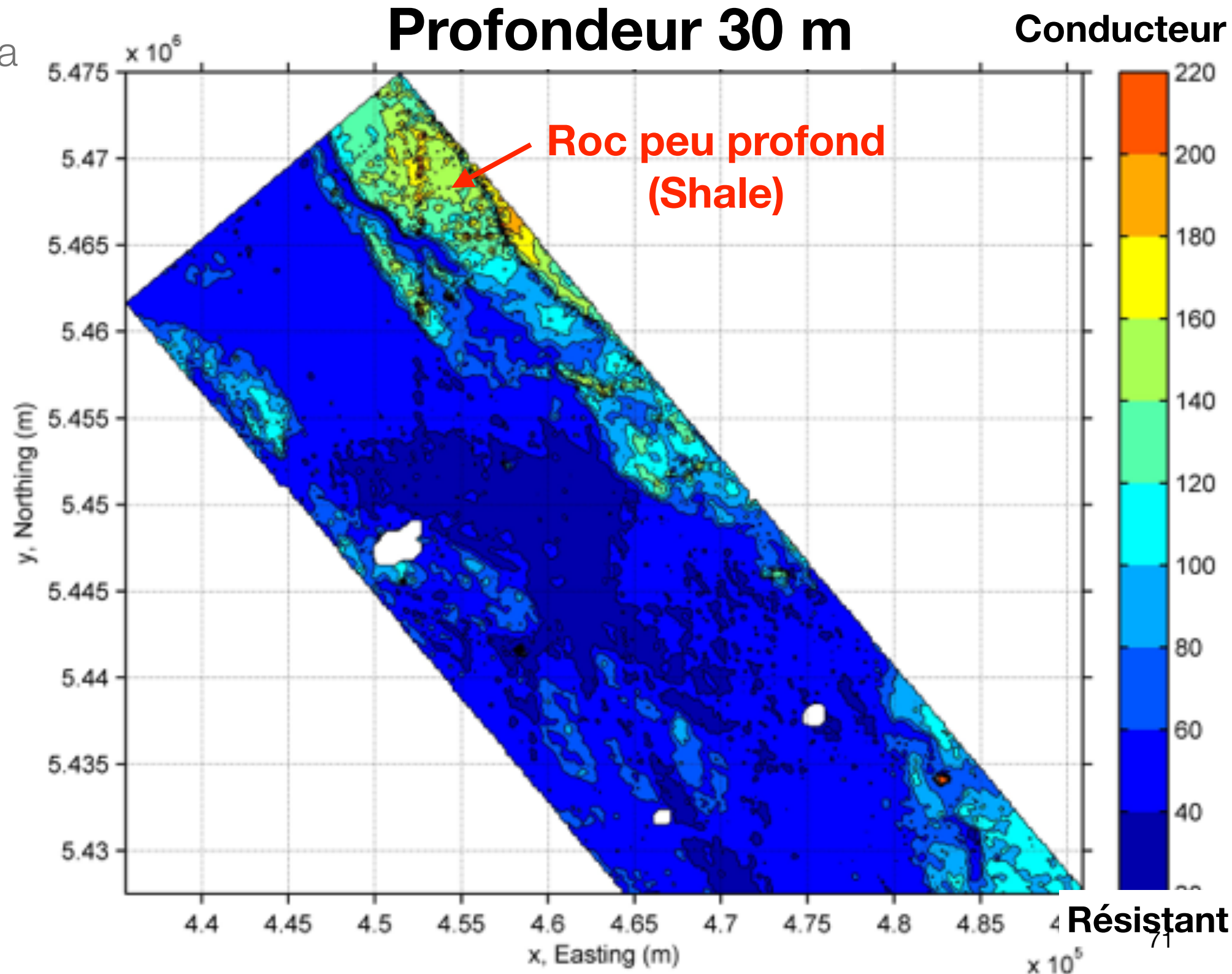




# Étape 6: Interprétation

Une pseudo-inversion a été effectuée afin de retrouver les variations en profondeur.

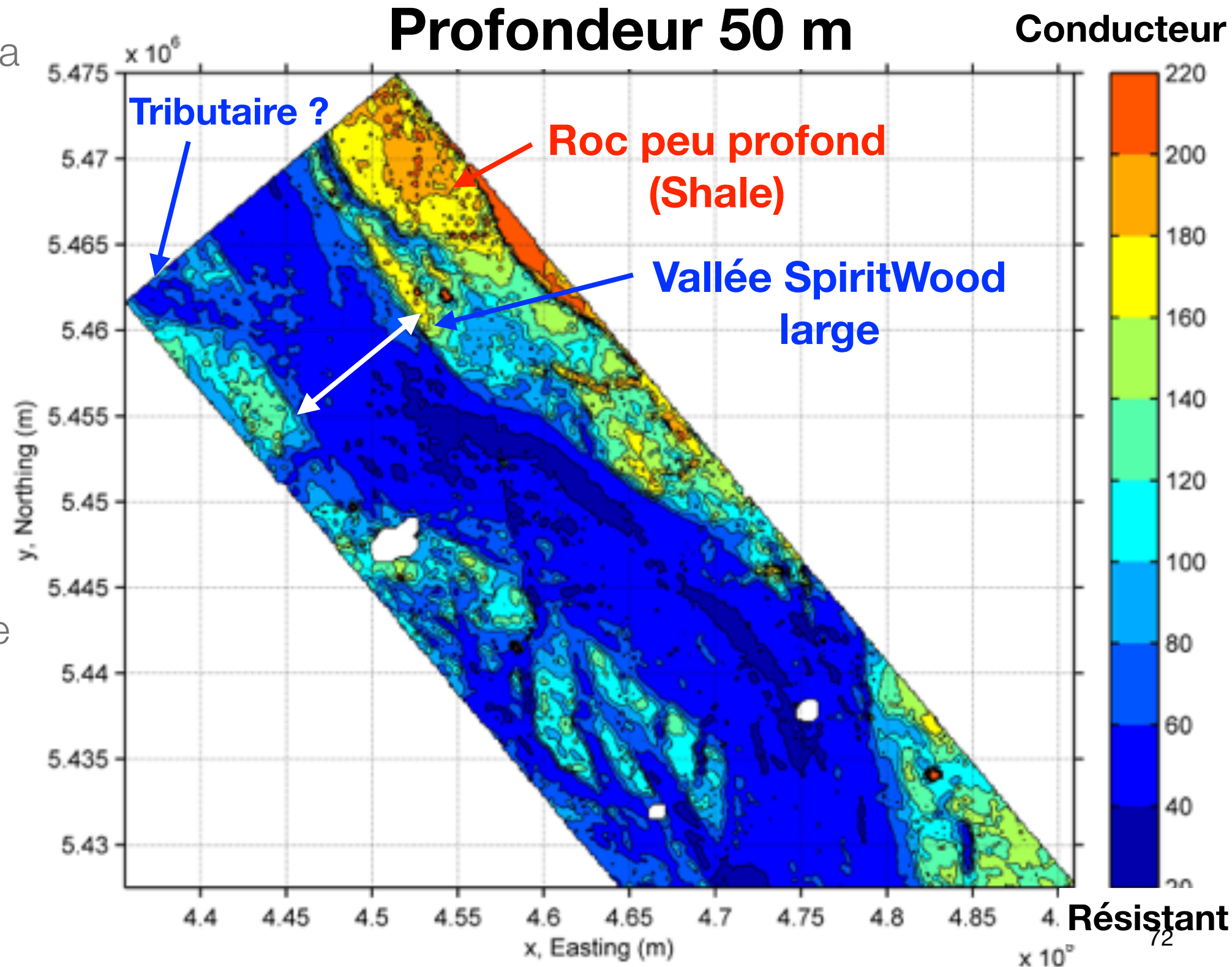
- À faible profondeur, la vallée n'est pas visible



# Étape 6: Interprétation

Une pseudo-inversion a été effectuée afin de retrouver les variations en profondeur.

- À faible profondeur, la vallée n'est pas visible
- Une large vallée apparaît à profondeur moyenne
- 

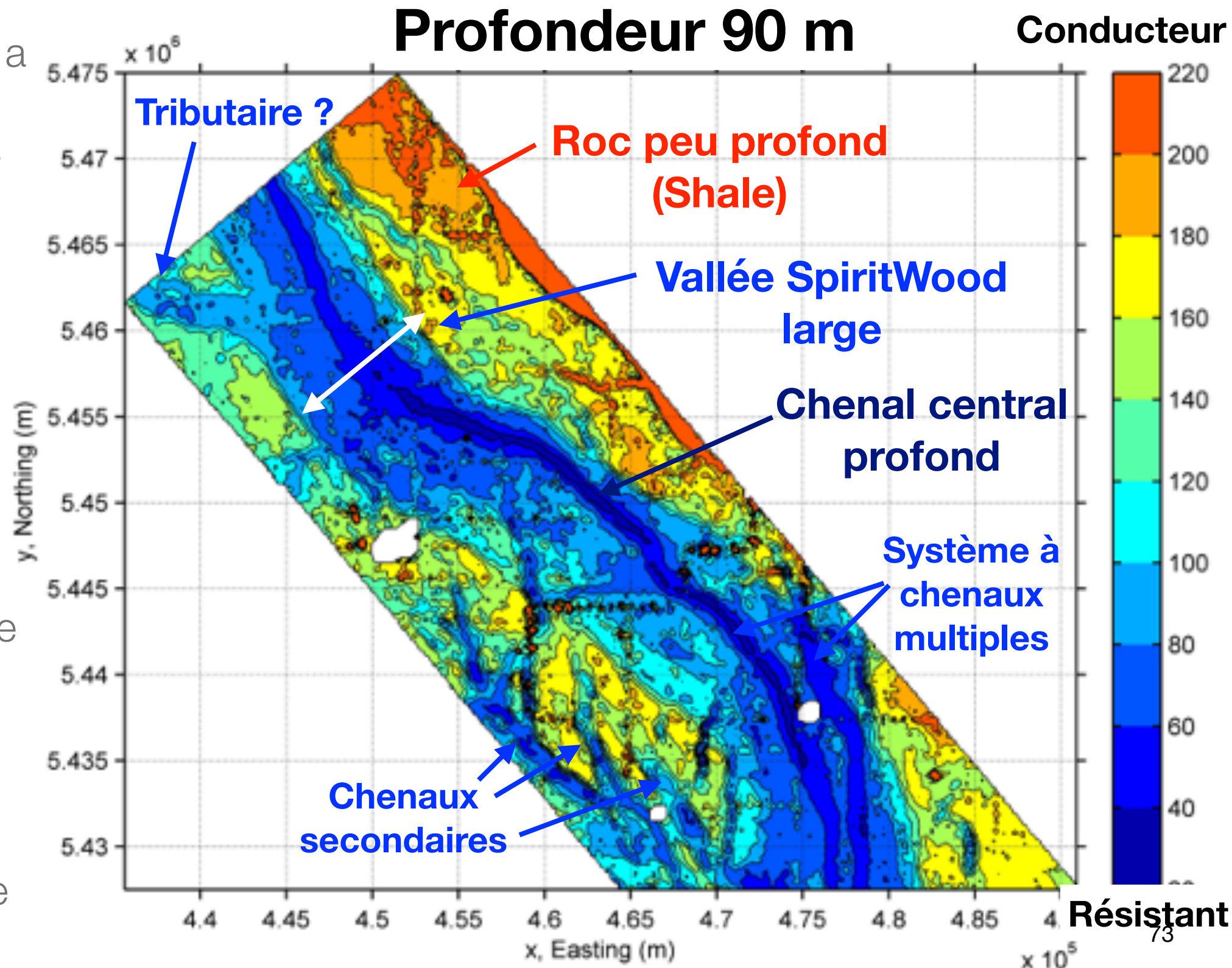




# Étape 6: Interprétation

Une pseudo-inversion a été effectuée afin de retrouver les variations en profondeur.

- À faible profondeur, la vallée n'est pas visible
- Une large vallée apparaît à profondeur moyenne
- Un système complexe de fins chenaux est obtenu à une profondeur de 90 m



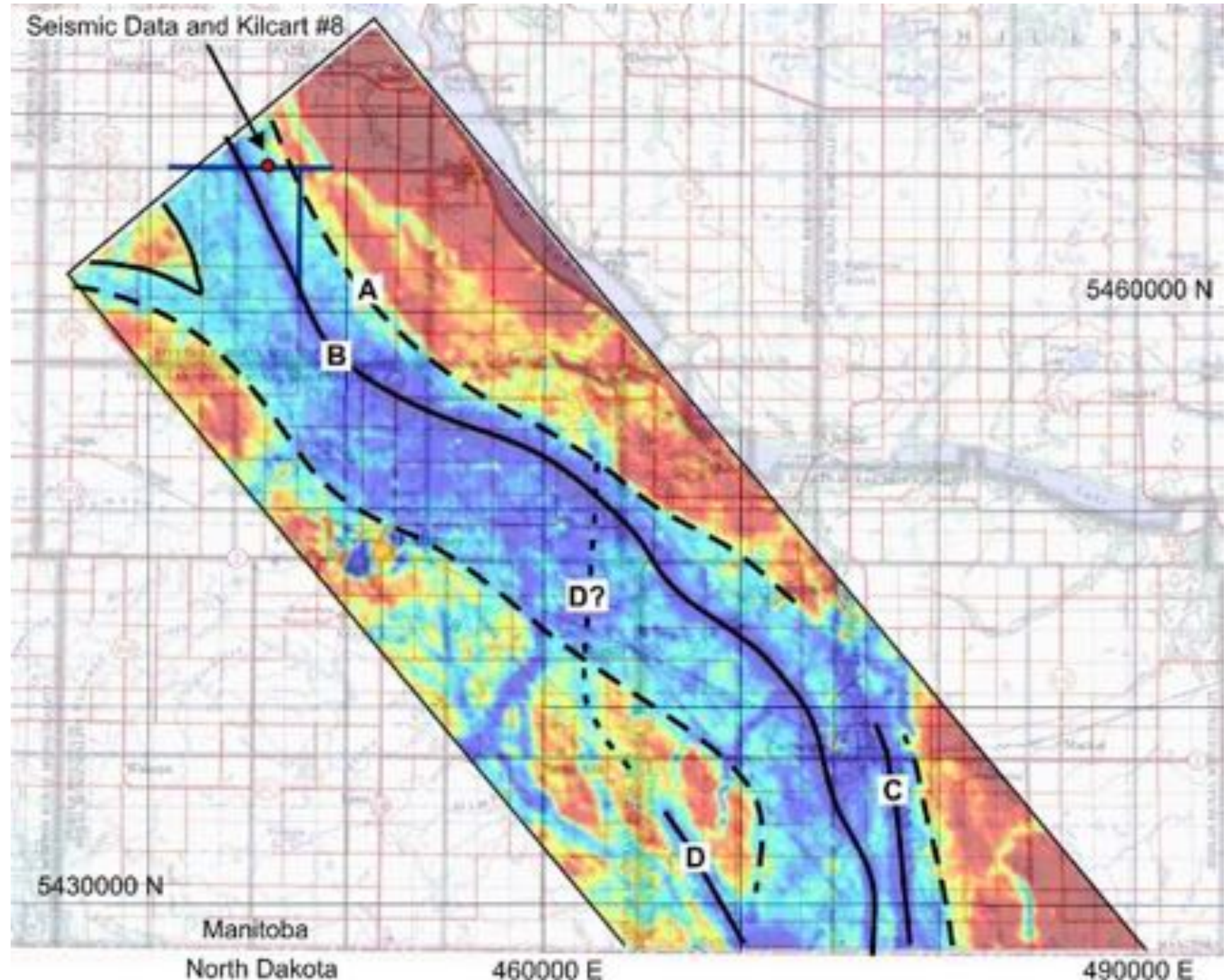


# Étape 6: Interprétation

Une première interprétation sommaire des chenaux profonds est faite

La résolution des levés aéroportés n'est cependant pas assez bonne pour mieux contraindre la structure des chenaux.

Des levés de sismique réflexion et de résistivité électrique sont alors acquis et traités aux emplacements judicieux.





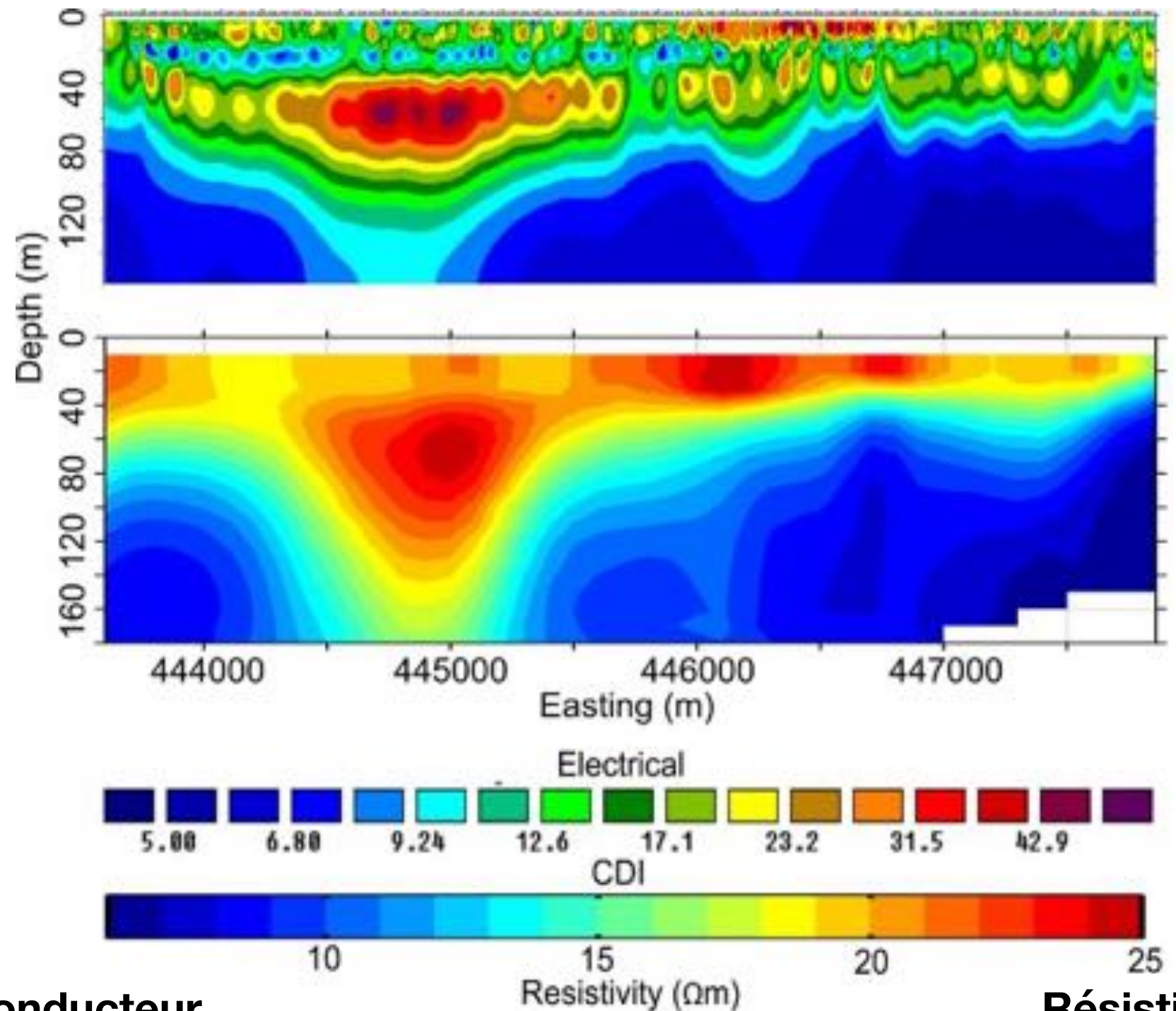
# Étape 6: Interprétation

## Levé Électrique

- Résolution supérieure
- Indique un corps résistif à une profondeur 40-80 m

## Levé TDEM

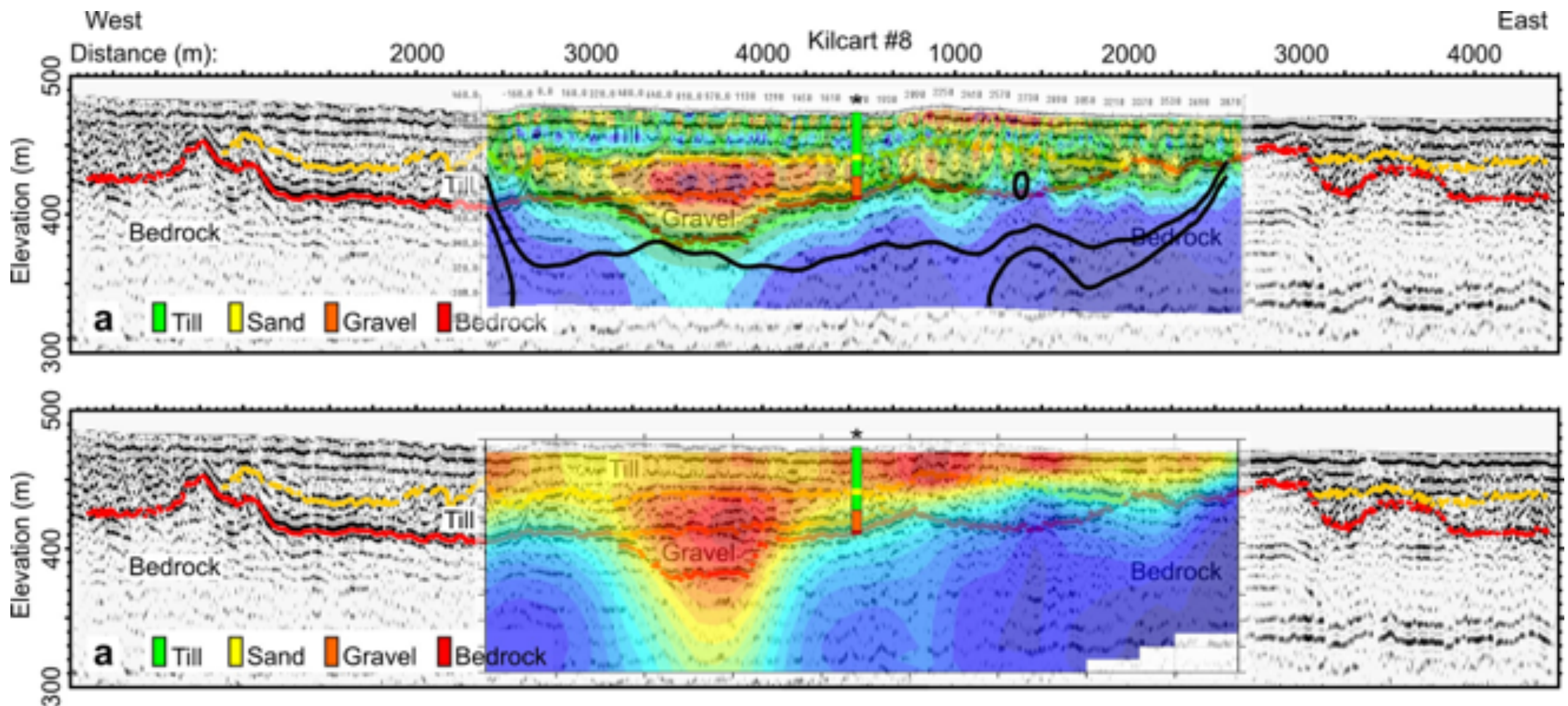
- Corps résistif semble être plus profond
- La plage dynamique des résistivités est moindre



**!! Couleurs inversées !!**

# Étape 6: Interprétation

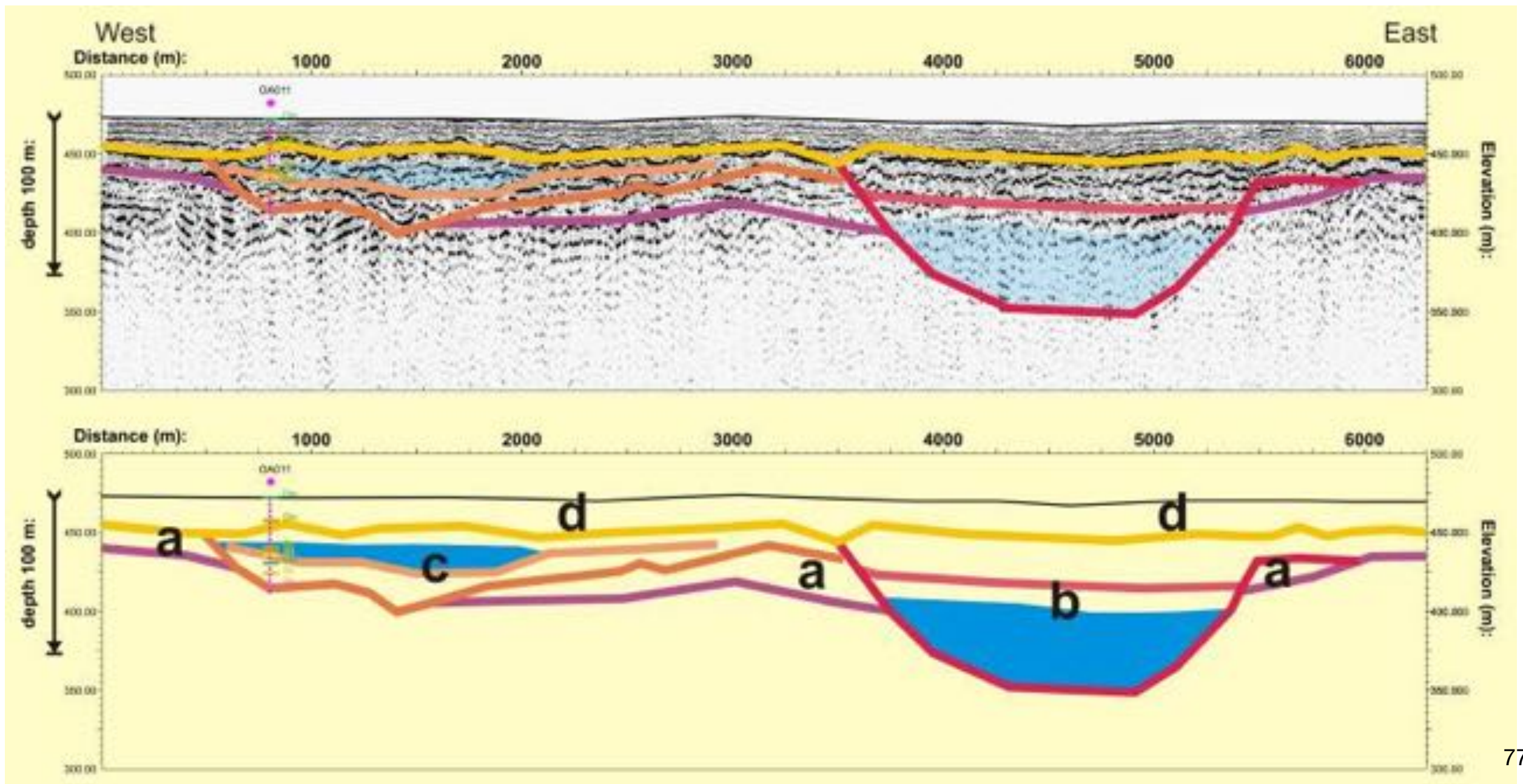
Les données sismiques, contraintes par les données aux puits, permettent finalement de mieux estimer la profondeur de la vallée enfouie.





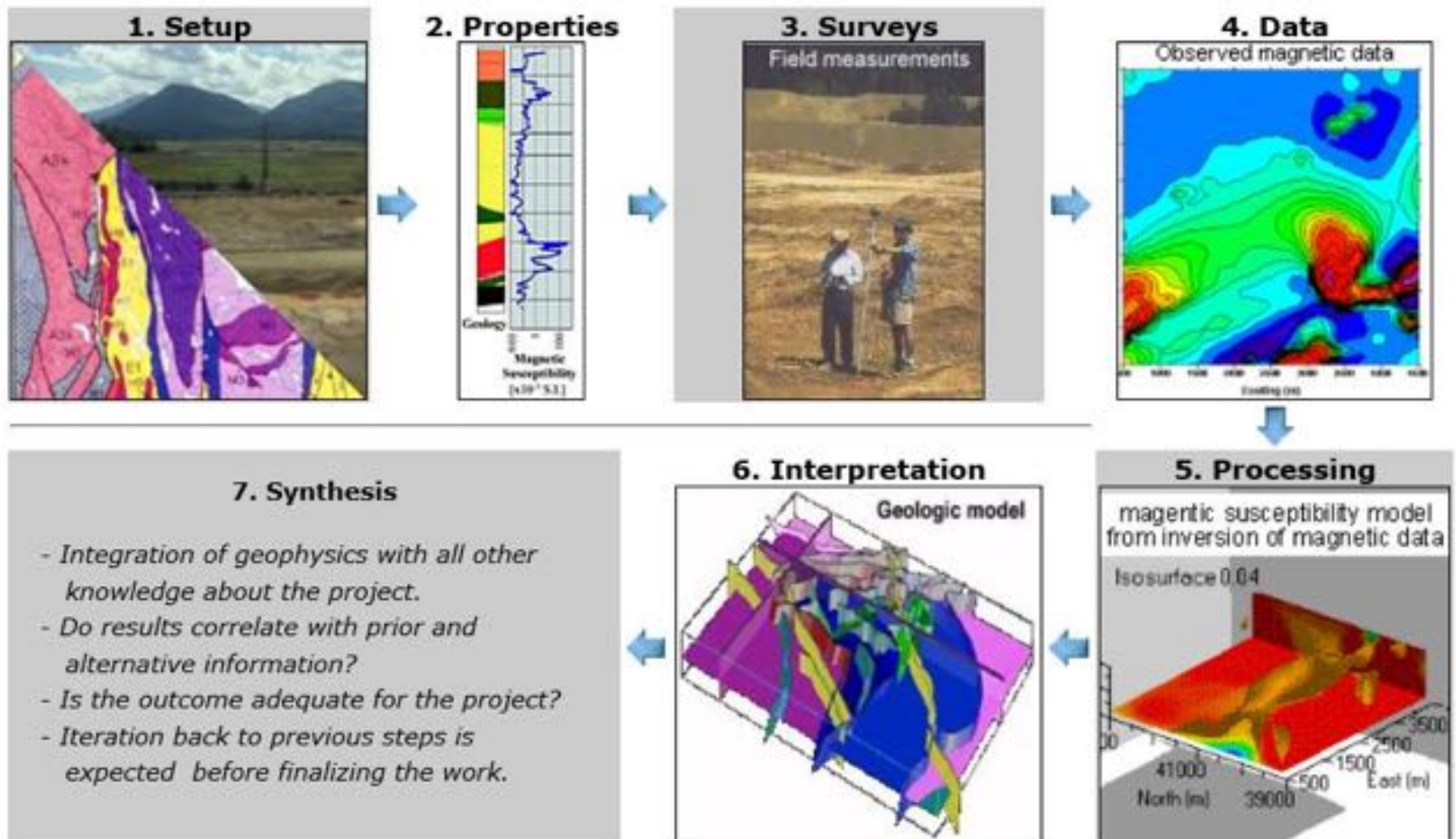
# Étape 7: Synthèse

La dernière étape consiste à faire un compte-rendu des résultats afin de répondre à la question posée au départ. Ici, ceci prend la forme des coupes et de cartes délimitant les vallées enfouies et leur profondeur.





# La géophysique en 7 étapes



[https://gpg.geosci.xyz/content/foundations/foundations\\_sevensteps.html](https://gpg.geosci.xyz/content/foundations/foundations_sevensteps.html)

# En résumé

---

- Avant tout projet, il faut formuler des objectifs géologiques clairs
- Ensuite, il faut identifier si des propriétés géophysiques peuvent nous renseigner sur la question.
- Identifier les méthodes géophysiques susceptibles de mesurer l'effet des propriétés géophysiques à la bonne résolution et la bonne échelle
- Acquérir des données de qualité
- Traiter les données pour en tirer le maximum d'information. Le traitement dépend des objectifs de départ et de la méthode choisie!
- L'interprétation des données doit être faite en gardant en tête l'ambiguïté des méthodes géophysiques et en incorporant toutes les informations géologiques pertinentes.
- Le but final est une synthèse géologique des informations répondant aux objectifs initiaux.